



ISTerre

Institut des Sciences de la Terre

UGA
Université
Grenoble Alpes

cnrs
dans les territoires

La graine, Terra Incognita?

**L'impossible voyage au centre de la Terre ?
Reconstituer et enseigner l'inaccessible intérieur de la Terre.**

Philippe Cardin
Institut des Sciences de la Terre
Grenoble, France

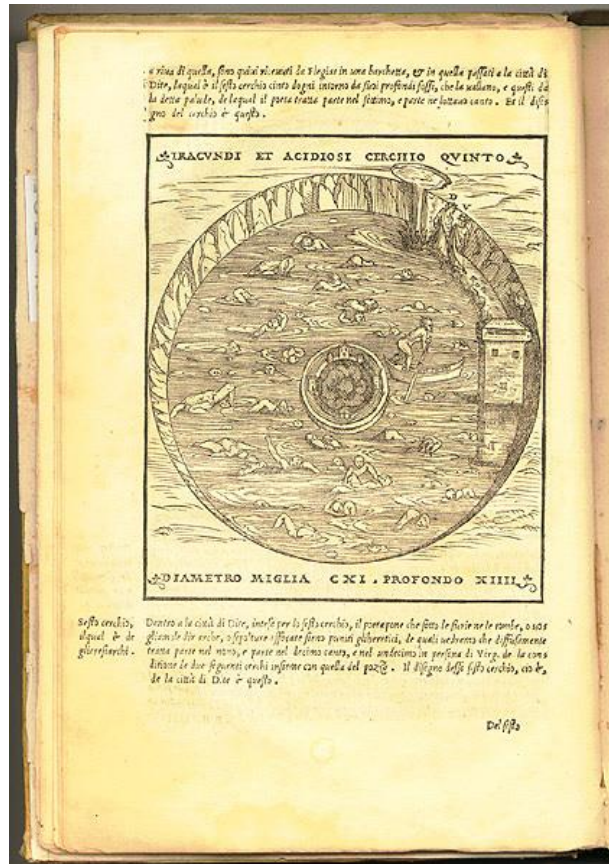
OSUG

Observatoire des
Sciences de l'Univers
de Grenoble

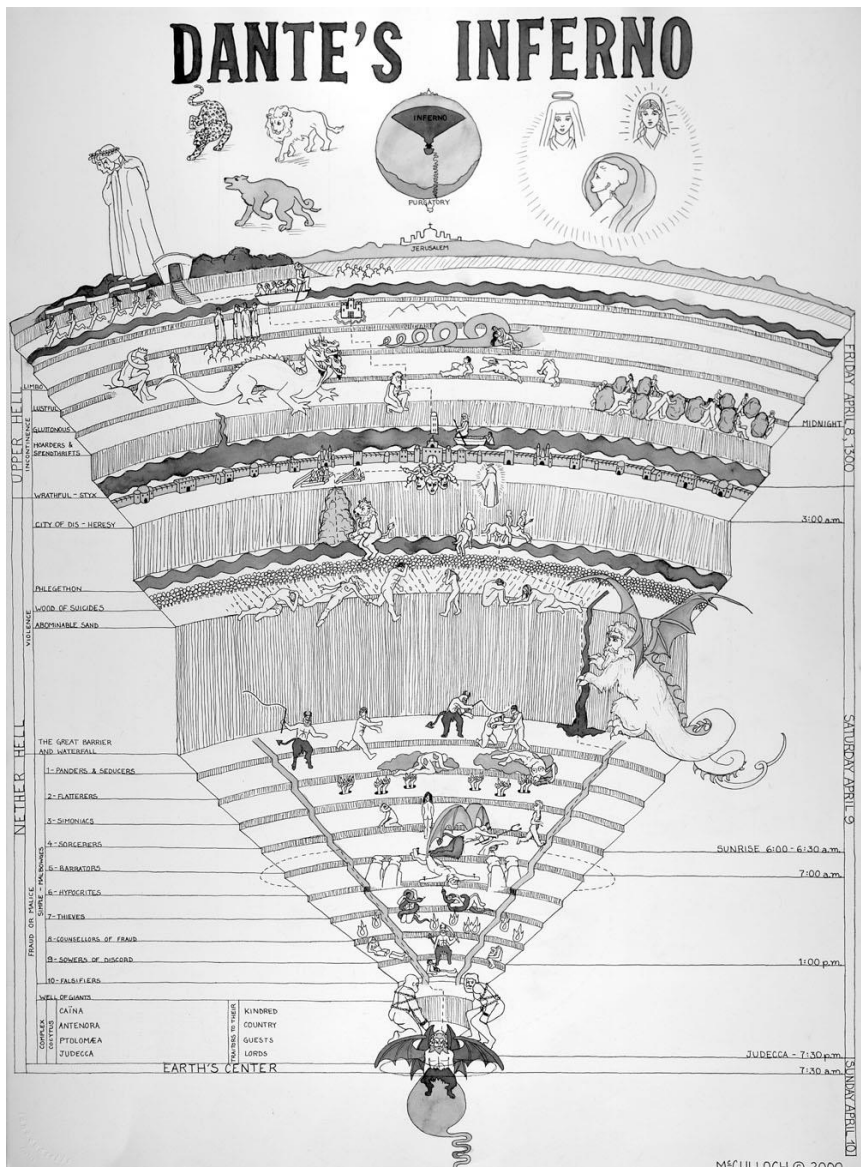
Plan

1. Sismologie de la graine
2. Une graine en Fer ?
3. Formation de la graine
4. Dynamique de la graine
5. L'anisotropie de la graine

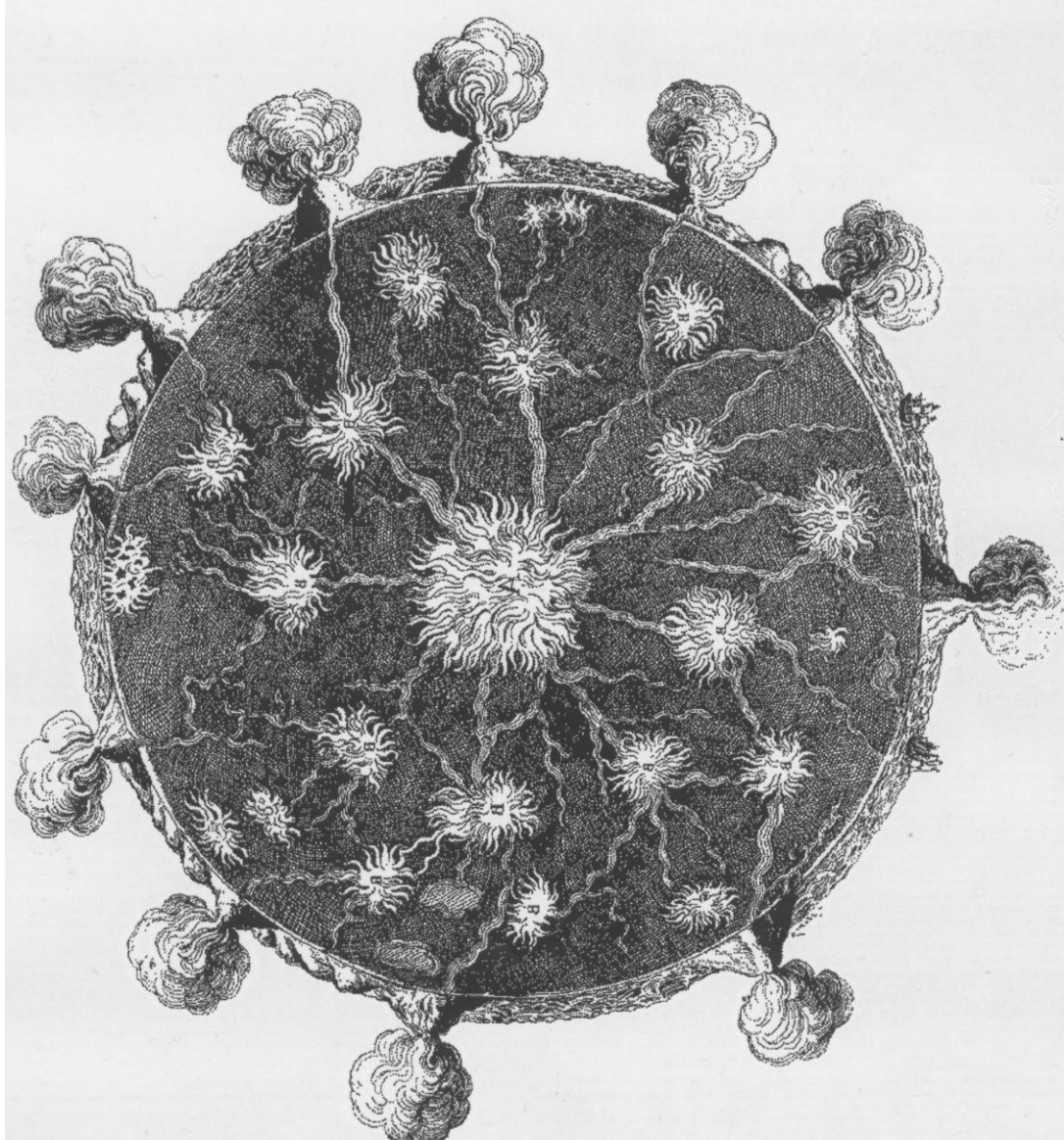
L'intérieur de la Terre (1315)



Vellutello, 1544



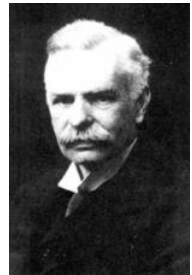
Le feu central



Kircher, 1678

La graine terrestre

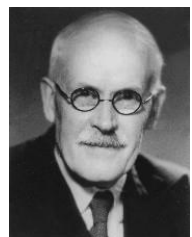
Le noyau de la Terre



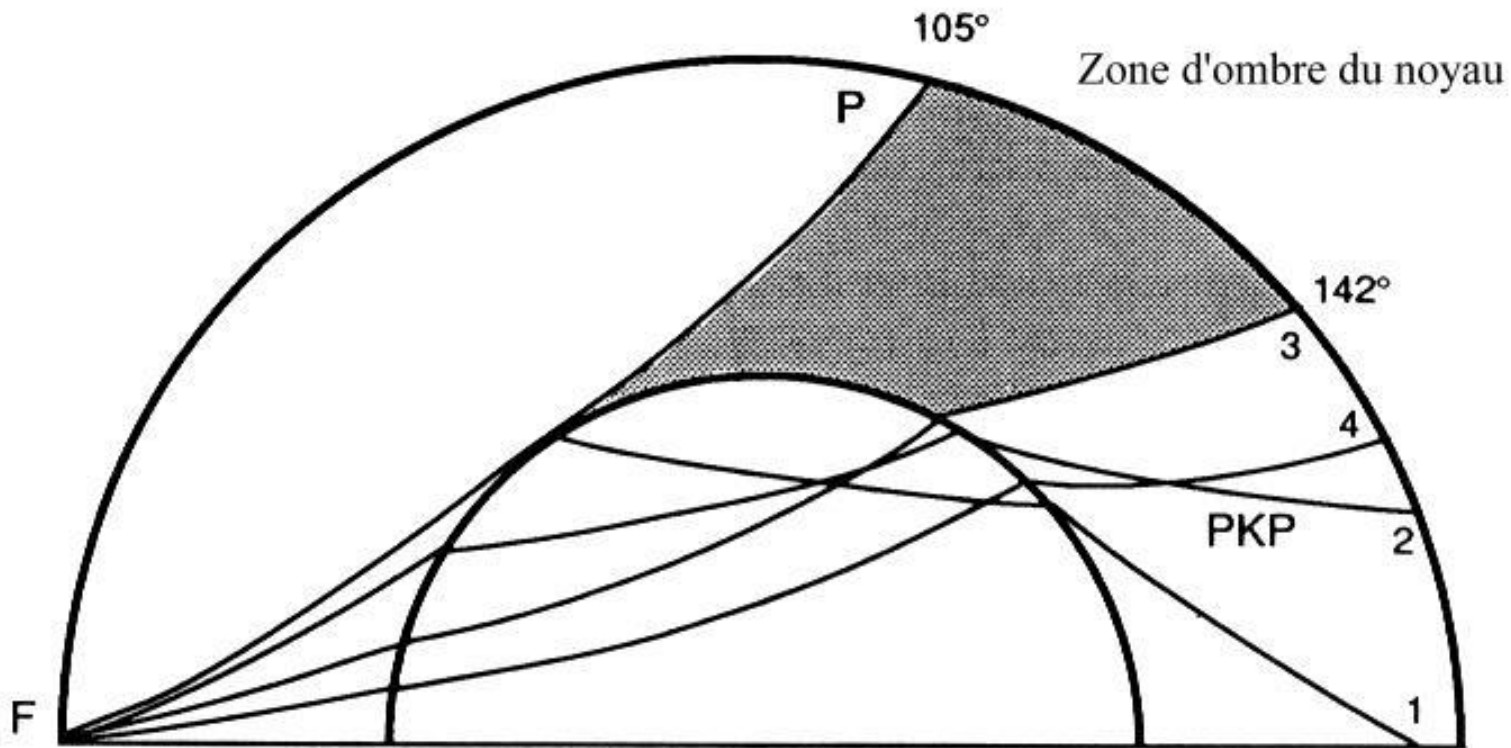
Oldham 1906



Gutenberg, 1914



Jeffreys 1926



La découverte de la Graine – Inge Lehmann



(1888-1993)

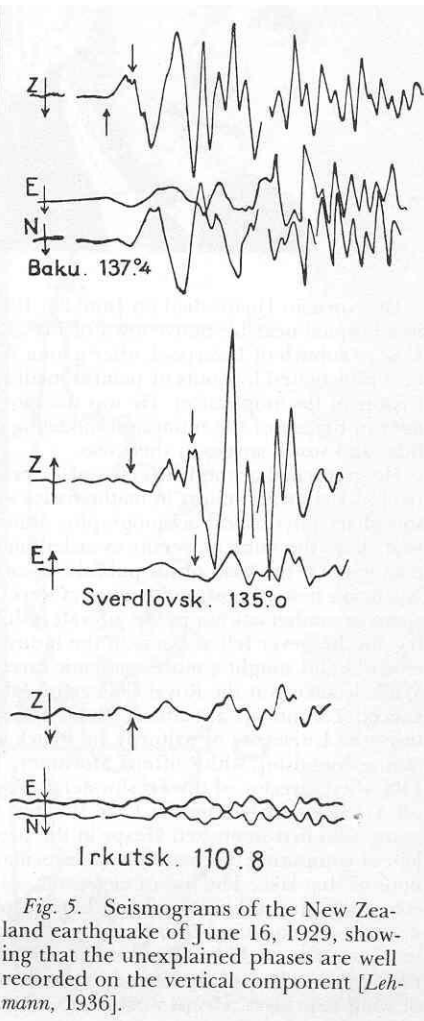


Fig. 5. Seismograms of the New Zealand earthquake of June 16, 1929, showing that the unexplained phases are well recorded on the vertical component [Lehmann, 1936].

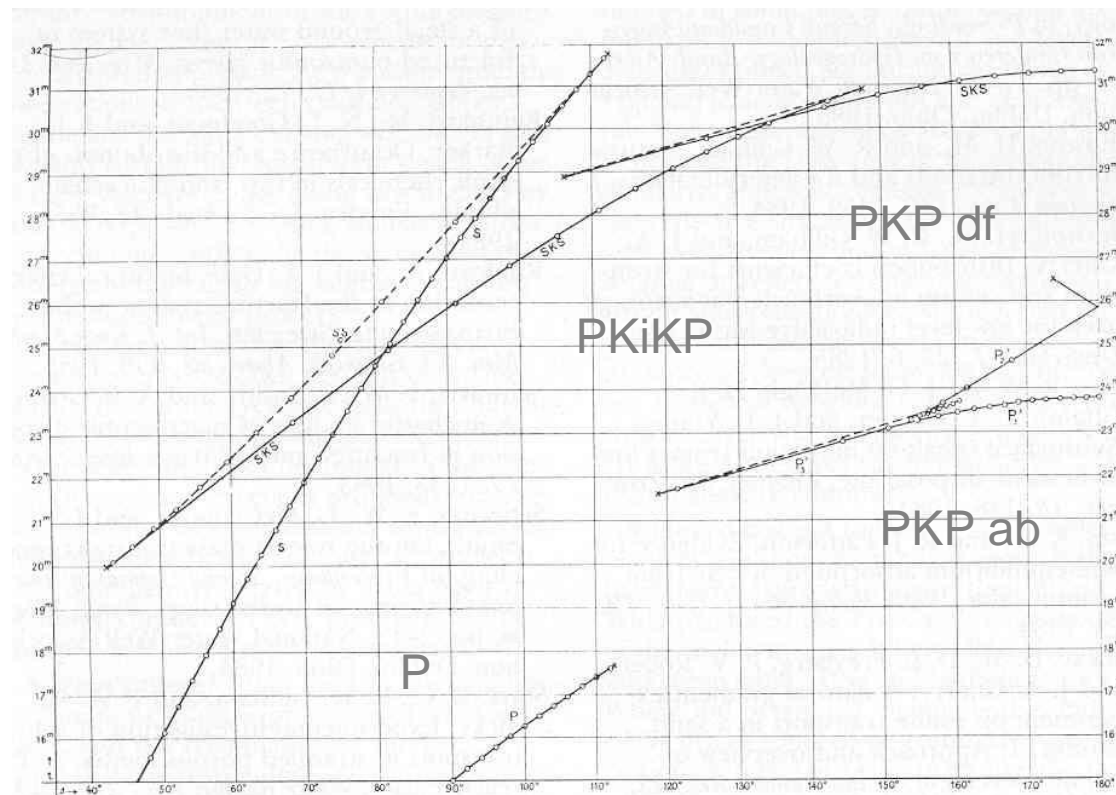


Fig. 7. Travel times for the earth model of Figure 6. The branch labeled P_3' (now PKiKP) explains the phases in Figure 5 [Lehmann, 1936].

La découverte de la Graine – Inge Lehmann

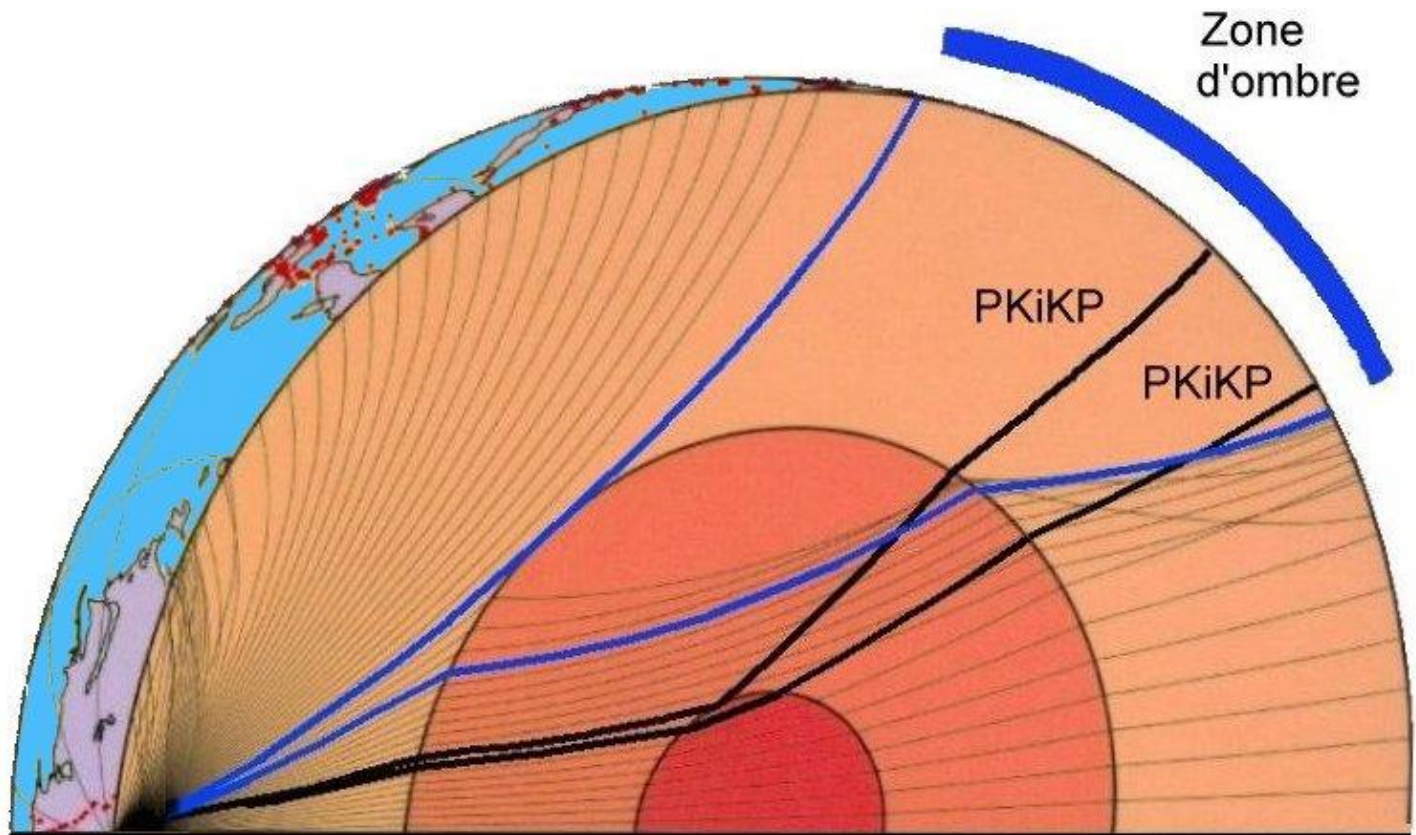
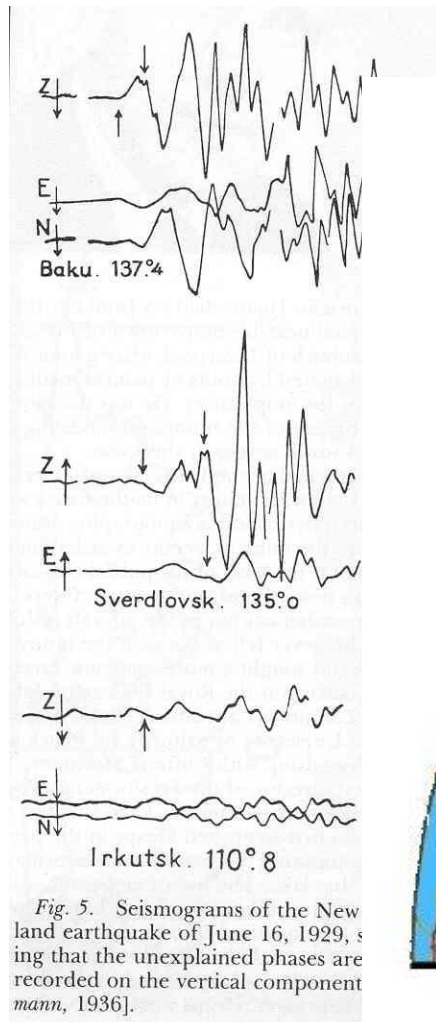
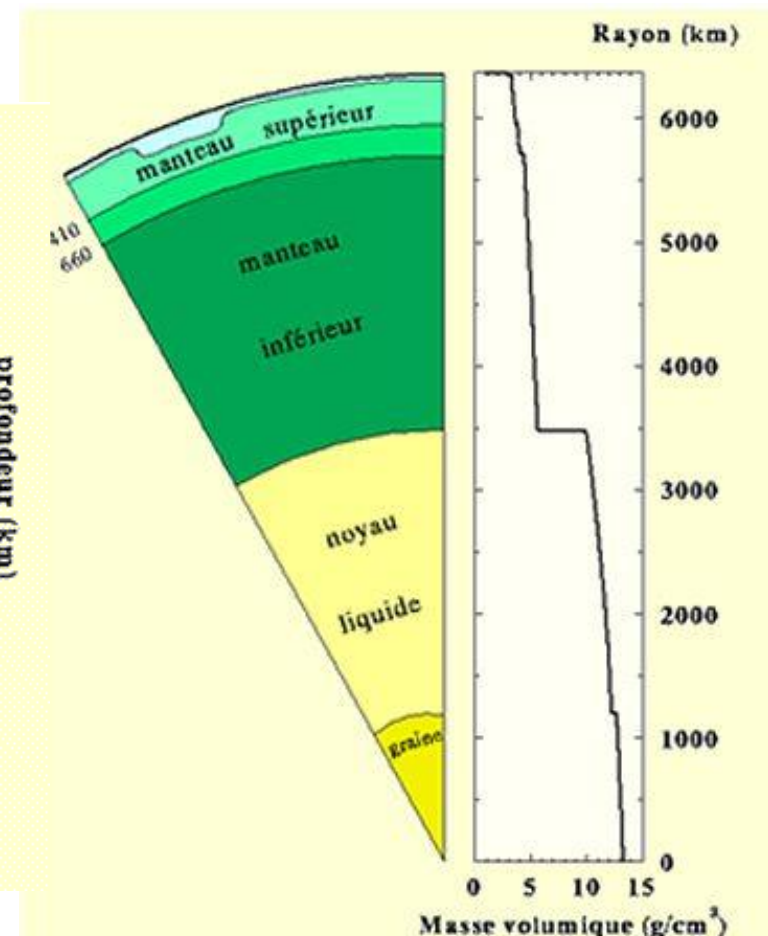
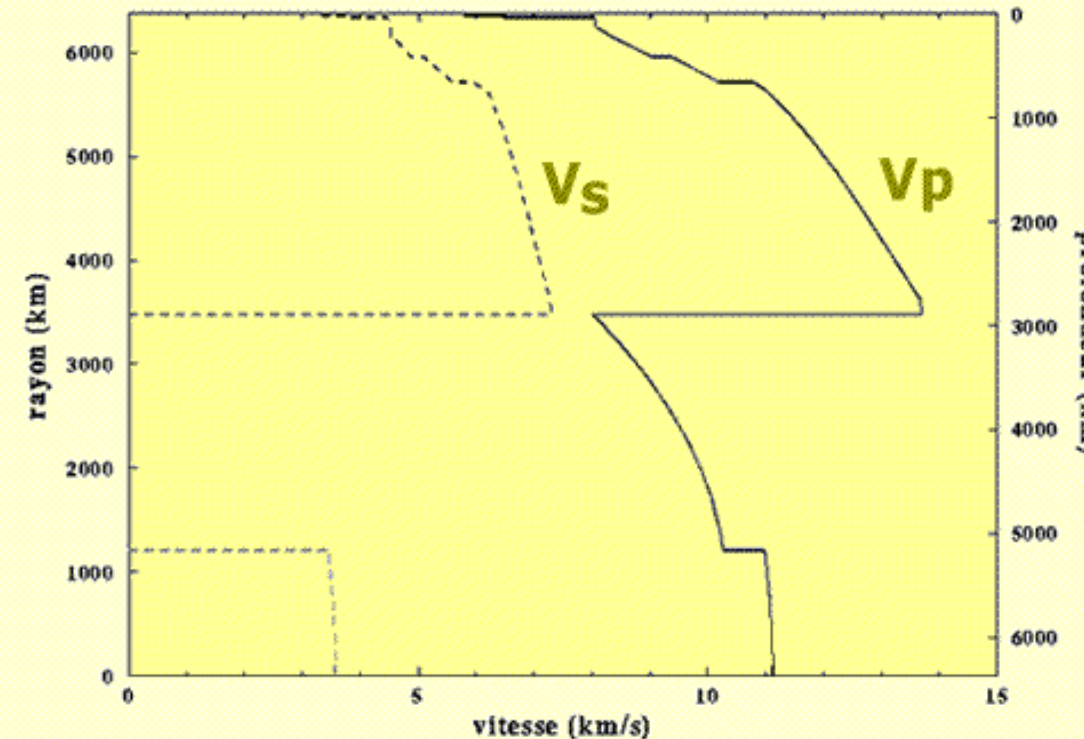


Fig. 5. Seismograms of the New Zealand earthquake of June 16, 1929, showing that the unexplained phases are recorded on the vertical component [Lehmann, 1936].

Imagerie sismique



PREM 1981

La graine est-elle solide?

PKJKP

GEOPHYSICS

Shear properties of Earth's inner core constrained by a detect *J* waves in global correlation

Hrvoje Tkalčić* and Thanh-Son Pham

Seismic *J* waves, shear waves that traverse Earth's inner core, provide the inner core's solidity and shear properties. However, these waves direct seismic wavefield because of their small amplitudes. We devise to detect *J* waves in the earthquake coda correlation wavefield. They move similarly with other compressional core-sensitive signals. The inner core is soft, with shear-wave speeds and shear moduli of 3.42 ± 0.02 kilometer per second and 149.0 ± 1.6 gigapascals (GPa) near the inner core boundary and 3.58 ± 0.02 kilometer per second and 167.4 ± 1.6 GPa in Earth's center. The values are 2.5% lower than those used Preliminary Earth Reference Model. This provides new constraints on the interpretation of Earth's inner core.

Science - 2018

The screenshot shows a news article from ABC News. The headline reads: "Revealed by earthquakes, Earth's inner core may be softer than previously thought". Below the headline is a sub-headline: "This flesh-eating fish was caught in a 150-million-year-old crime scene". There is also a sidebar with the heading "TOP SCIENCE STORIES >" and an image of a scuba diver.

Anisotropie sismique de la Graine

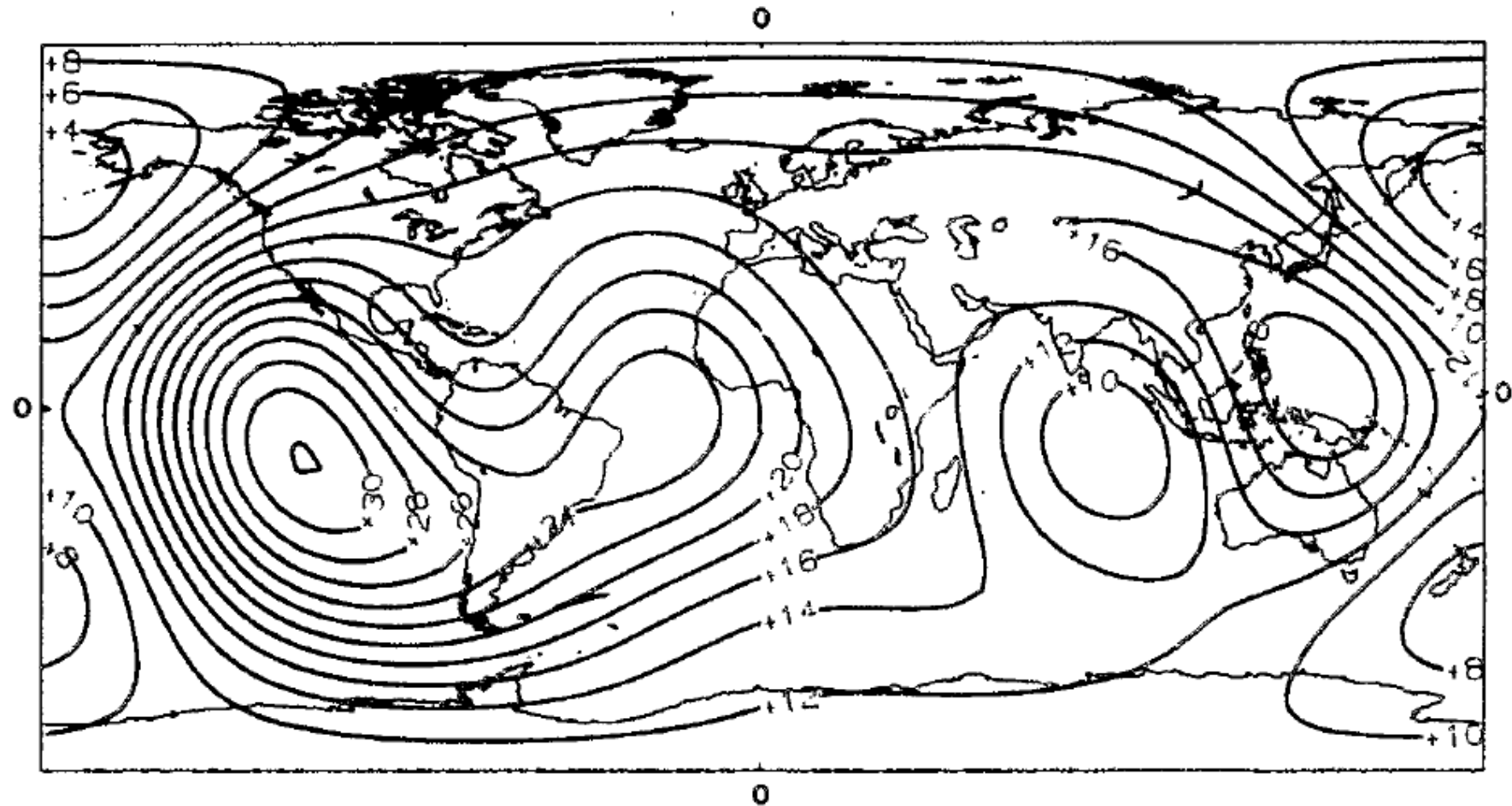
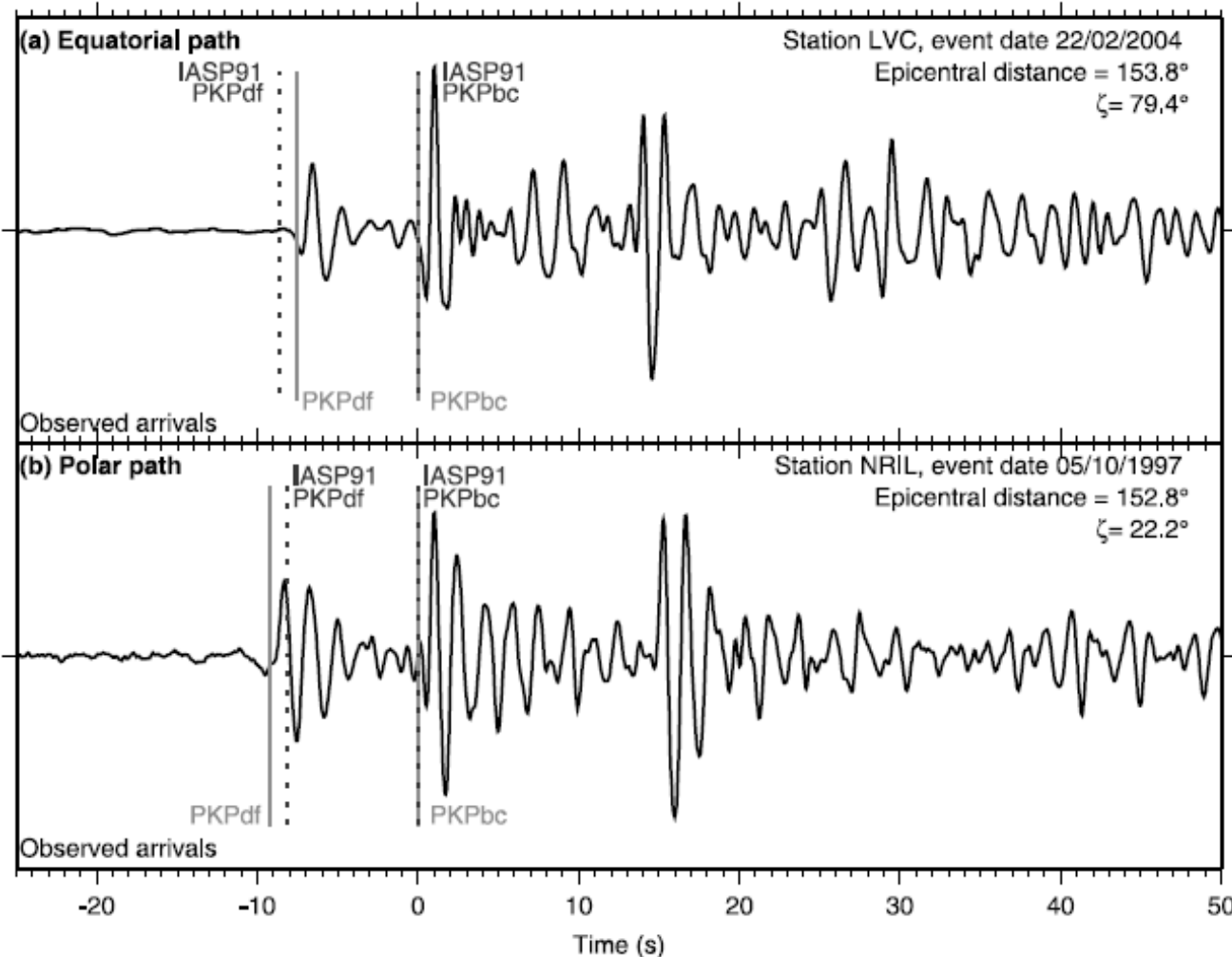


Fig. 4 Spherical harmonics expansion up to a degree 4 of the PKIKP-P travel-time residual field. Values are in tenths of a second. A low number means a fast velocity in the core.

La graine terrestre

Poupinet et al, 1983

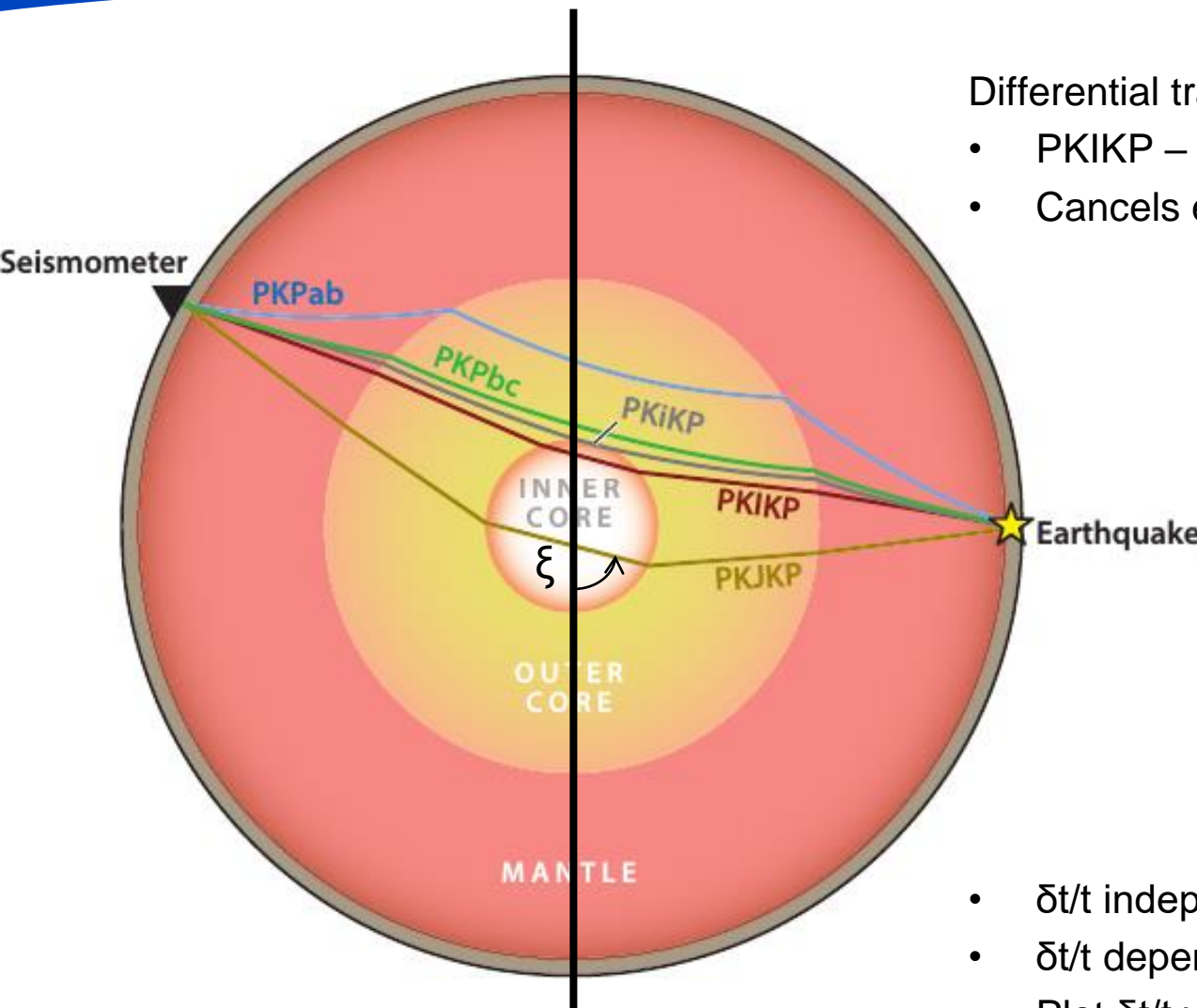
Difference de temps d'arrivée



Annie Souriau
Georges Poupinet
ISTerre, oct 2013

Poupinet et al, nature 1983, Souriau 2008

Séismologie différentielle



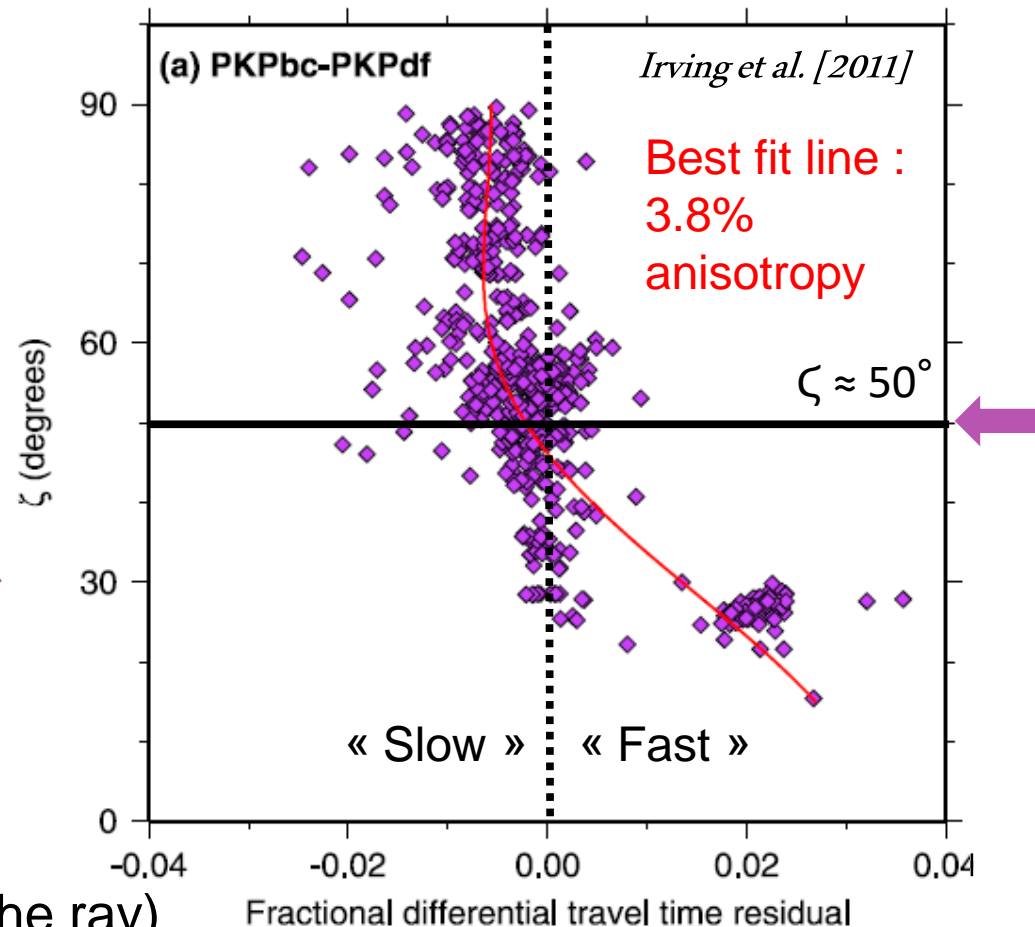
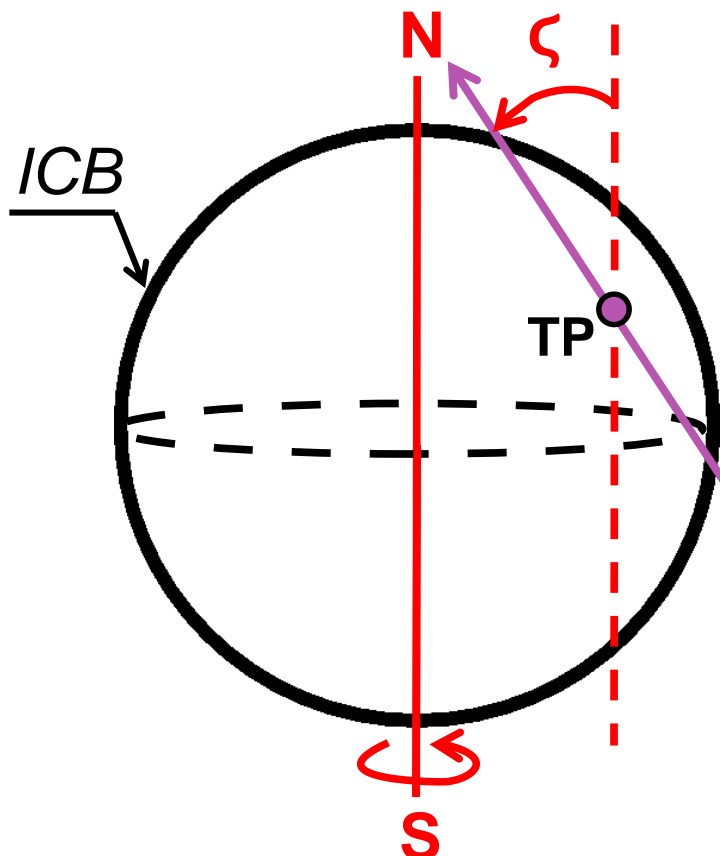
Differential travel time δt :

- PKIKP – PKiKP, or other combinations
- Cancels effects of mantle and crust

- $\delta t/t$ independent of ξ : no anisotropy
- $\delta t/t$ depends on ξ : anisotropy
- Plot $\delta t/t$ vs. ξ , angle to Earth rotation axis

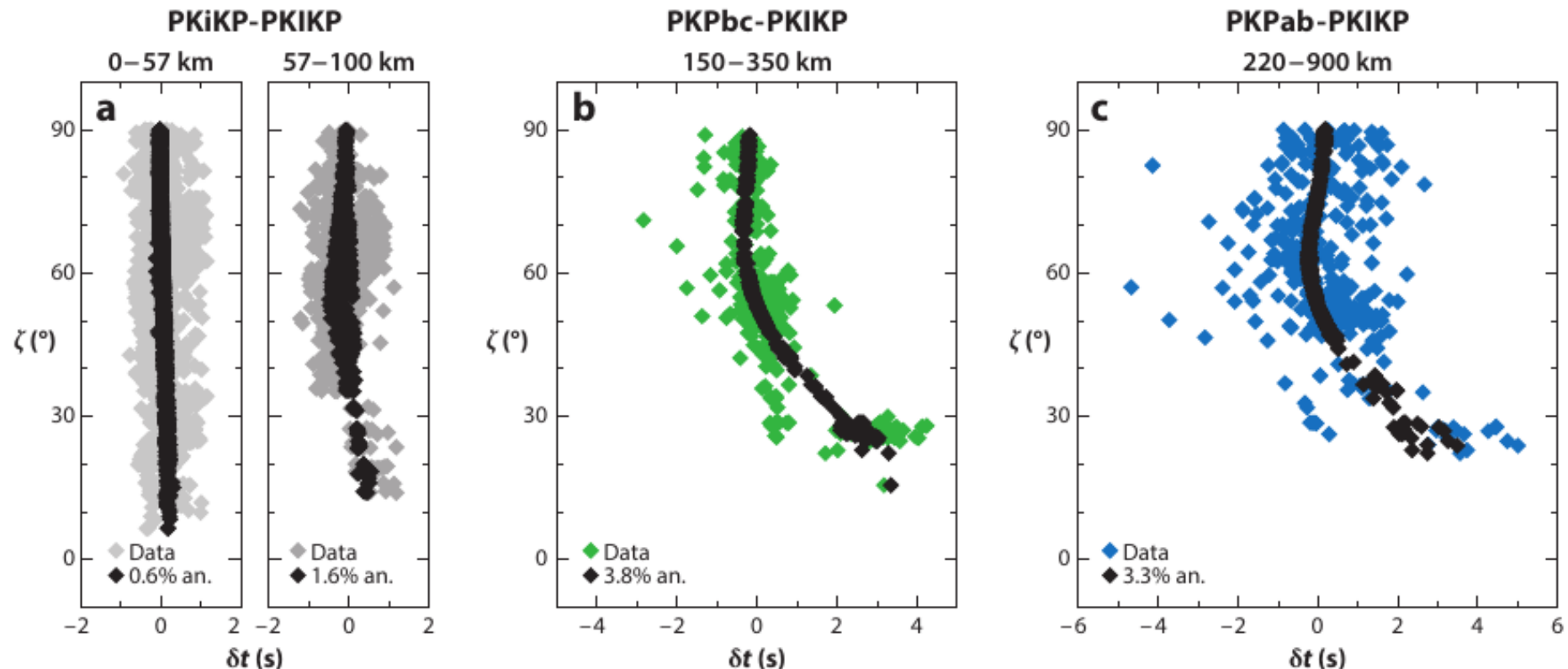
Illustration : Deuss, *Annu. Rev. Earth Planet. Sci.* 2015

La graine est anisotrope!



TP : turning point (deepest point of the ray)

L'anisotropie dépend de la profondeur

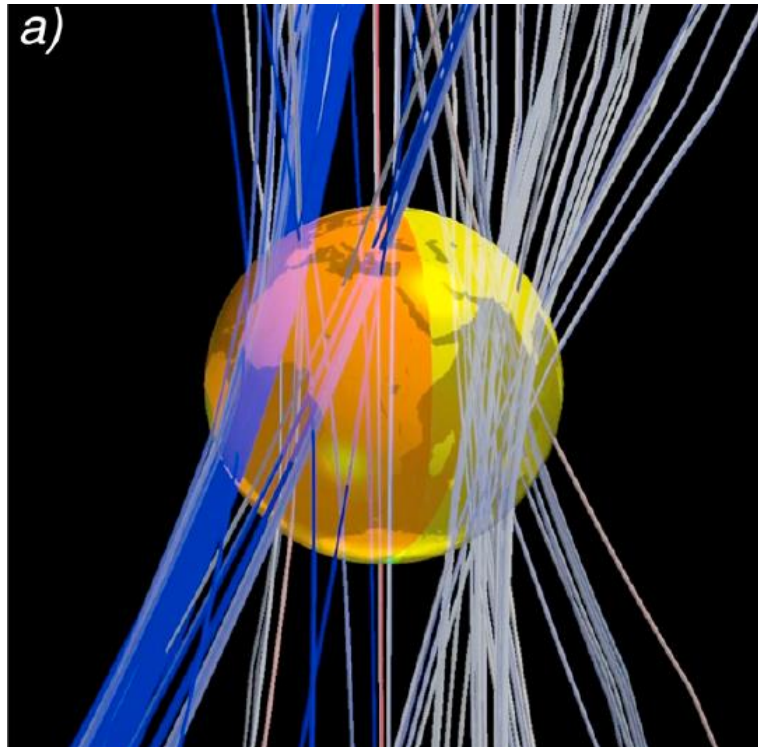


Deuss, *Annu. Rev. Earth Planet. Sci.* 2014

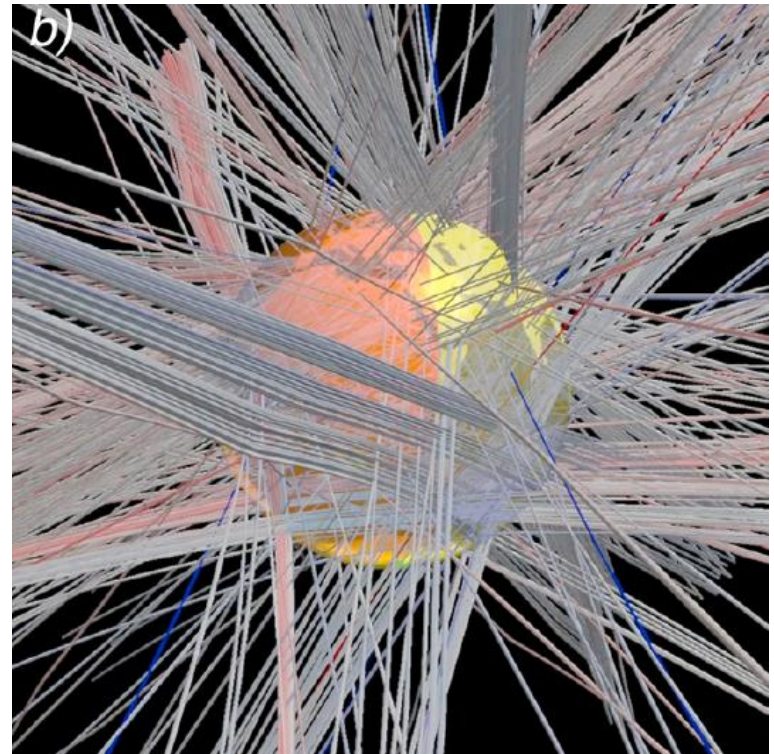
Data are from Irving & Deuss (2011a) and Waszek & Deuss (2011)

Très peu de rais sismiques...

Quasi-polar PKIKP raypaths
 $\xi \leq 35^\circ$



Quasi-equatorial PKIKP raypaths
 $\xi > 35^\circ$



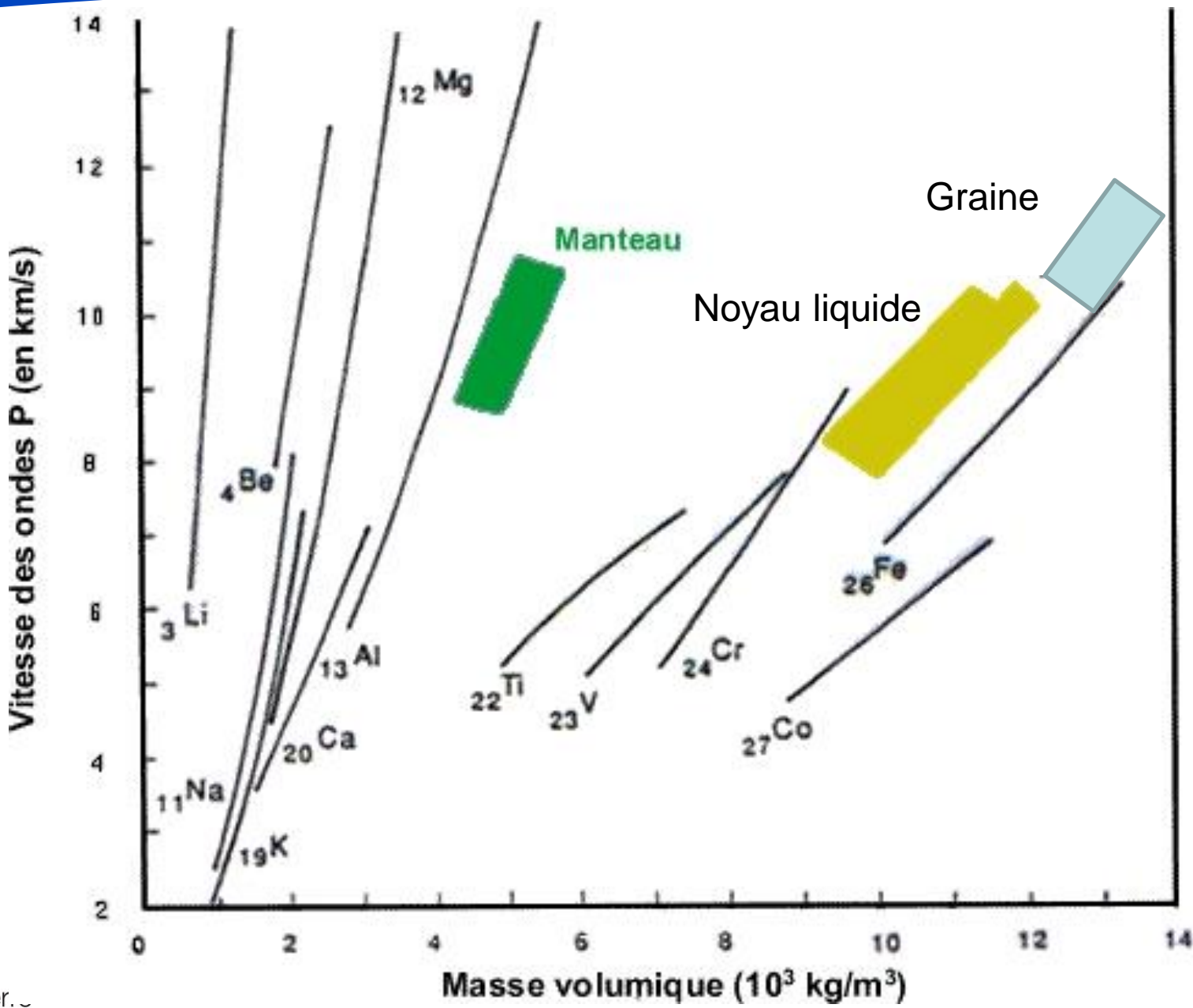
- 1- Very incomplete coverage (N-S path particularly)
- 2- Waves go through the whole inner core

Illustration : Tkalcic, Rev Geophys. 2015

Plan

1. Sismologie de la graine
2. Une graine en Fer ?
3. Formation de la graine
4. Dynamique de la graine
5. L'anisotropie de la graine

Loi de Birch



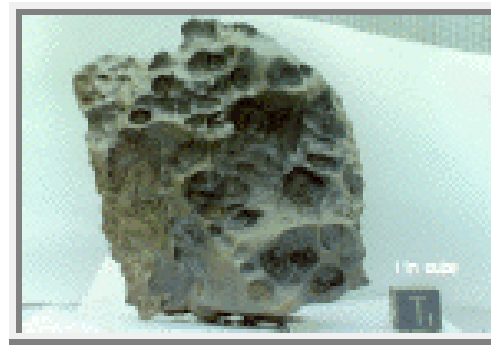
Géochimie du noyau

Terre = \sum météorites chondritiques

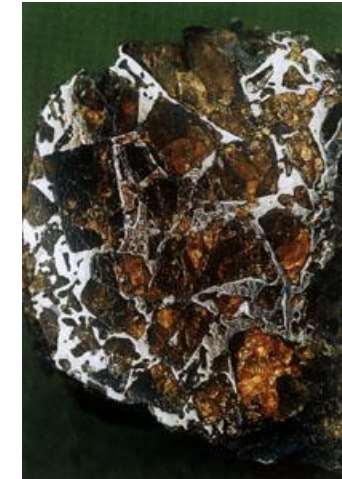
Noyau = Terre - croute - manteau



Chondrite

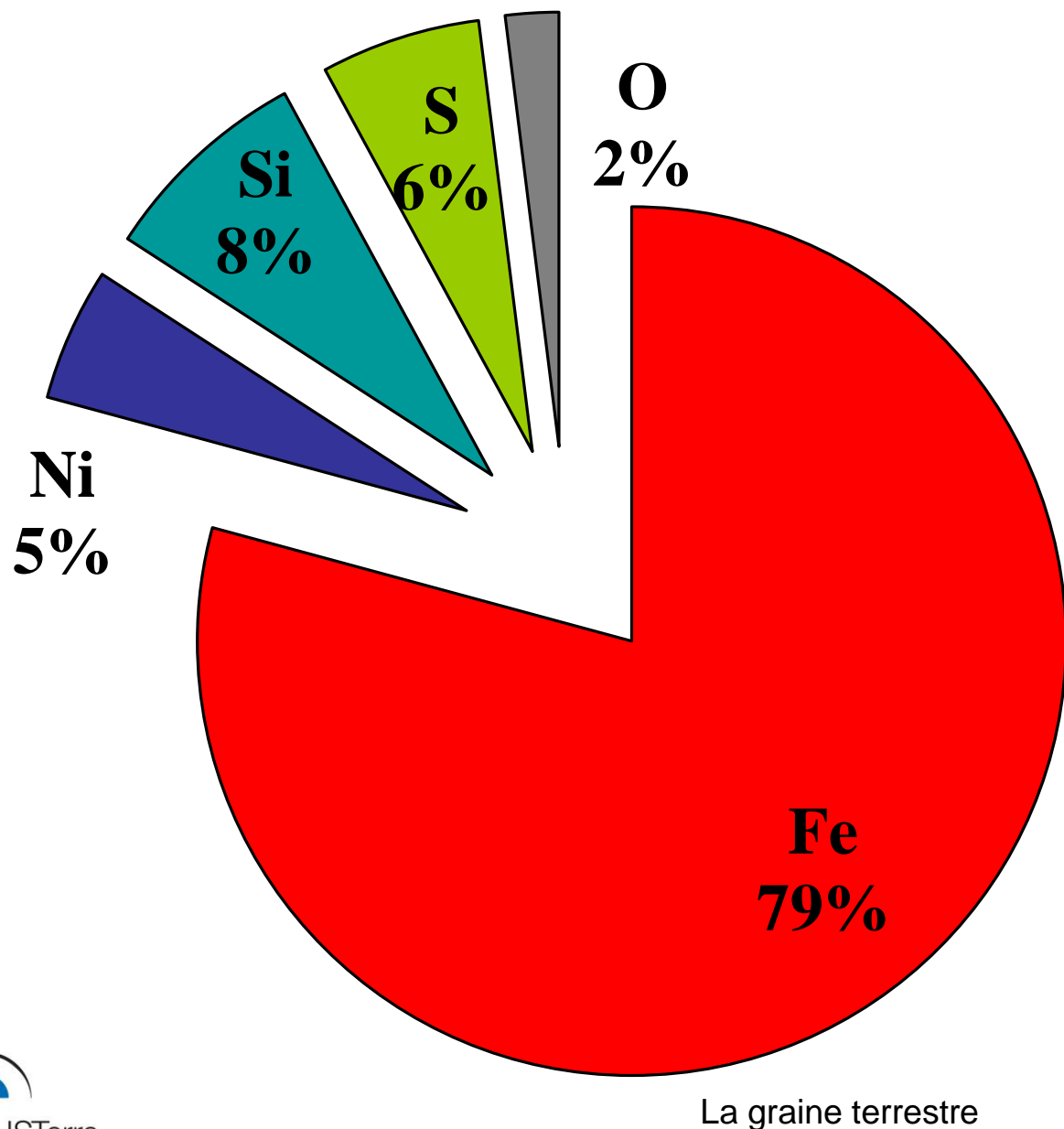


Météorite de Fer



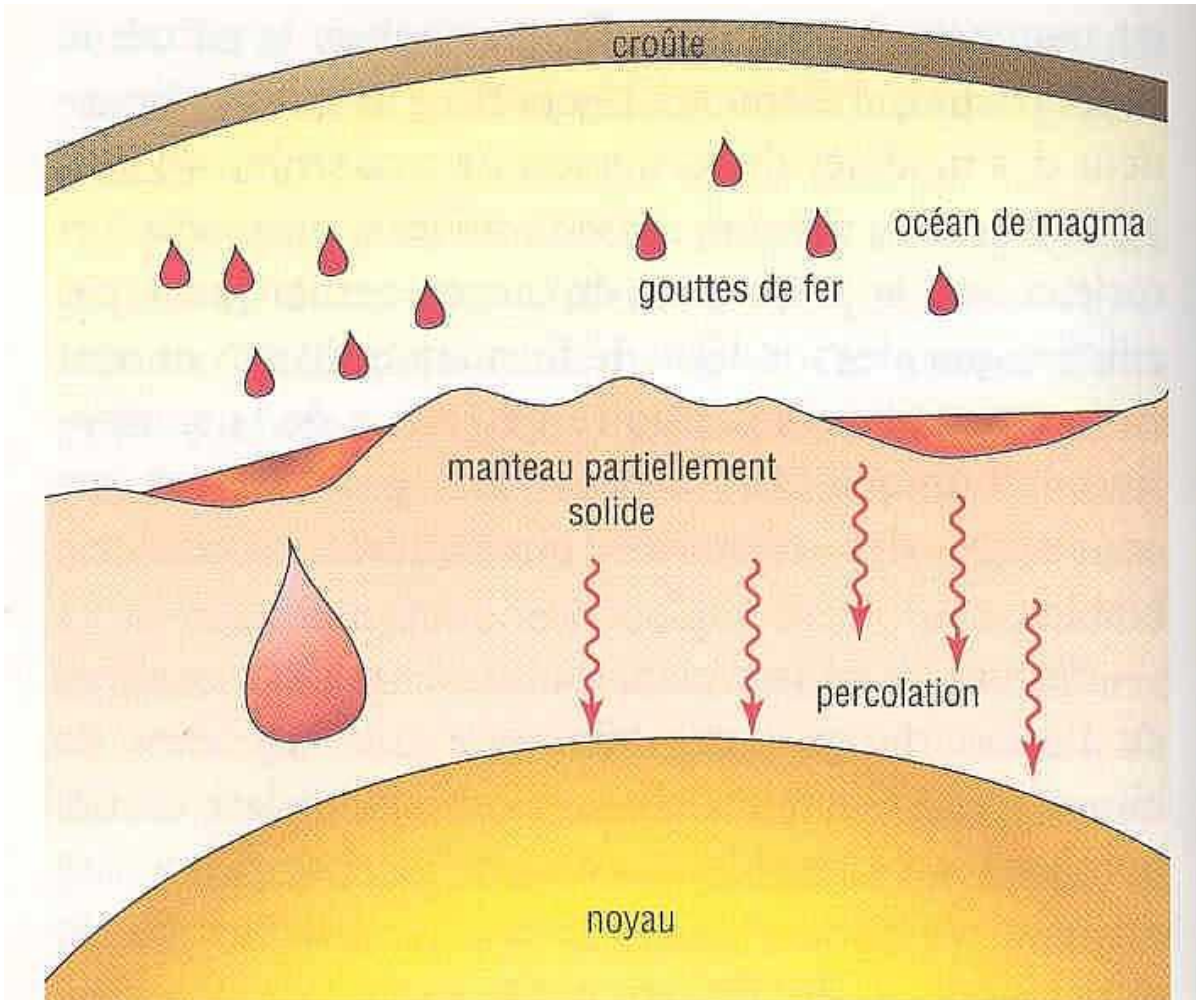
Pallasite

Composition géochimique du noyau



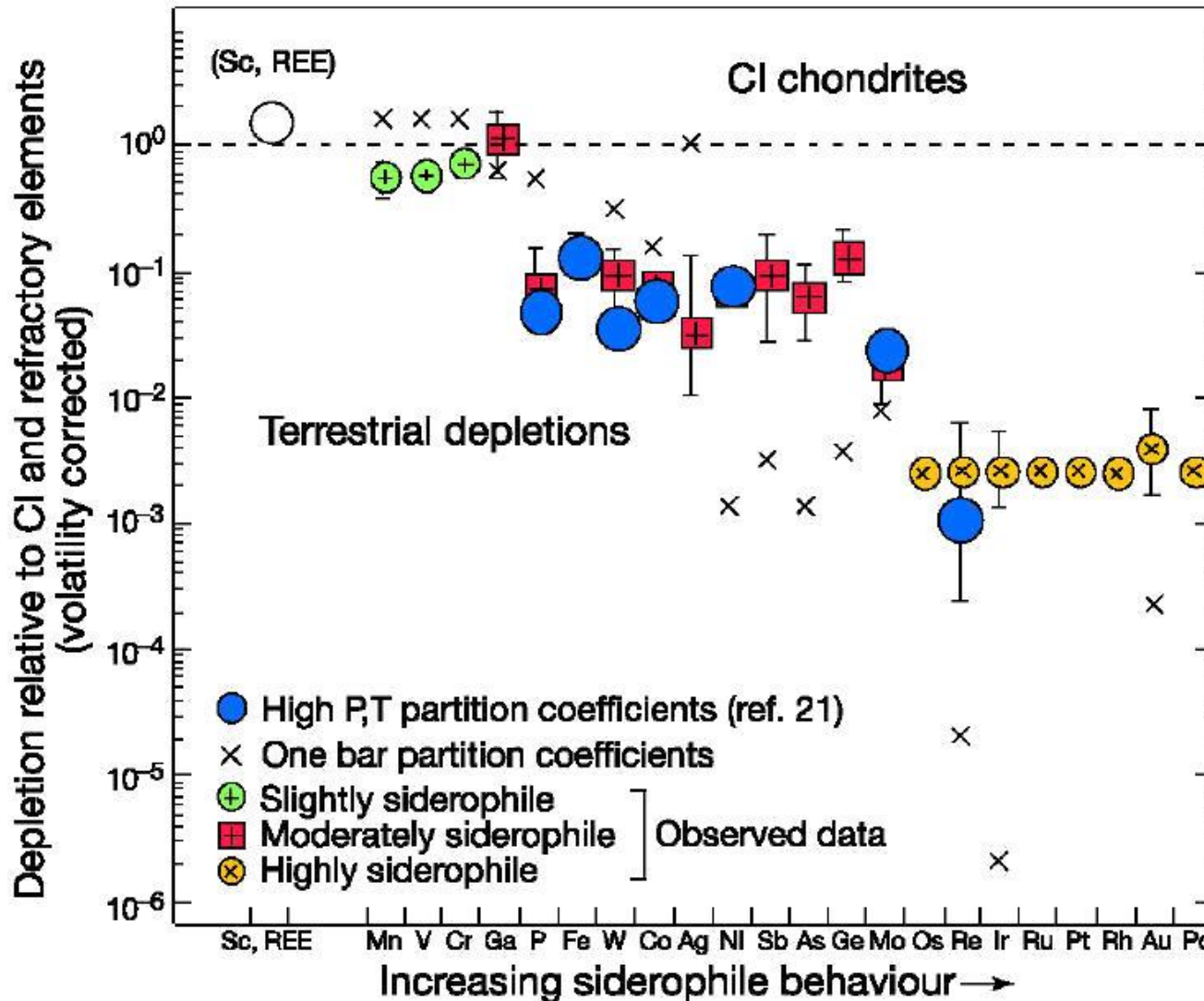
Allegre et al, 1995

Formation du noyau



Source : D. J. Stevenson, *Science*, 1981.

Sidérophile/lithophile



Drake et al, 2002

Mélange turbulent métal/silicates

306

R. Deguen et al. / Earth and Planetary Science Letters 310 (2011) 303–313

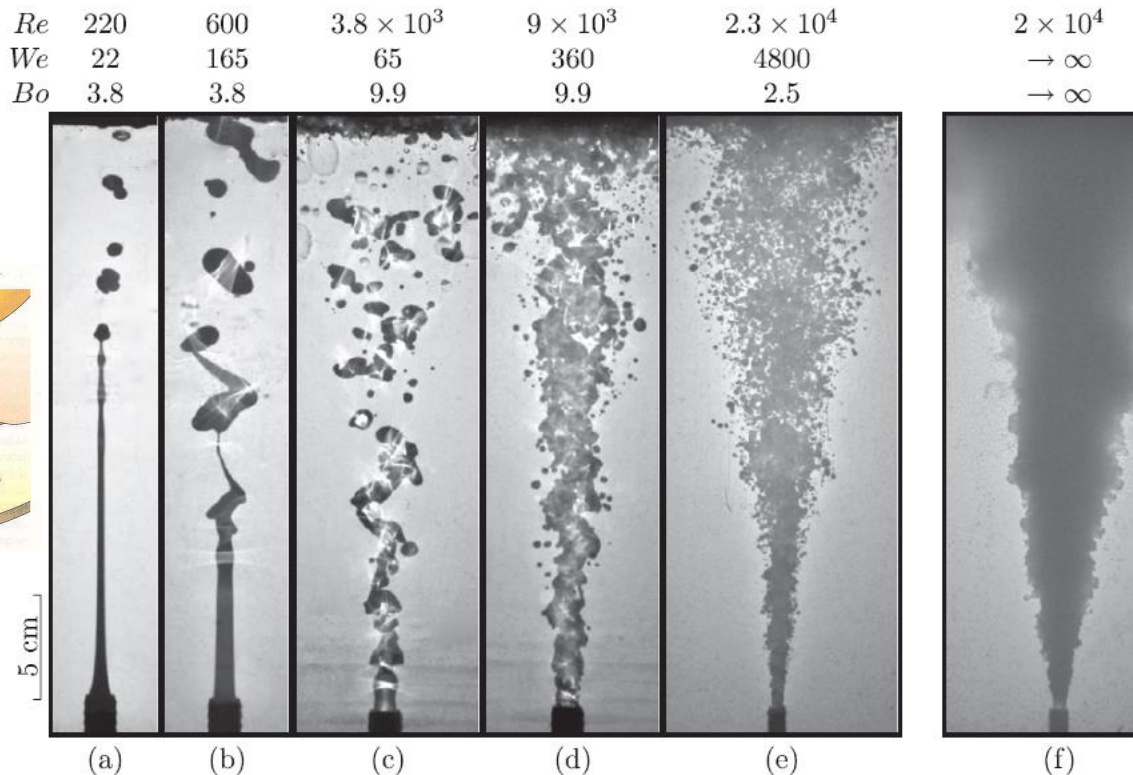


Fig. 1. Forced plumes in water. Canola oil is used in the experiments shown in a) and b) ($\lambda = 0.1$, $\Delta\rho/\rho_w = 0.08$), and a low viscosity silicone oil is used in the experiments shown in c) to e) ($\lambda = 1.2$, $\Delta\rho/\rho_w = 0.18$). f): forced plume of a water-alcohol mixture (density $\rho = 810 \text{ kg} \cdot \text{m}^{-3}$) in cold water. In a), disruption is due to the Rayleigh-Plateau capillarity instability; fragmentation is due mainly to shear instabilities in d) and e). See text for dimensional parameters values.

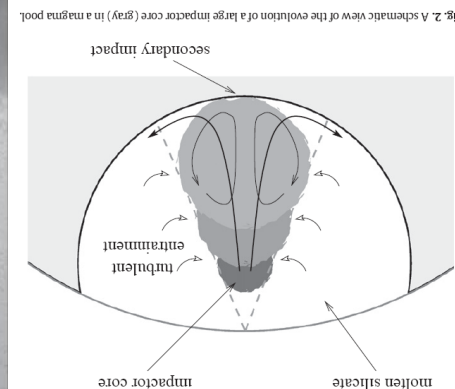


Diagramme de phase « théorique » du Fe

PHYSICAL REVIEW B 87, 094102 (2013)

Ab initio equation of state of iron up to 1500 GPa

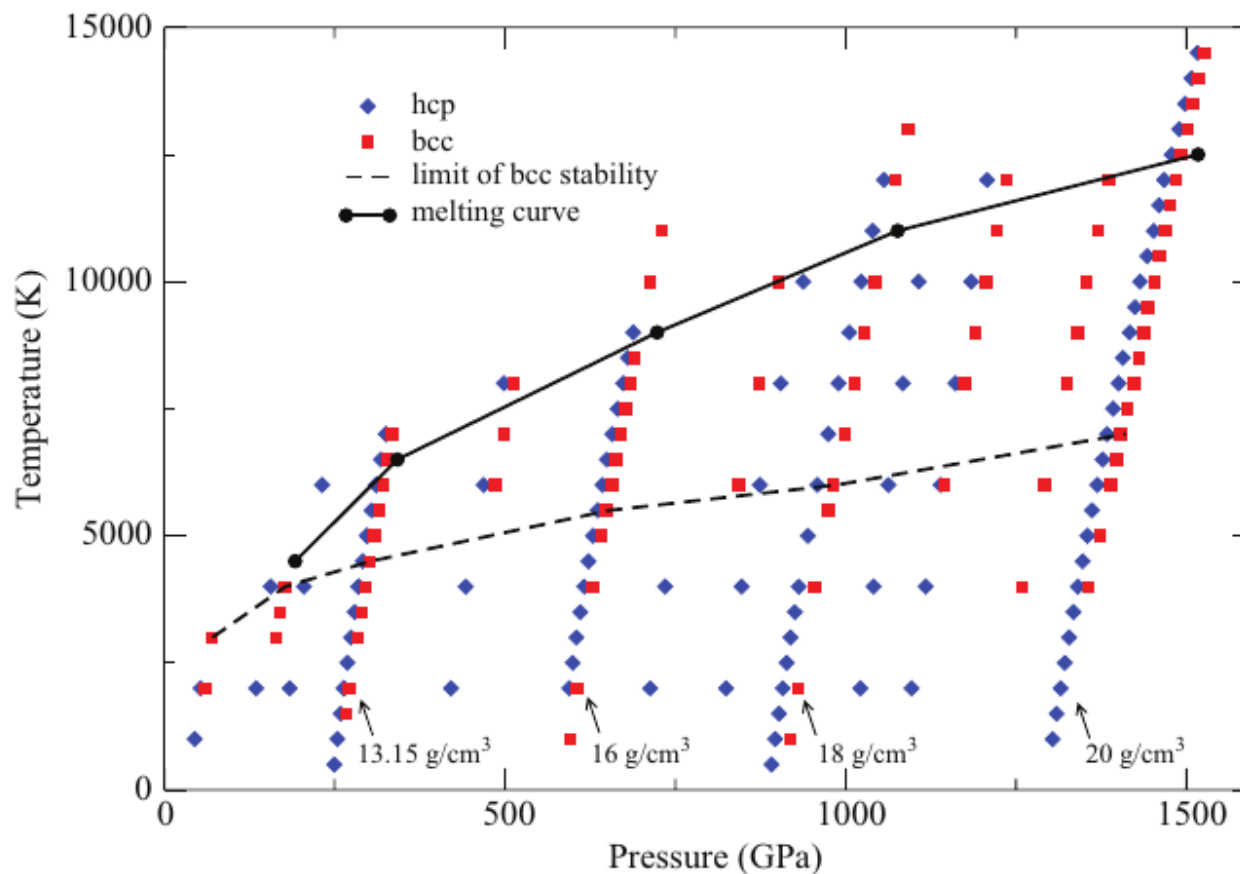
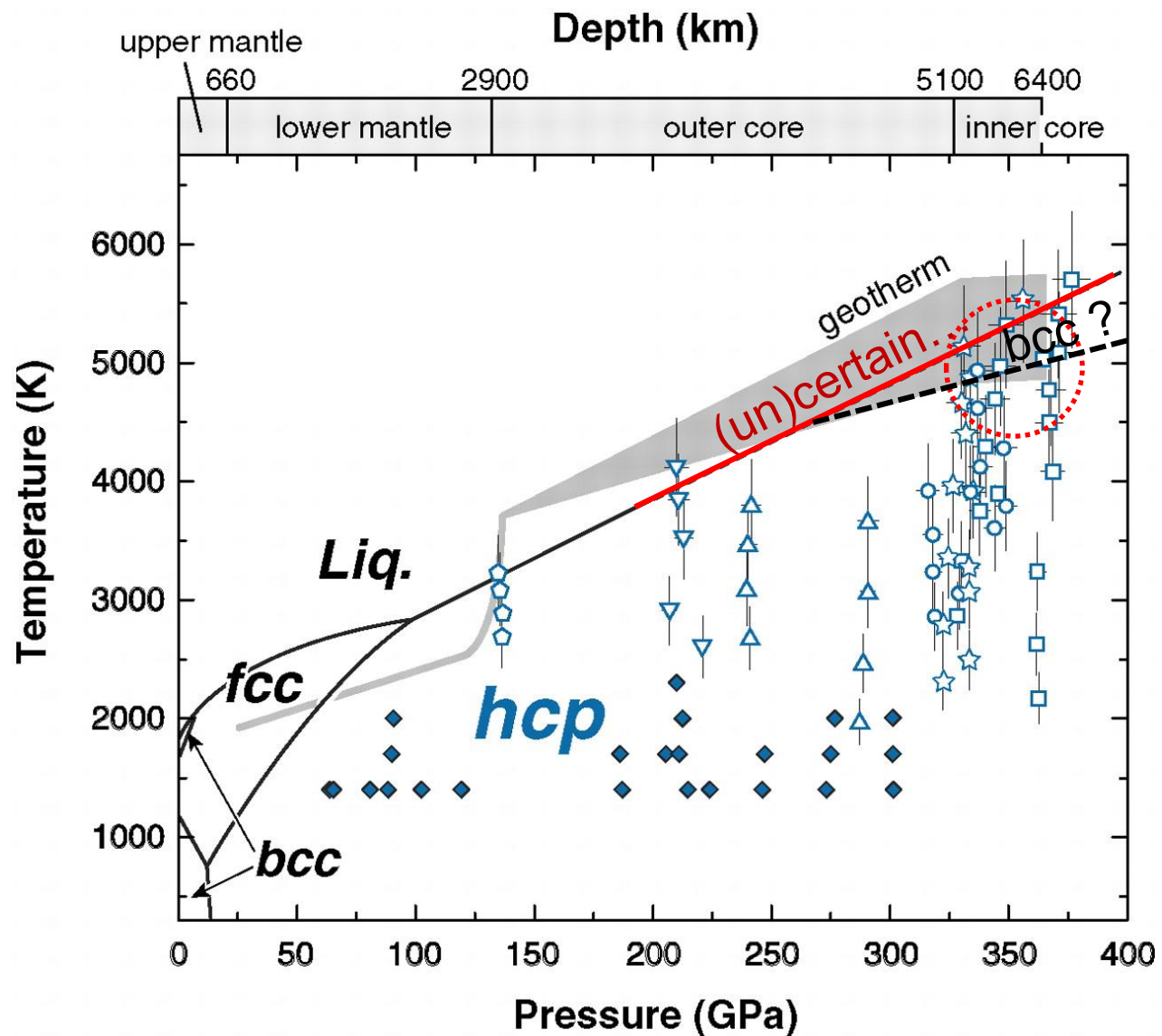
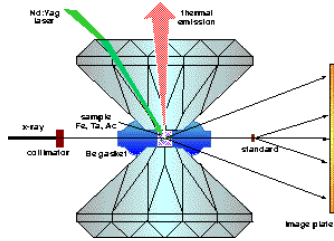


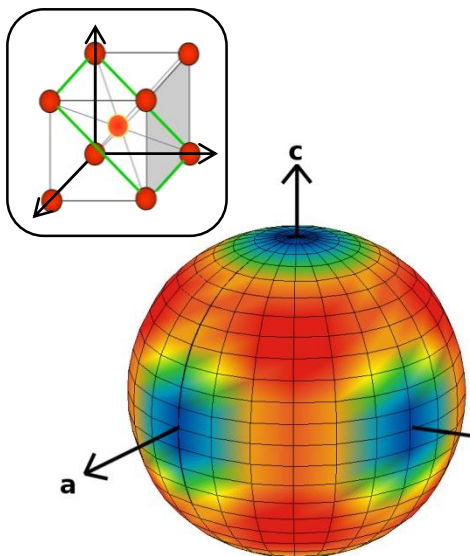
Diagramme de phase « expé » du Fe

Tateno et al. [2010]



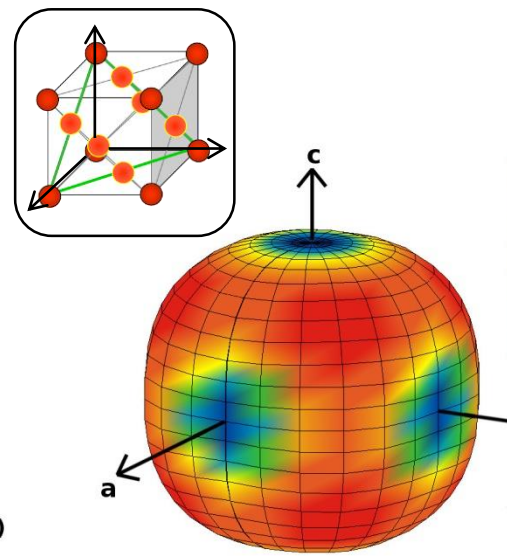
Anisotropie cristaline

3 possible cristallographic phases for Fe at the inner core conditions



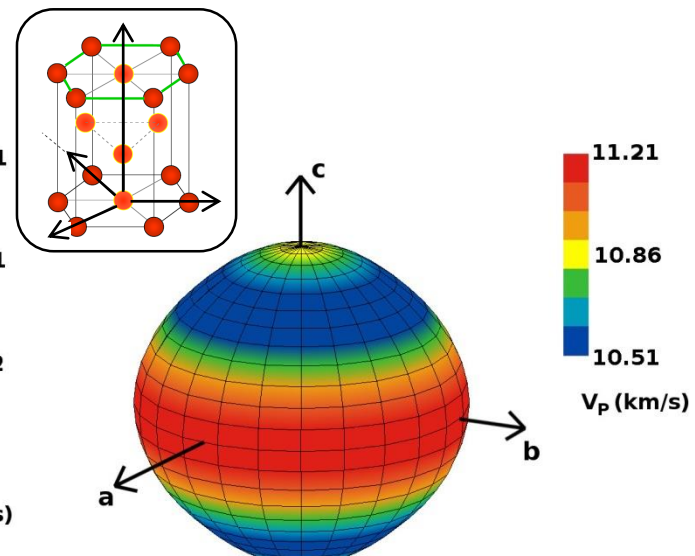
Base centered cubic
(*bcc*)

Vocadlo, 2007



Face centered cubic
(*fcc*)

Vocadlo, 2008

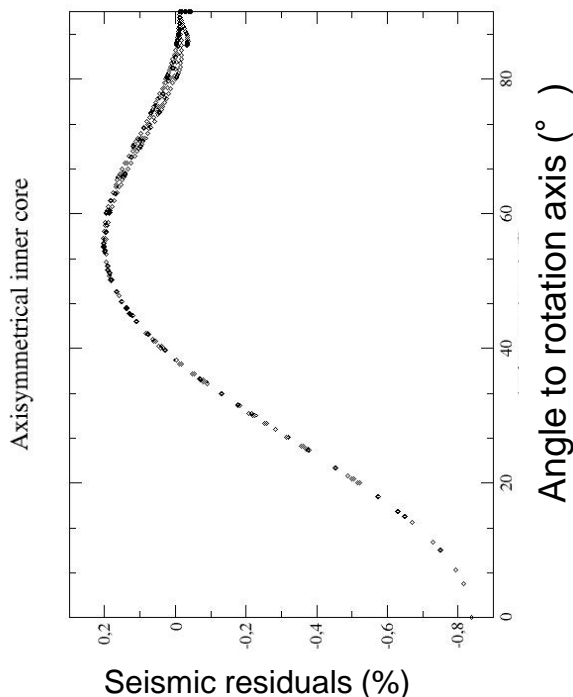
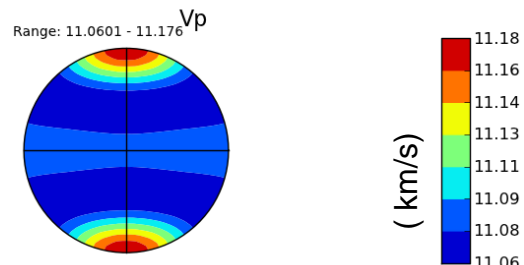


Hexagonal compact
(*hcp*)

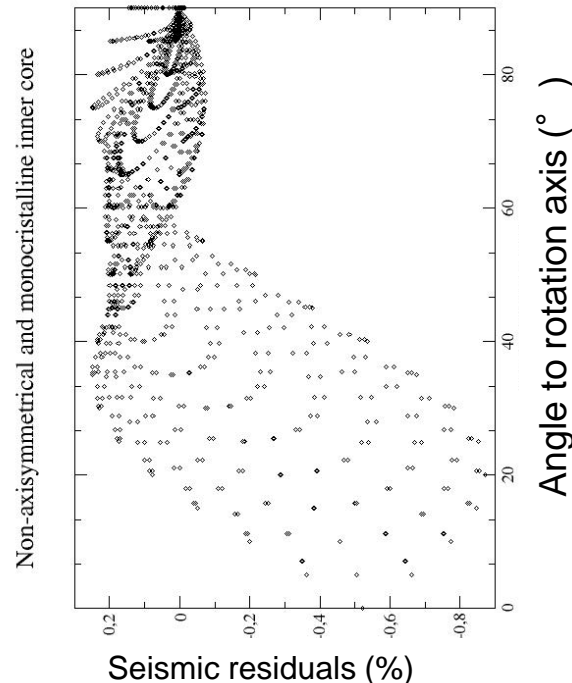
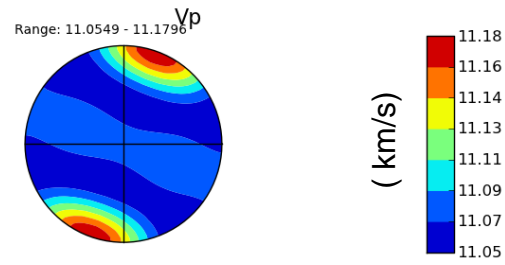
Vocadlo, 2009

La graine: un monocristal?

Axisymmetric single cristal inner core



Non-axisymmetric single cristal inner core



La graine terrestre

Source d'anisotropie polycristalline

Shape preferred orientation

- Aligned grain shapes
- Aligned melt pockets

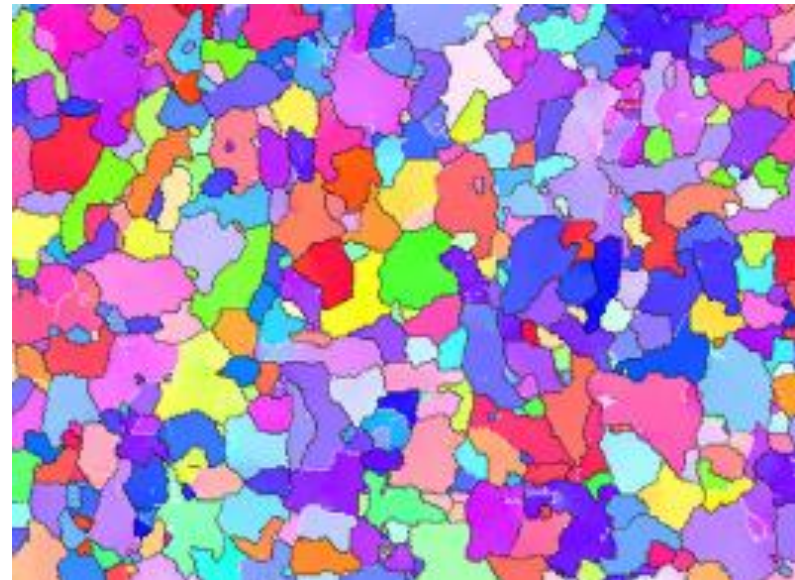


SPO in the inner core
“Structural anisotropy”

How were the SPO generated?

Lattice preferred orientations

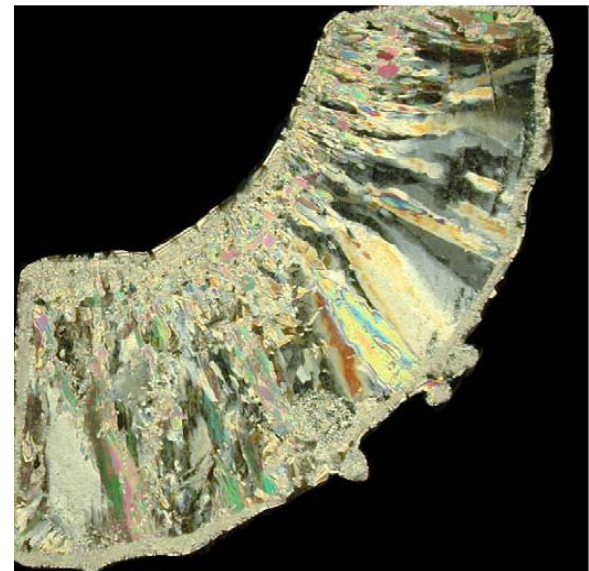
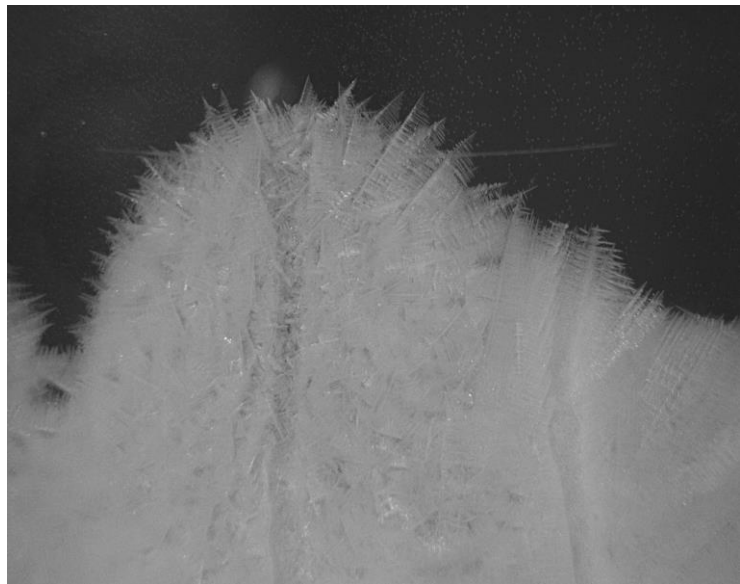
- Crystallization
- Plastic deformation



LPO in the inner core
“Deformation anisotropy”
Coupling of IC dynamics and
anisotropy

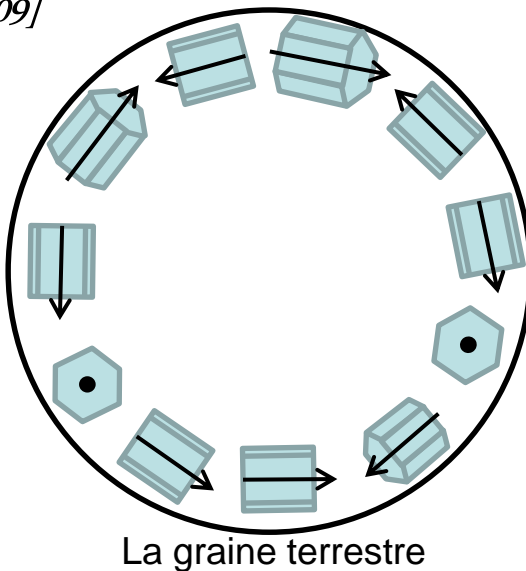
Solidification de cristaux

Cristallographic Preferred Orientation CPO



Deguen [2009]

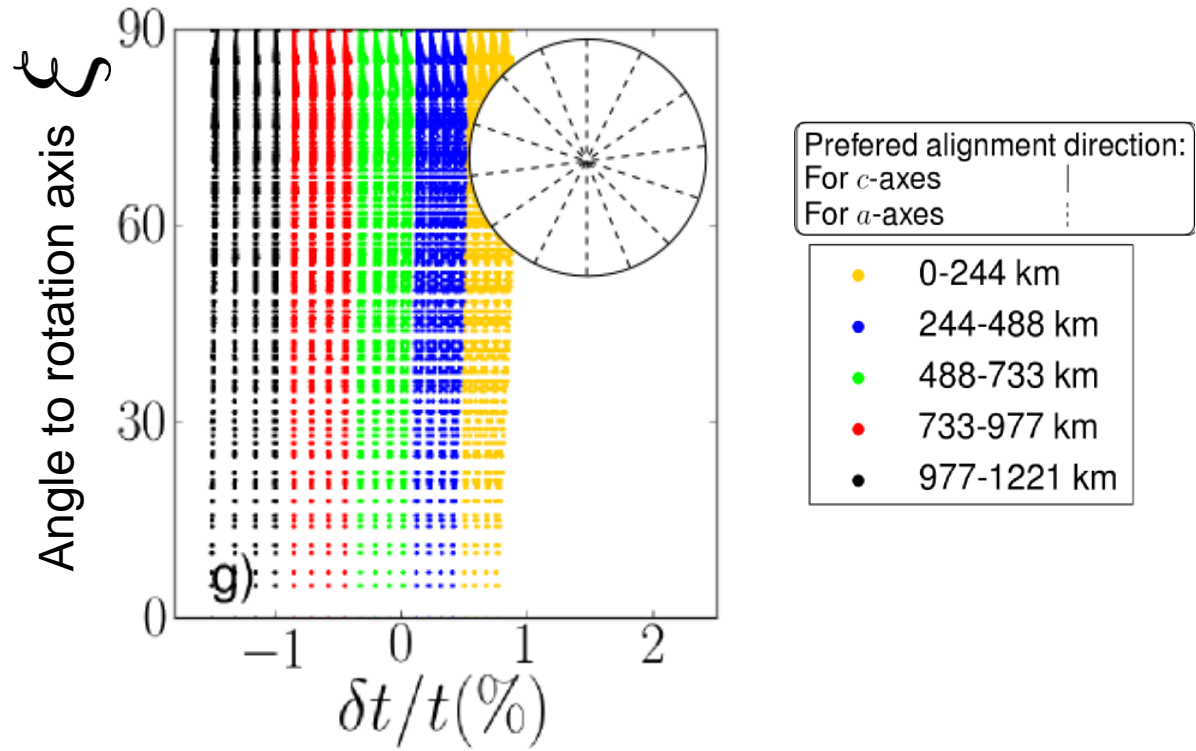
Spherical cristalisation



Bergman [2005]

Graine cristallisée sphérique

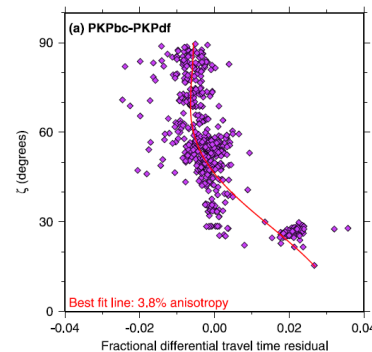
300 000 synthetic rays
probing the inner core



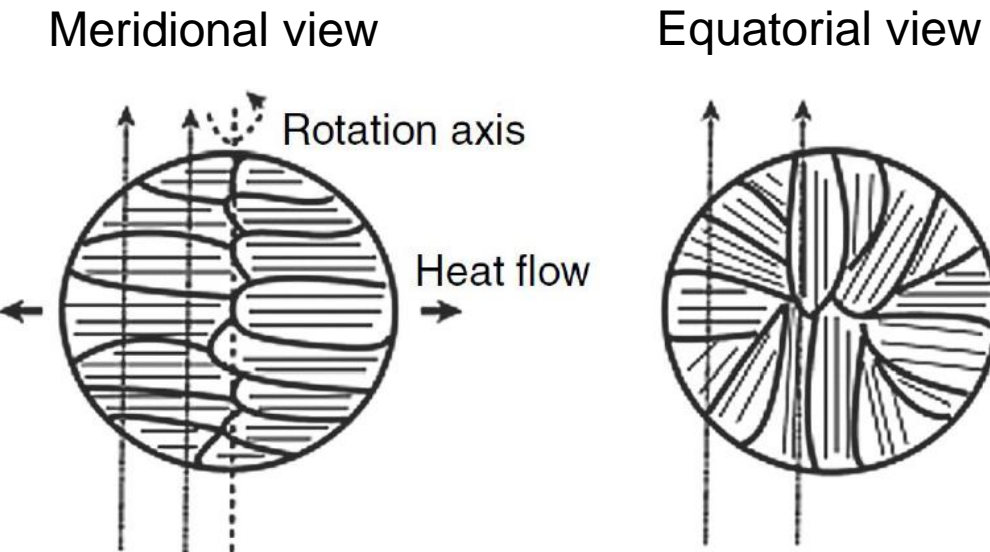
Seismic residuals

$$\frac{\delta t}{t} = \frac{s_{ray} - s_0}{s_0}$$

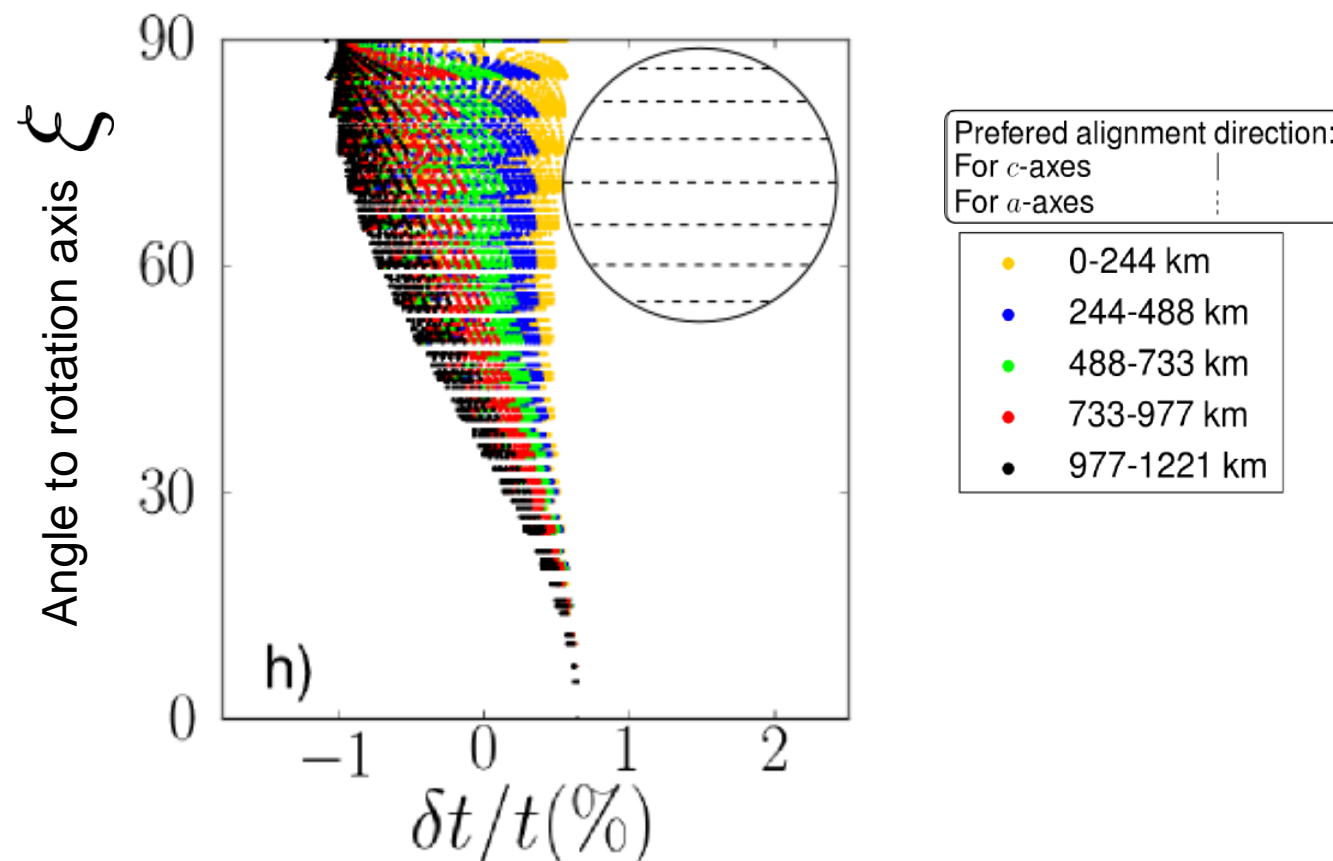
Where s_0 = average slowness in IC



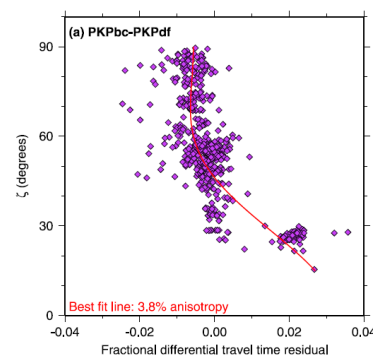
Graine cristallisée cylindrique



Bergman [1997], Sumita [2007]



La graine terrestre

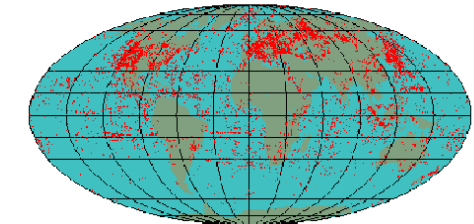
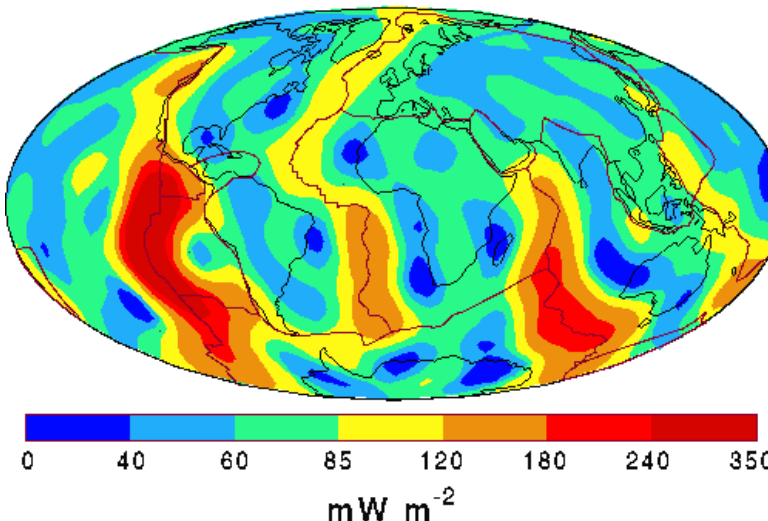


Plan

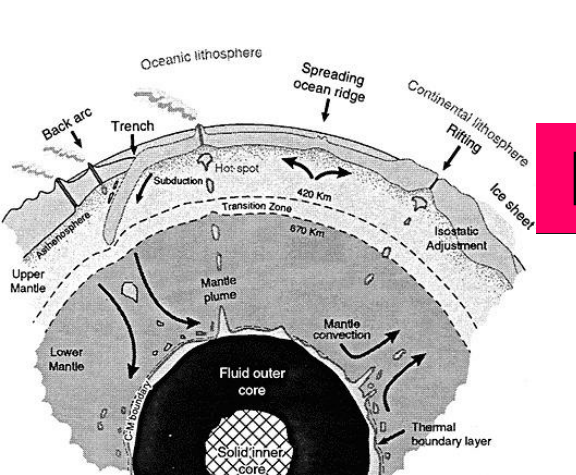
1. Sismologie de la graine
2. Une graine en Fer ?
3. Formation de la graine
4. Dynamique de la graine
5. L'anisotropie de la graine

Et la Terre se refroidit...

Flux de chaleur



$$40 \text{ TW } (\pm 5) = 5 \text{ TW } (\pm 5) + 25 \text{ TW } (\pm 5) + 10 \text{ TW } (?)$$

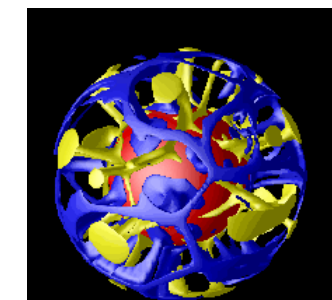


Noyau

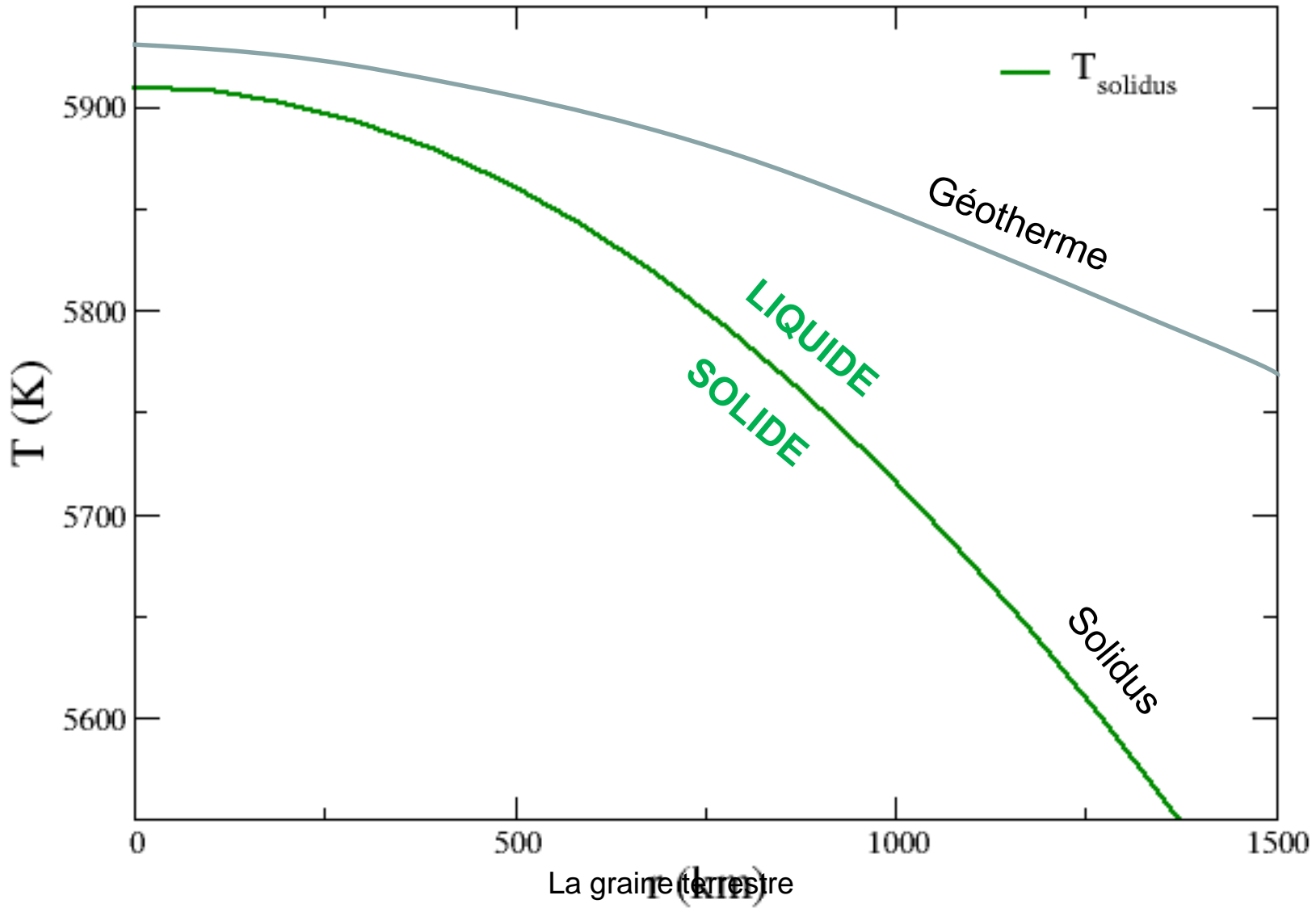
Refroidissement..

Radioactivité

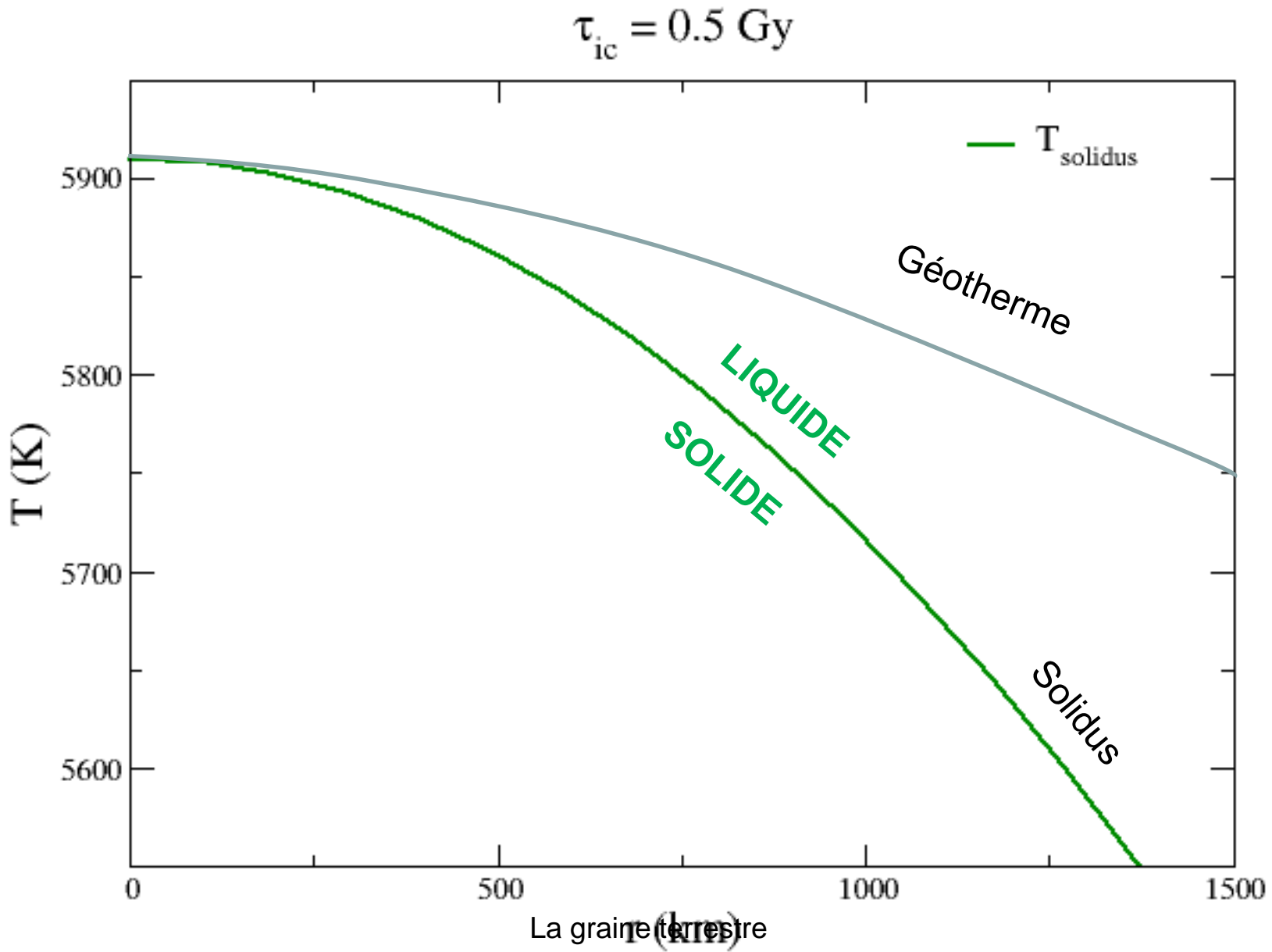
La graine terrestre



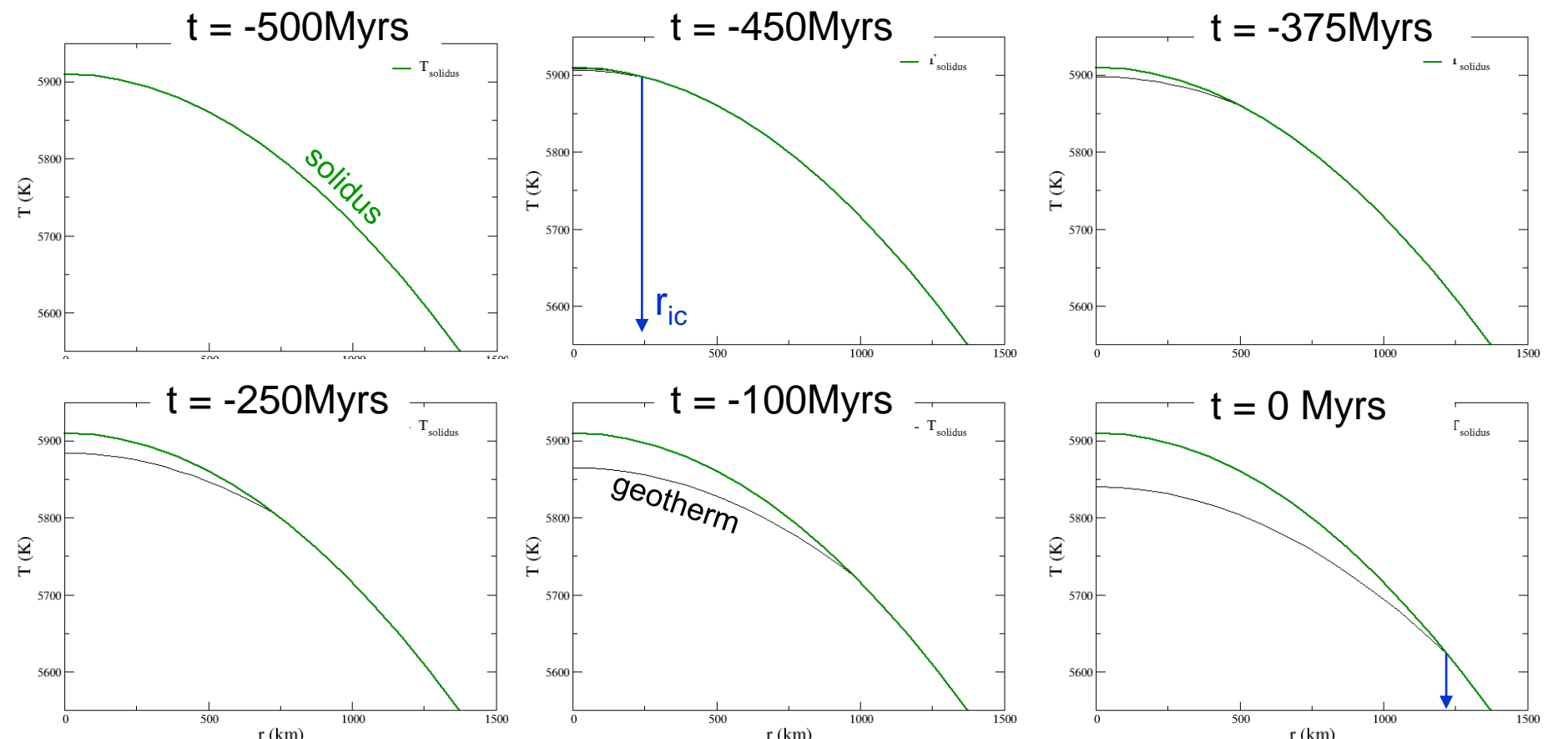
Evolution thermique de la graine



Evolution thermique de la graine

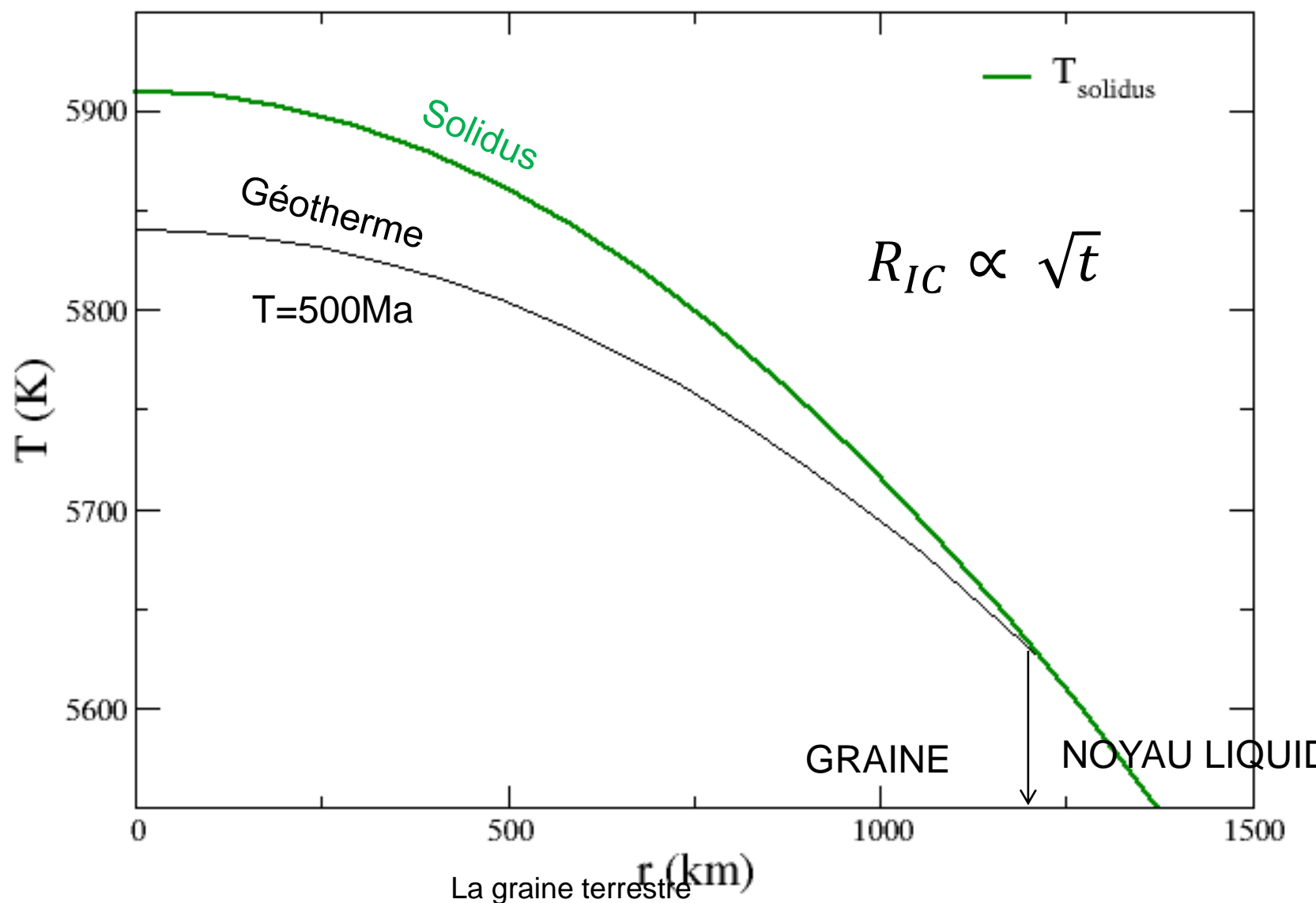


Et la graine crut...



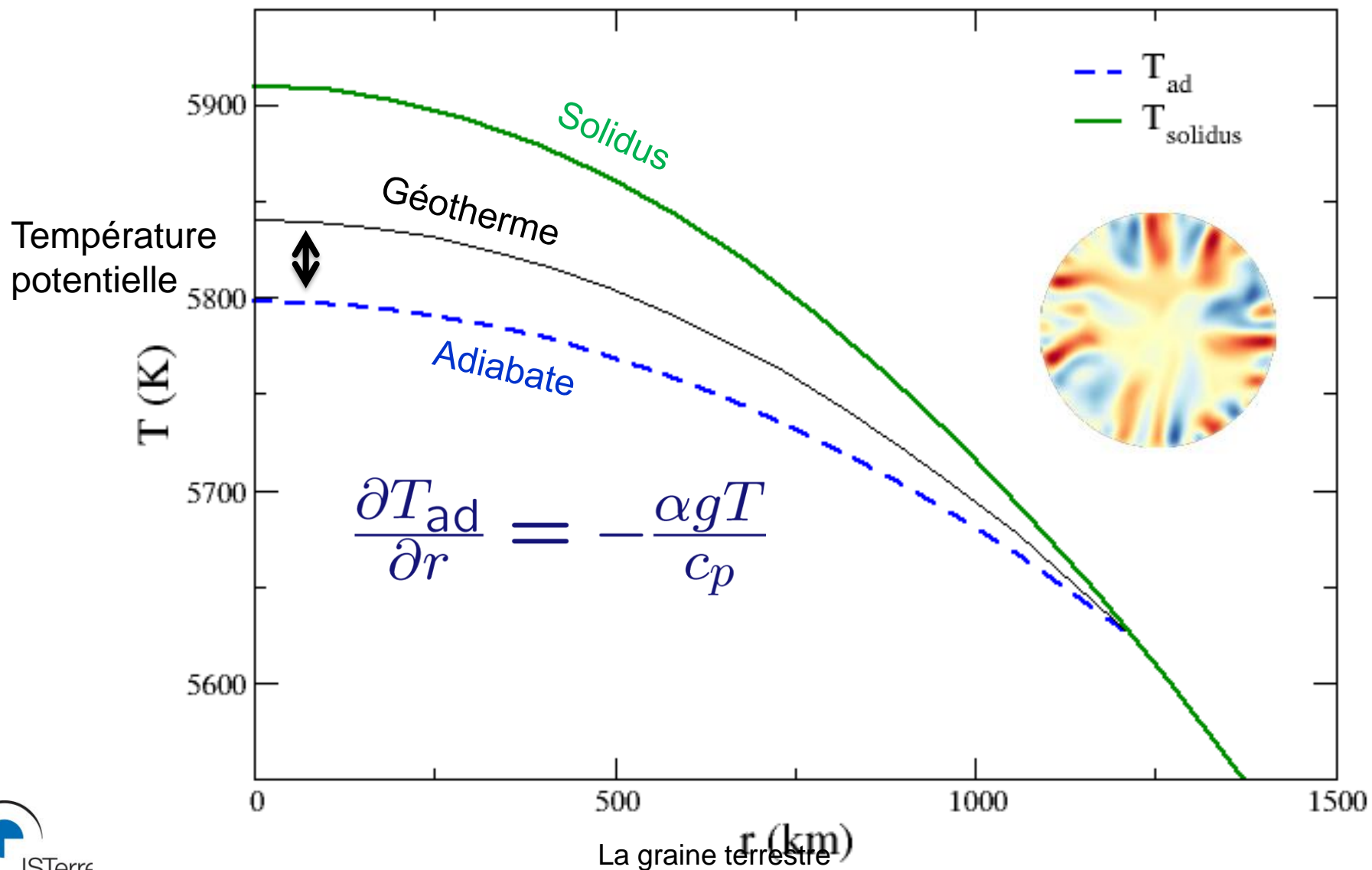
$$r_{ic} = 1220 \text{ km}$$

$$\tau_{ic} = 0.5 \text{ Gy}$$

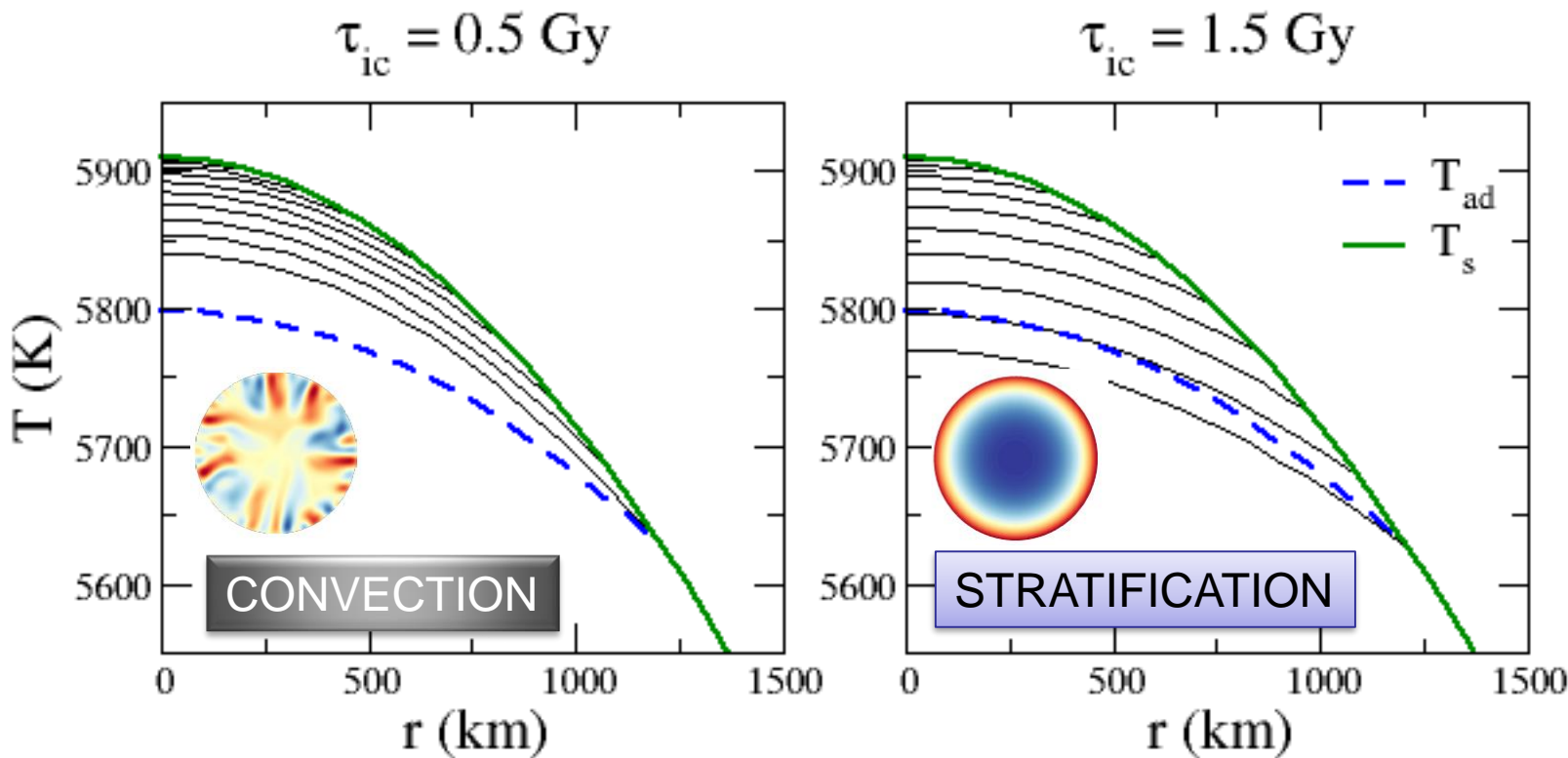


Équilibre thermodynamique

$$\tau_{ic} = 0.5 \text{ Gy}$$



L'âge de la graine



Le refroidissement de la graine contrôle son état dynamique

Flux de chaleur à la CMB

Conductivité thermique du Fer

Conductivité thermique du Fer

Fer liquide			
Référence	Éléments légers	CMB	ICB
Stacey & Anderson (2001)	Si	46	63
Stacey & Loper (2007)	Ø	28.3	29.3
de Koker <i>et al.</i> (2012) (Fig. 3)	Ø	~130	~210
	Si ou O	90-130	140-190
Pozzo <i>et al.</i> (2013)	Ø	159	246
	Fe ₈₂ Si ₁₀ O ₈	107	160
	Fe ₇₉ Si ₈ O ₁₃	99	148
Gomi <i>et al.</i> (2013)	Fe _{77.5} Si _{22.5}	90.1	148
	Fe ₇₀ C ₃₀	84.2	136
	Fe _{76.8} O _{23.2}	125	212
	Fe _{80.6} S _{19.4}	130	220
Seagle <i>et al.</i> (2013)	Ø	67-145	
	Si (9% en masse)	41-60	
Gomi & Hirose (2015)	Fe _{67.5} Ni ₁₀ Si _{22.5}	83.3-93.0	
Gomi <i>et al.</i> (2016)	Fe ₆₅ Ni ₁₀ Si ₂₅	87.1	
Konôpková <i>et al.</i> (2016)	Ø	33±7	46±9
	Présents	25±7	35±10
Ohta <i>et al.</i> (2016)	Fe _{67.5} Ni ₁₀ Si _{22.5}	88 ⁺²⁹ ₋₁₃	
Xu <i>et al.</i> (2018)	Présents	77±10	
Zhang <i>et al.</i> (2020)	~8% en masse et ~5% Ni	70±10	
Fer solide			
Référence	Éléments légers	graine	
Stacey & Anderson (2001)	Si	79	
Gomi & Hirose (2015)	Fe ₇₉ Ni ₁₀ Si ₁₁	166.9-183.4	
Konôpková <i>et al.</i> (2016)	Ø	46±9	
	Présents	35±10	
Xu <i>et al.</i> (2018)	Ø	147	

TABLE 3.2 – Estimations de la conductivité du fer en $\text{W} \cdot \text{m}^{-1} \cdot \text{K}^{-1}$ dans les conditions du noyau, les études expérimentales sont grisées, elles donnent une estimation de la conductivité thermique par extrapolation des résultats expérimentaux.

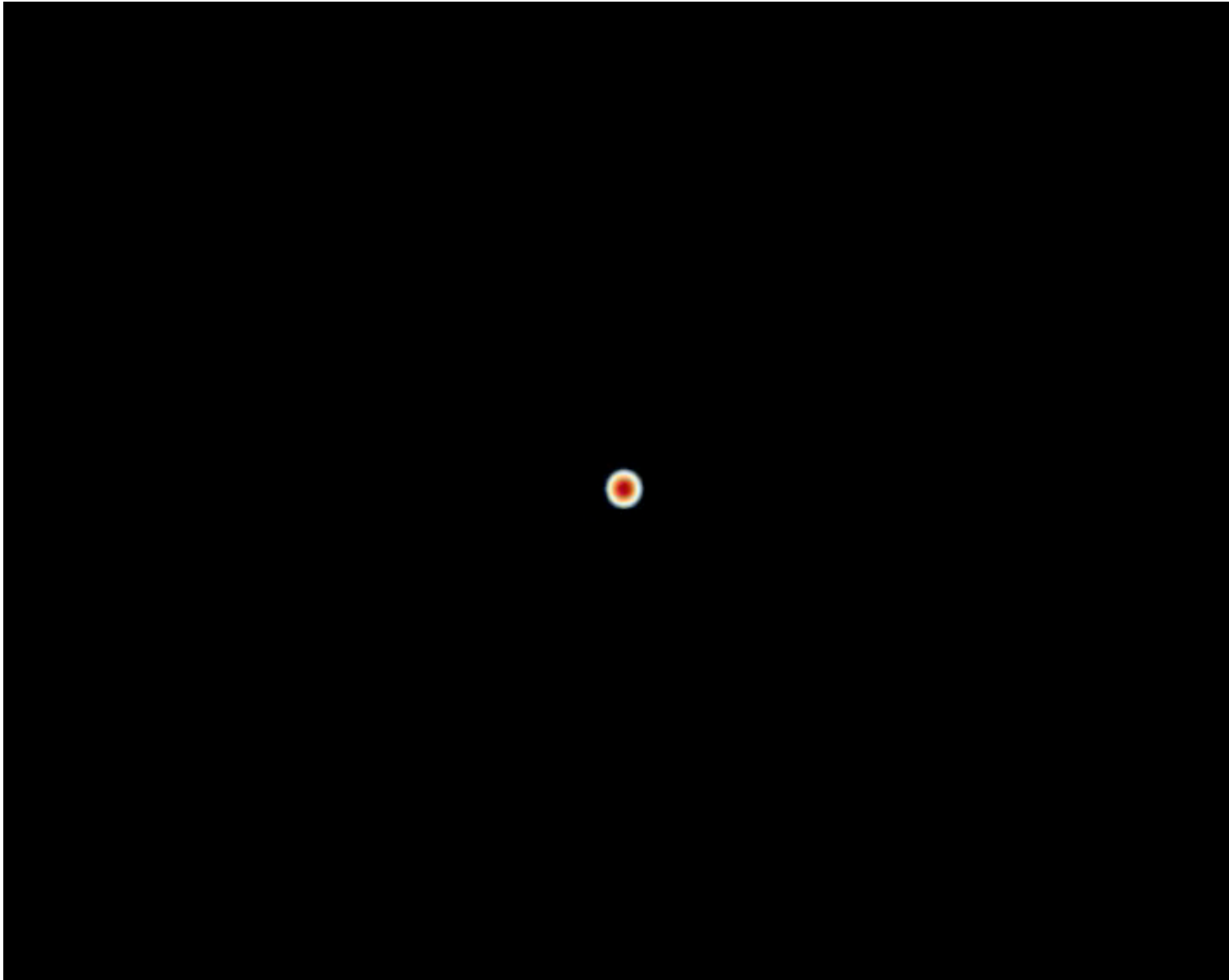
Métayer, 2022)

La graine terrestre

Plan

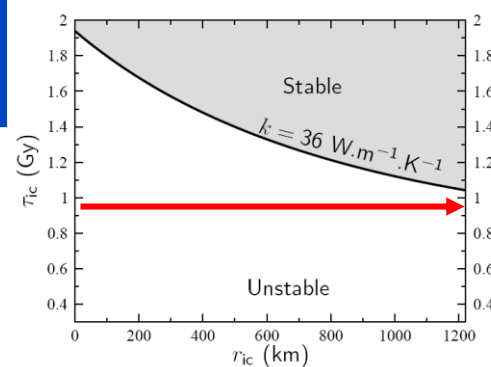
1. Sismologie de la graine
2. Une graine en Fer ?
3. Formation de la graine
4. Dynamique de la graine
5. L'anisotropie de la graine

Convection thermique dans la graine



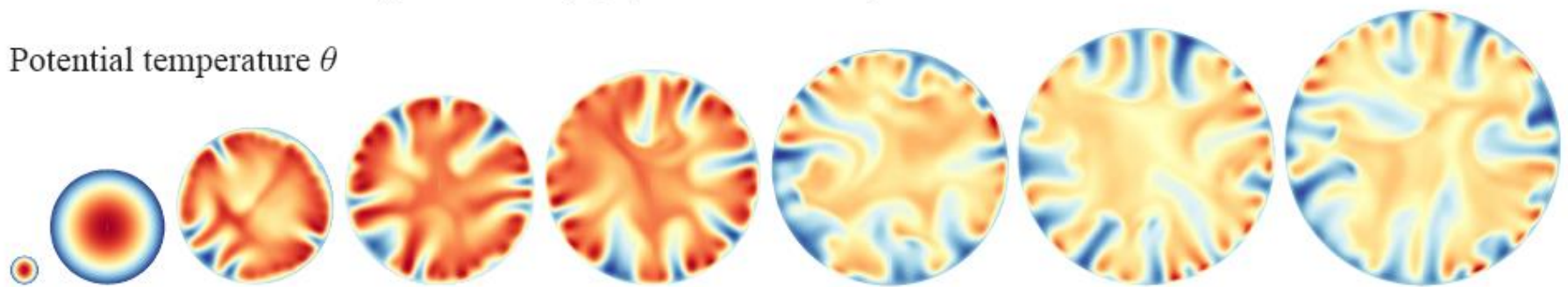
La graine terrestre

Convection thermique

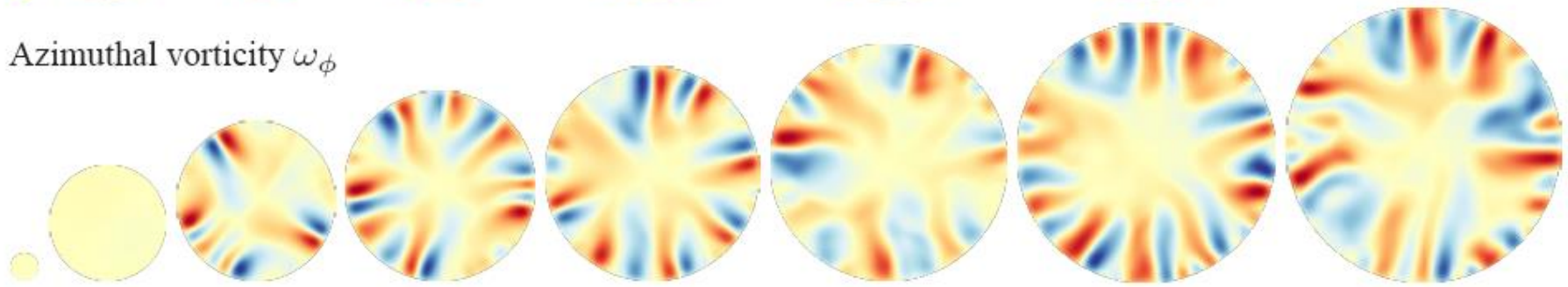


a. $\tau_{ic} = 0.9 \text{ Gy}$, $\eta = 10^{18} \text{ Pa.s}$, $k = 36 \text{ W.m}^{-1}.\text{K}^{-1}$.

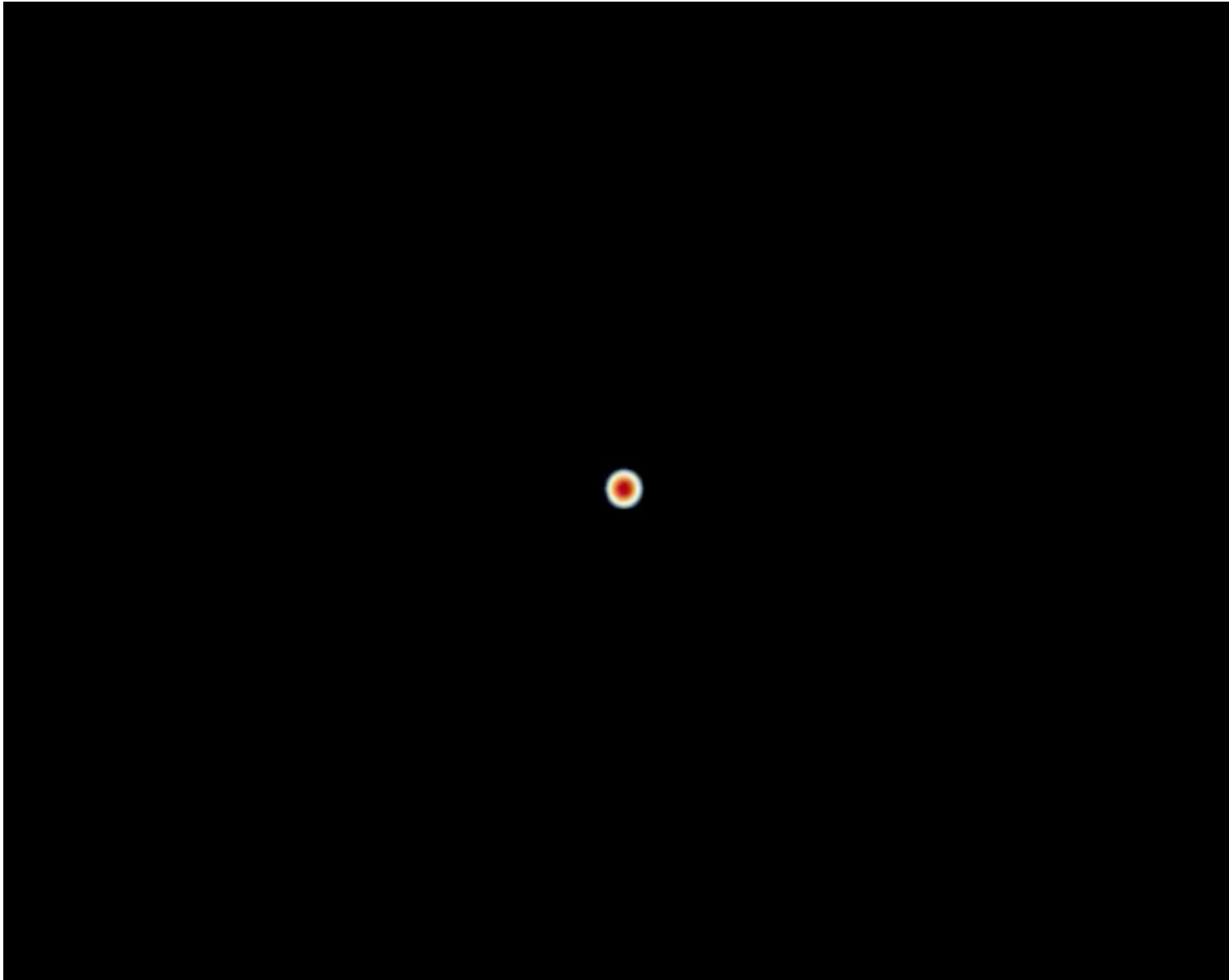
Potential temperature θ



Azimuthal vorticity ω_ϕ

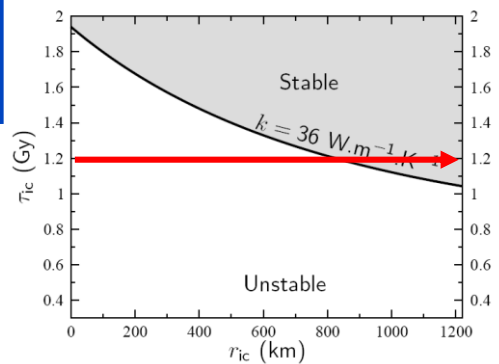


Convection thermique dans la graine



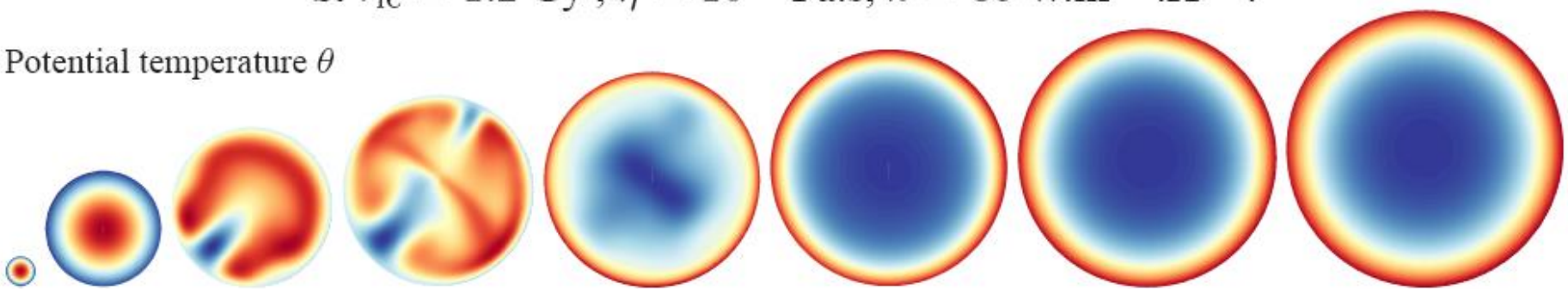
La graine terrestre

Une fenêtre convective

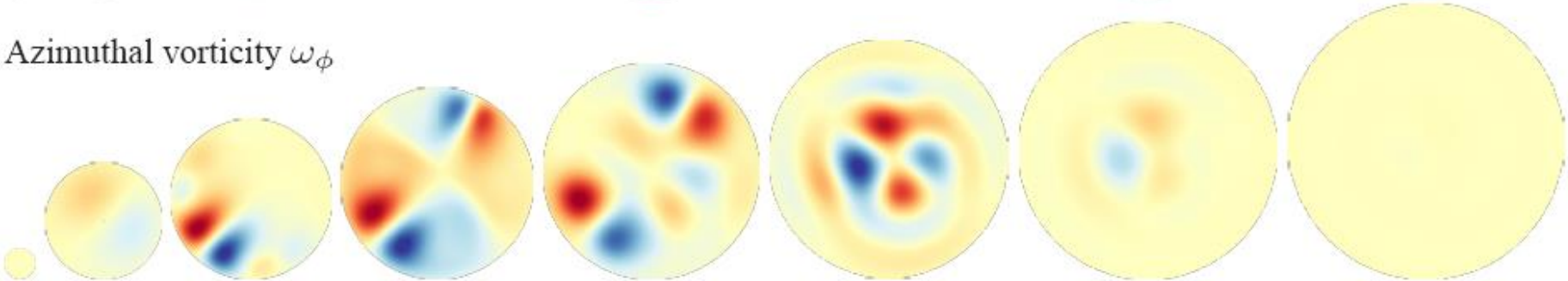


b. $\tau_{ic} = 1.2$ Gy , $\eta = 10^{18}$ Pa.s, $k = 36$ W.m $^{-1}$.K $^{-1}$.

Potential temperature θ



Azimuthal vorticity ω_ϕ



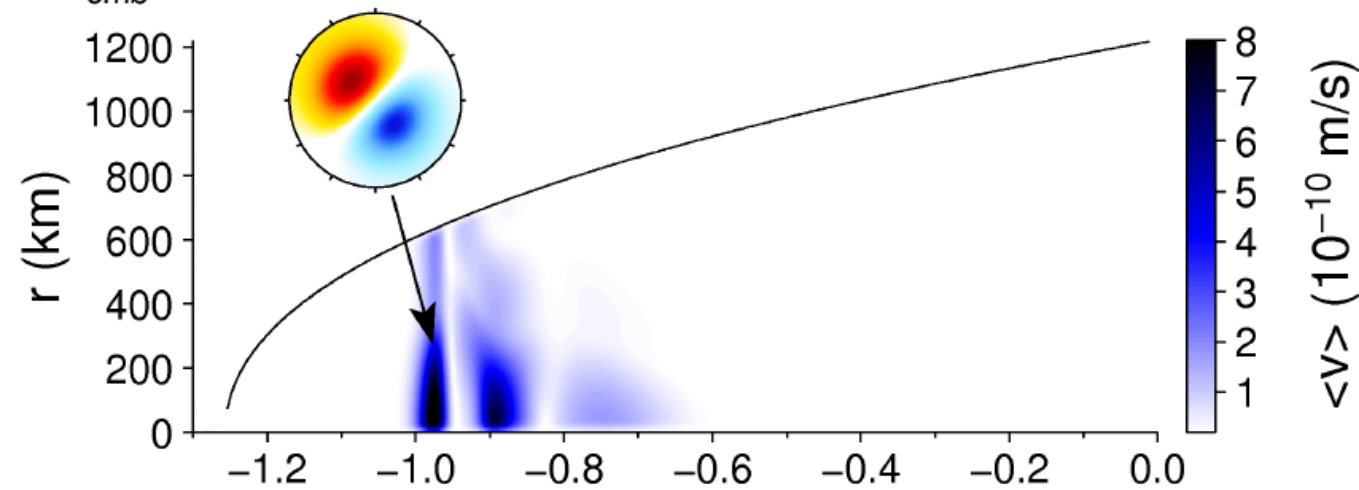
Épisode convectif dans la graine



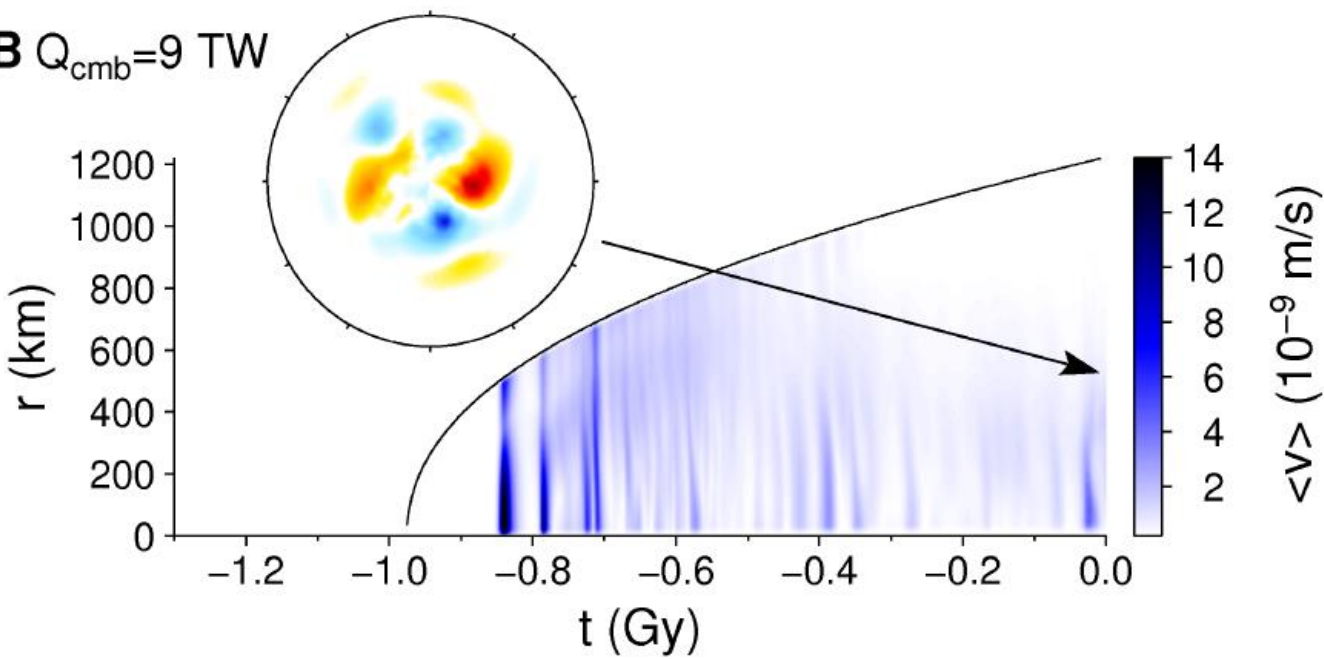
La graine terrestre

Un pépin dans la graine!

A $Q_{\text{cmb}}=7 \text{ TW}$

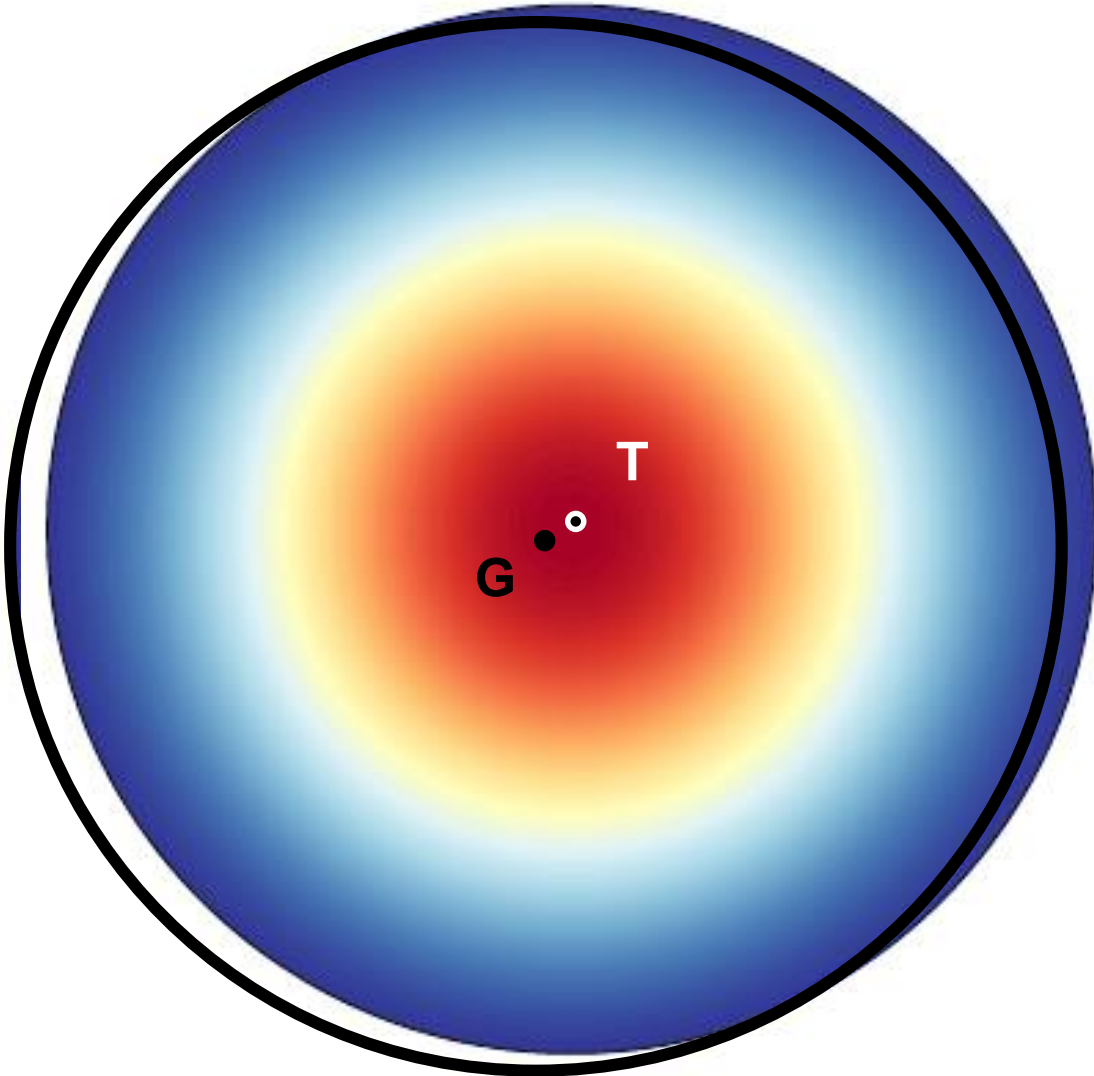


B $Q_{\text{cmb}}=9 \text{ TW}$



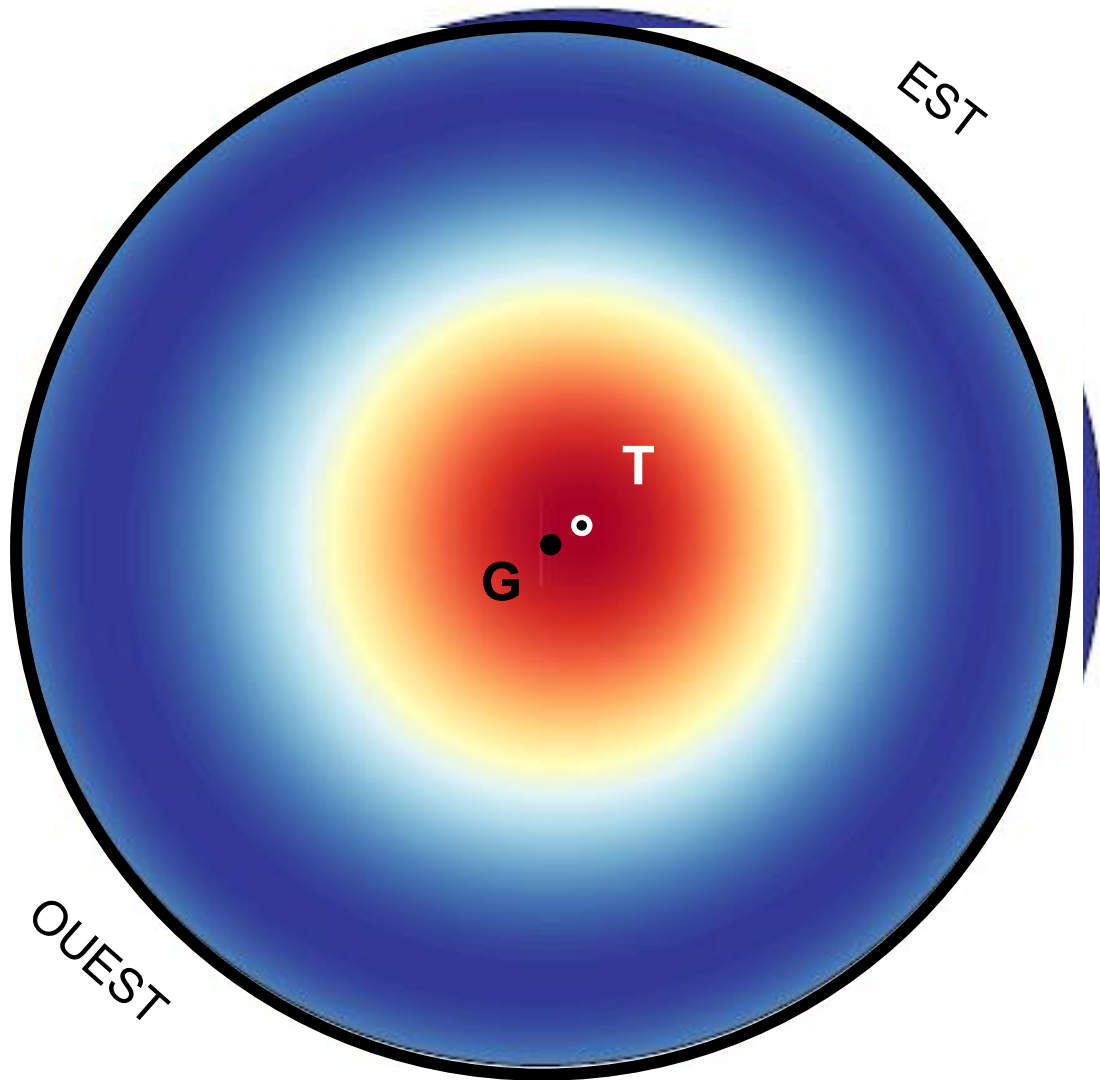
Un mode convectif particulier

1. Soit une graine rigide ou très visqueuse thermiquement neutre ou sous critique
2. Frontière = solidus (P)
3. Translatez là alors $G \leftrightarrow T$



Un mode convectif particulier

1. Soit une graine rigide ou très visqueuse thermiquement neutre ou sous critique
2. Frontière = solidus (P)
3. Translatez là alors $G \leftrightarrow T$
4. Fondez et cristallisez selon le solidus - rapide
5. Force d'Archimède entretient la translation
6. Variabilité hémisphérique de l'anisotropie



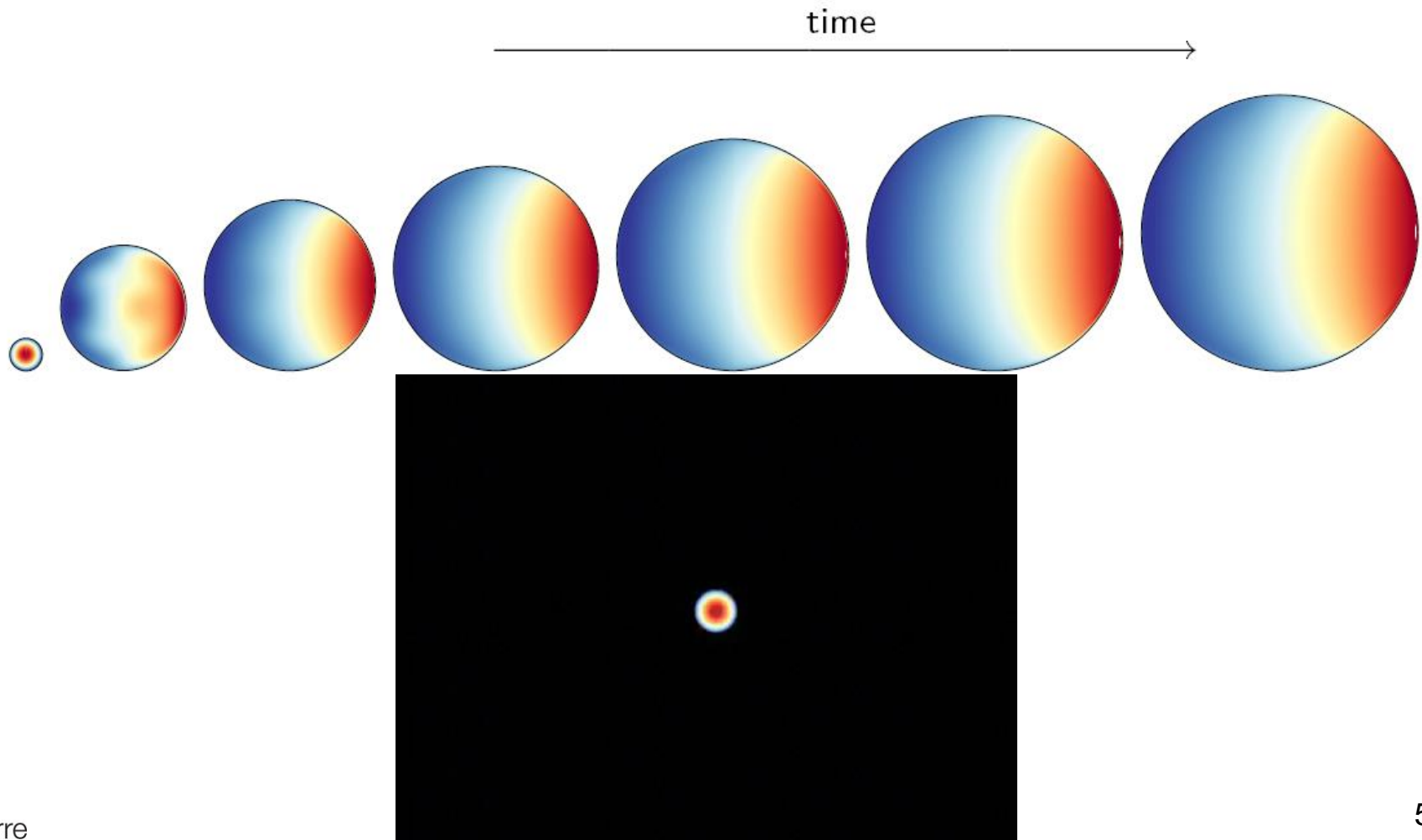
Alboussière et al, Nature, 2010

Monnereau et al, Science, 2010

translation

$\tau_{\text{ic}} = 0.9 \text{ Gy}$, $k = 36 \text{ W.m}^{-1}.\text{K}^{-1}$, potential temperature :

- ▶ $\eta = 10^{19} \text{ Pa.s}$, translation regime :



Convection et translation

Pour des viscosités modérées

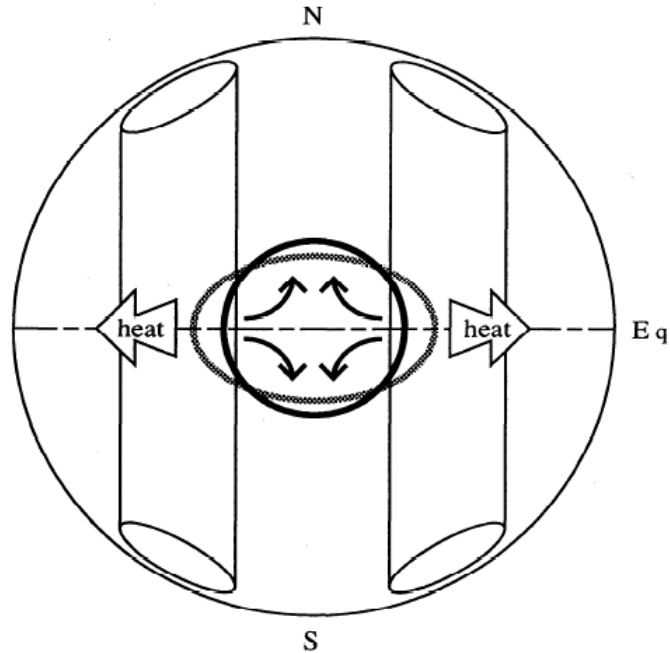
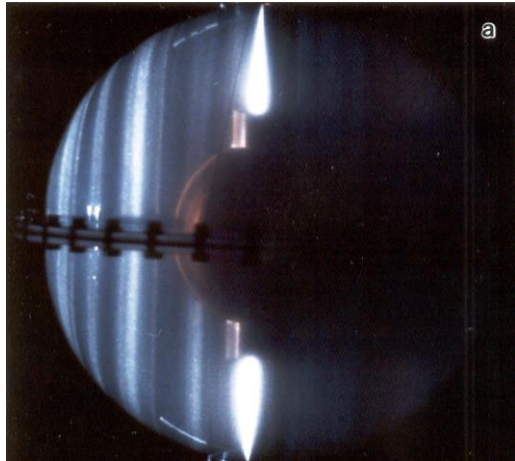


La graine terrestre

Plan

1. Sismologie de la graine
2. Une graine en Fer ?
3. Formation de la graine
4. Dynamique de la graine
5. L'anisotropie de la graine

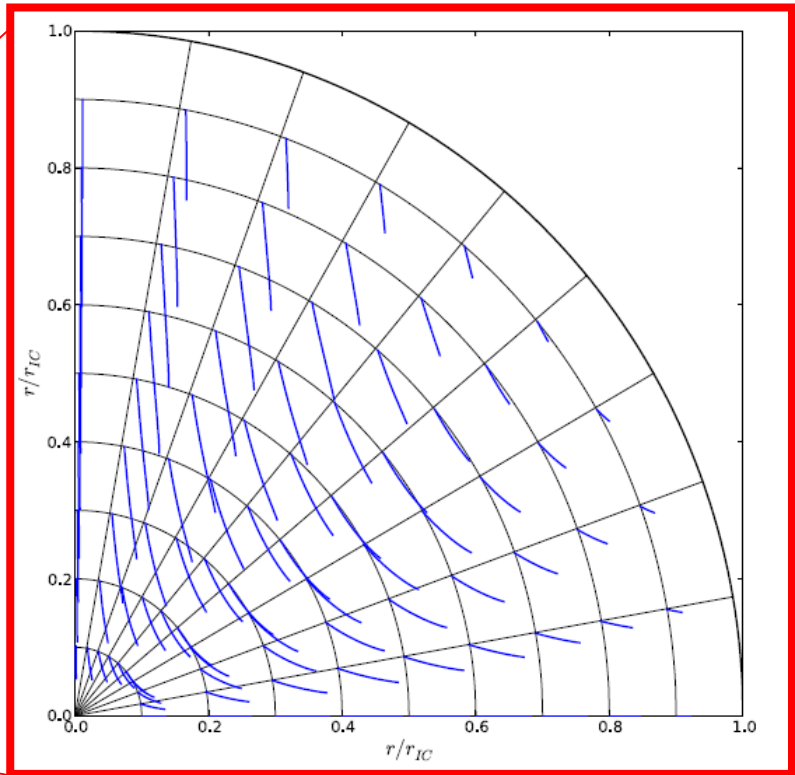
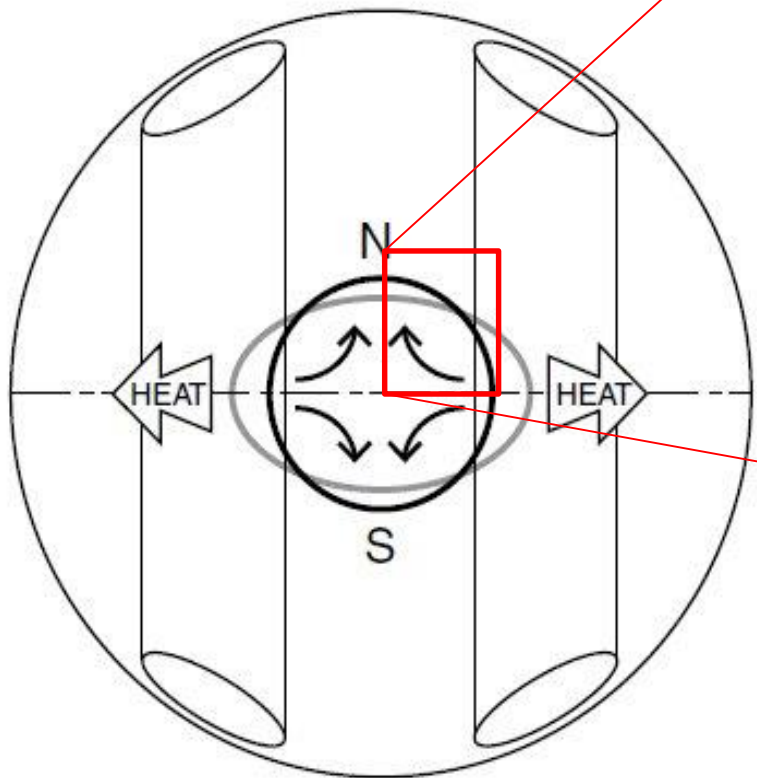
Croissance équatoriale préférentielle



Yoshida et al, 1996

La graine croitrait deux fois plus vite dans sa zone équatoriale que dans
sa zone polaire
Relaxation visqueuse quadripolaire

Equatorial preferential growth



Trajectories of solid particles
(1/4 of a meridional plan)

Yoshida et al. [1996]

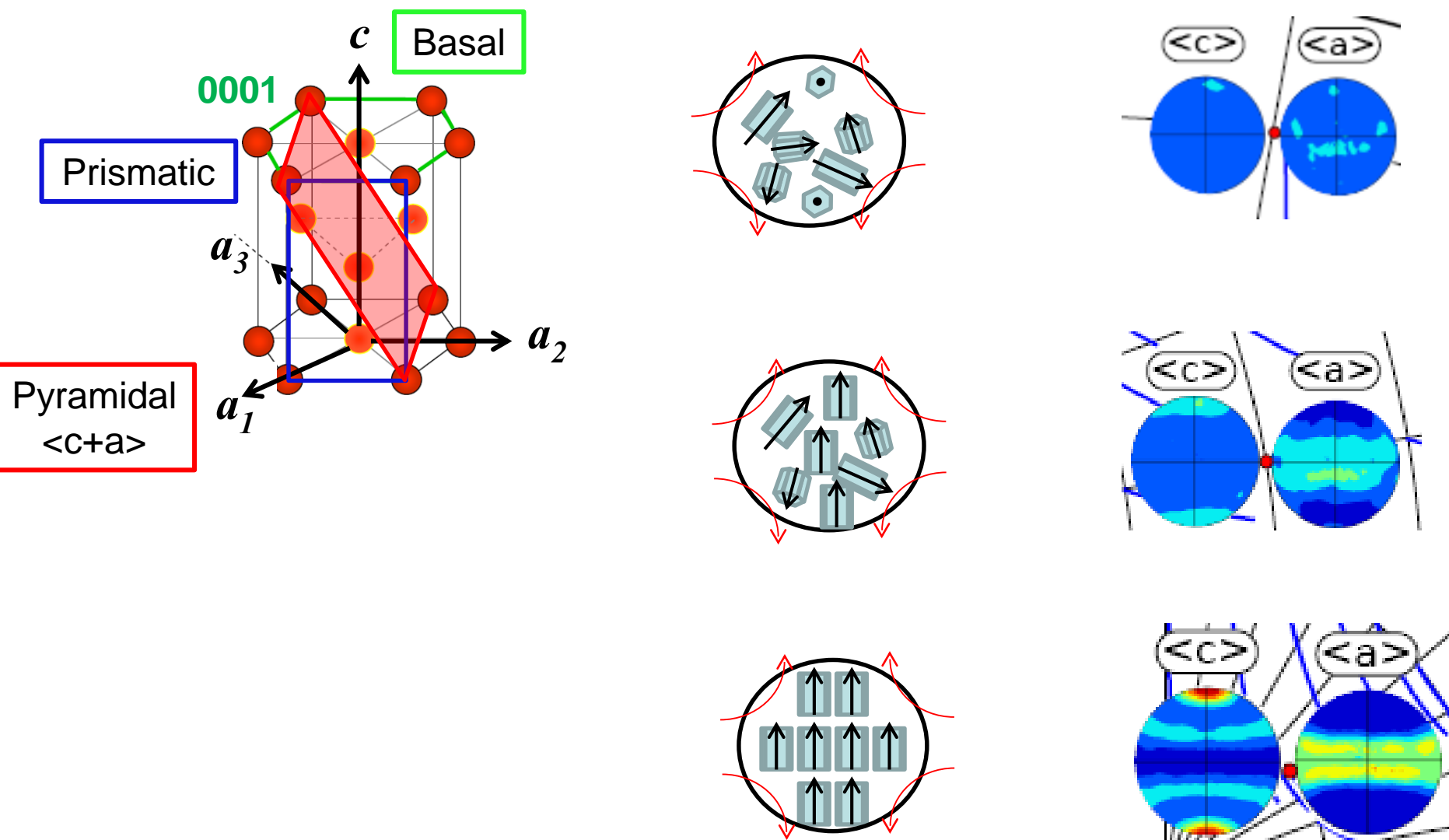
Anisotropie de texture

Déformation plastique
ou recristallisation



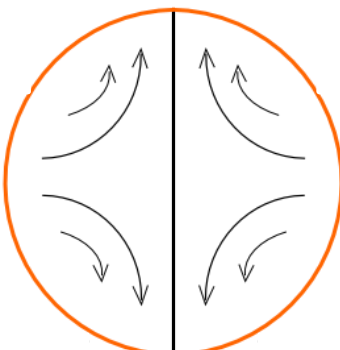
La graine terrestre

Visco Plastic Self Consistent model



Direct model of an elastic inner core

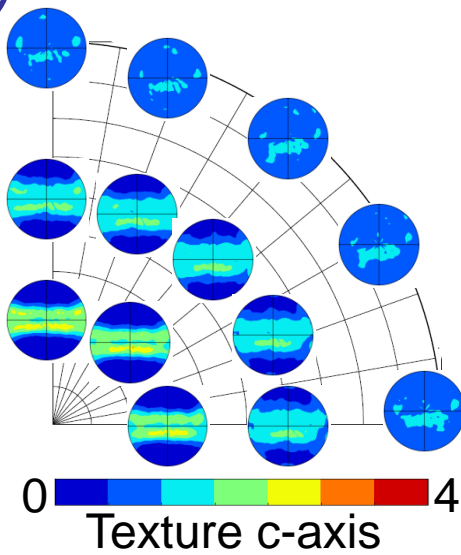
Geodynamical
model
+
Crystalline
model (basal)



Yoshida et al [1996]

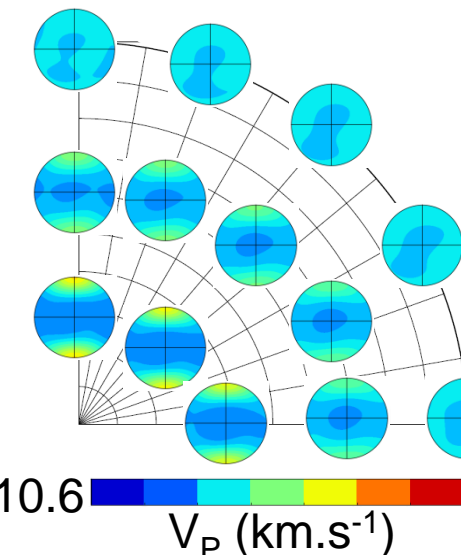
Merkel et al [2006]

Textured IC
VPSC



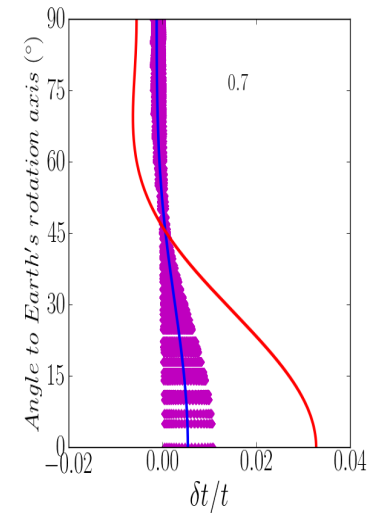
Lebenshon et al [1993]

Elastic IC



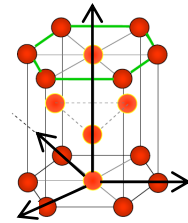
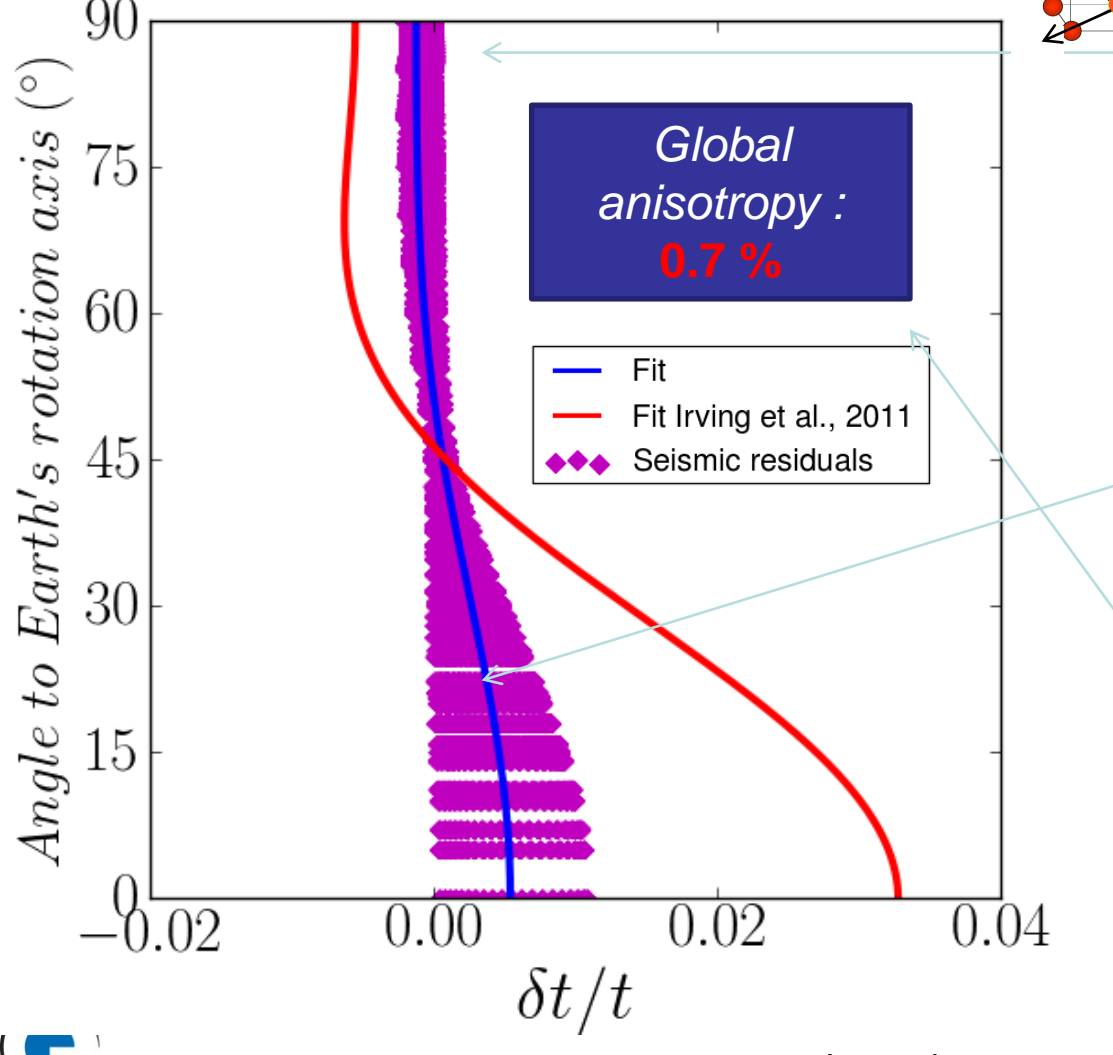
Vocadlo et al [2009]

Seismic
response?



Lincot et al [2014]

Global anisotropy for hcp Fe



Seismic residuals

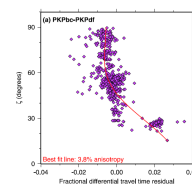
$$\frac{\delta t}{t} = \frac{s_{ray} - s_0}{s_0}$$

Where s_0 = average slowness in IC

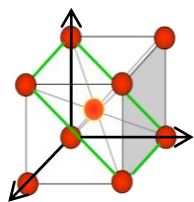
Fitting residuals (hyp : homogeneous IC)

$$\frac{\delta t}{t} = a + b \cos^2 \zeta + c \cos^4 \zeta$$

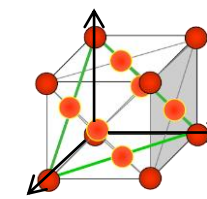
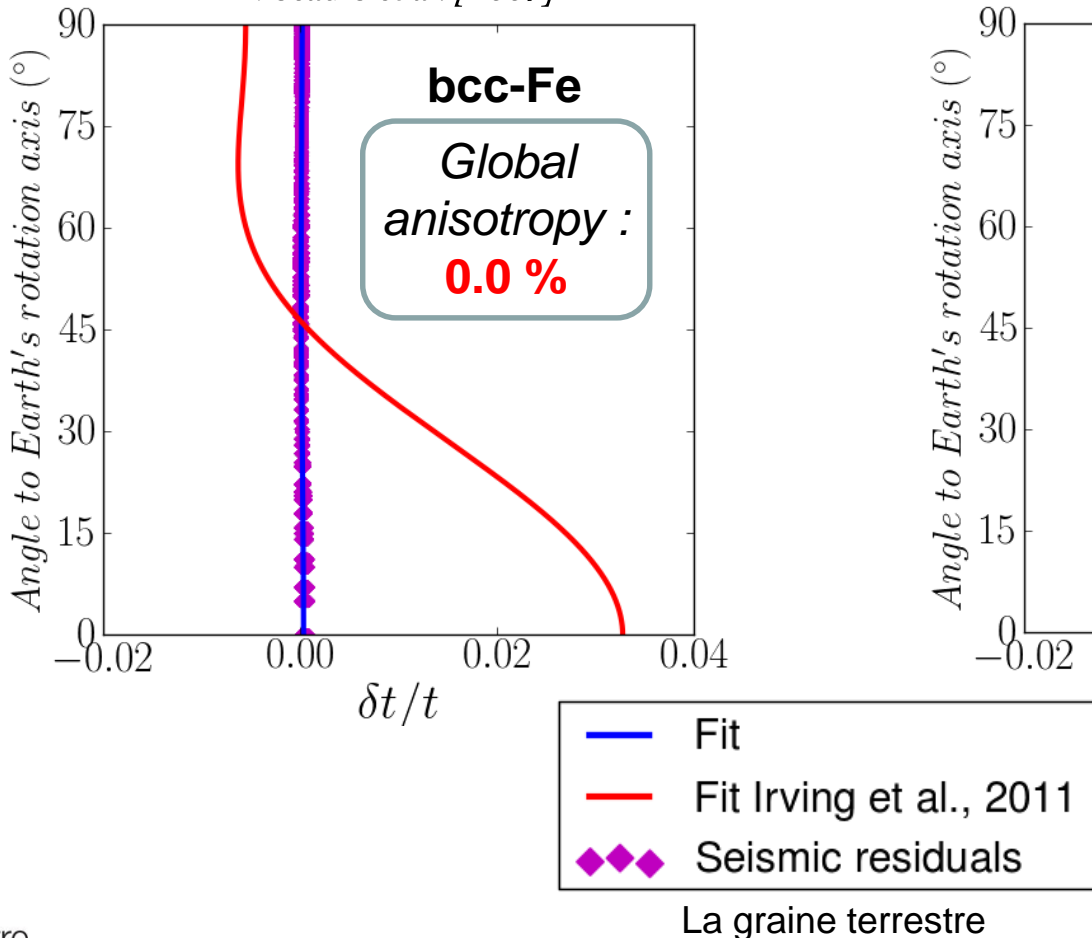
Estimate of
N-S anisotropy
($b + c$)
→ global
anisotropy



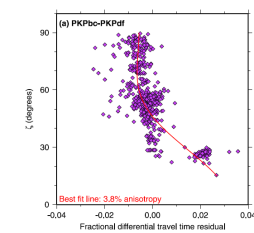
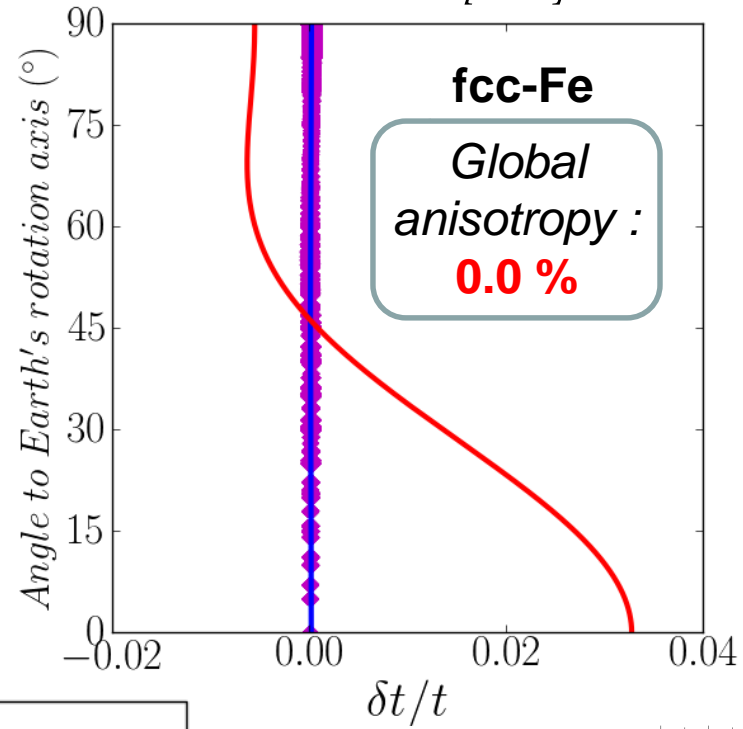
Seismic response to an IC made of cubic Fe



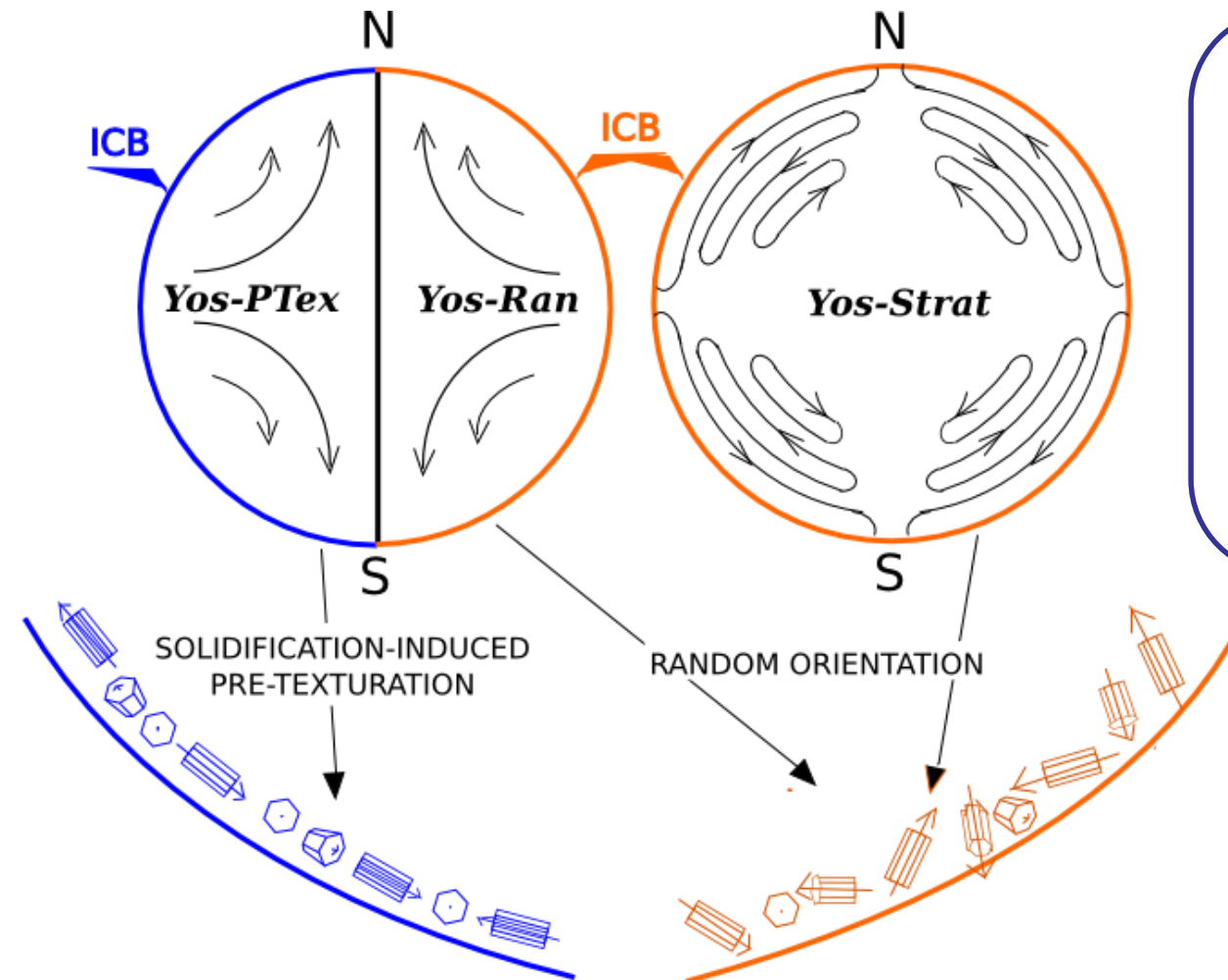
Vocablo et al. [2007]



Vocablo et al. [2008]



How to increase the texturing ?



Orientation of hcp crystals from crystallisation

Other geodynamical processes tested :

- Solidification texture CPO for Fe (developing extra texturing at ICB)
- Stratification (up to 300% deformation)

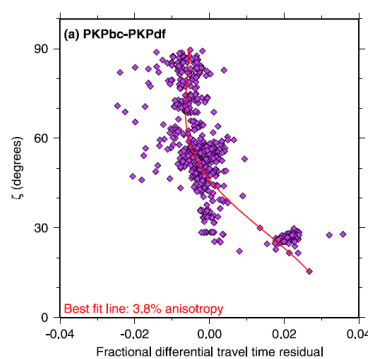
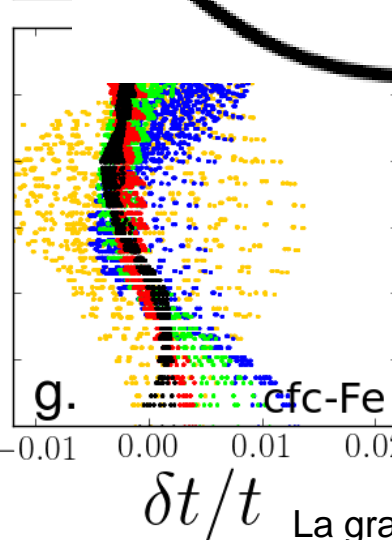
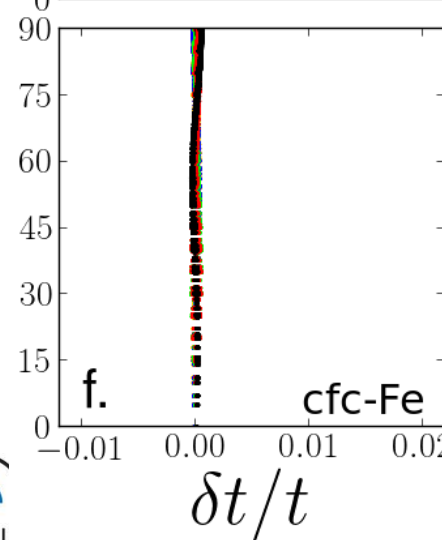
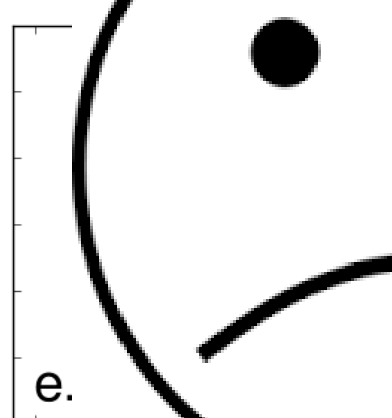
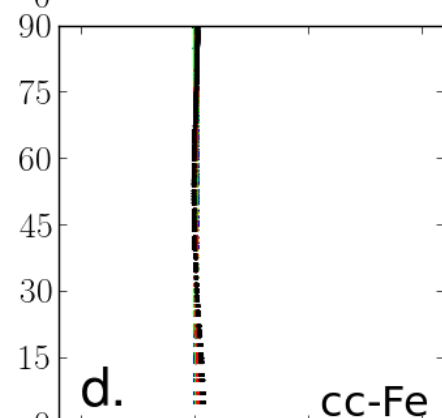
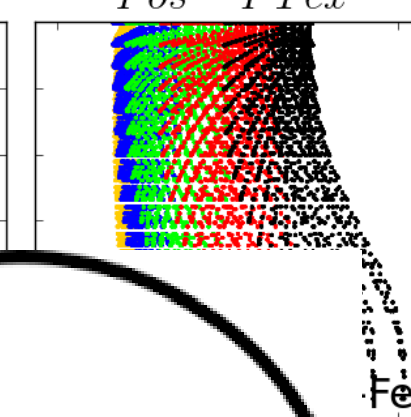
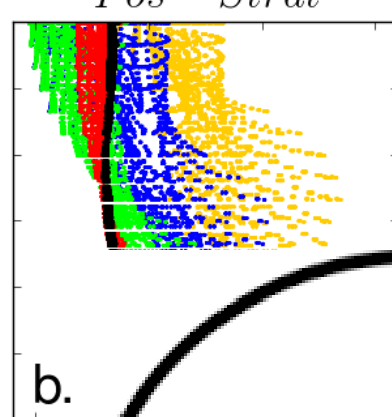
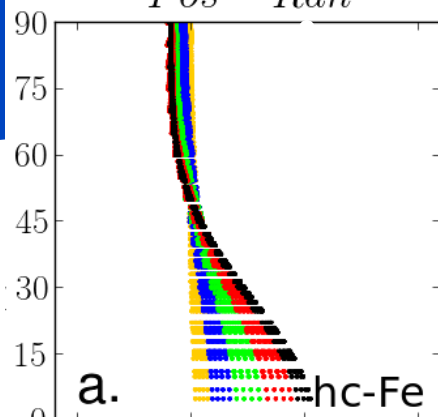
Deguen et al. [2009]

Angle to Earth's rotation axis (°)

Yos - Ran

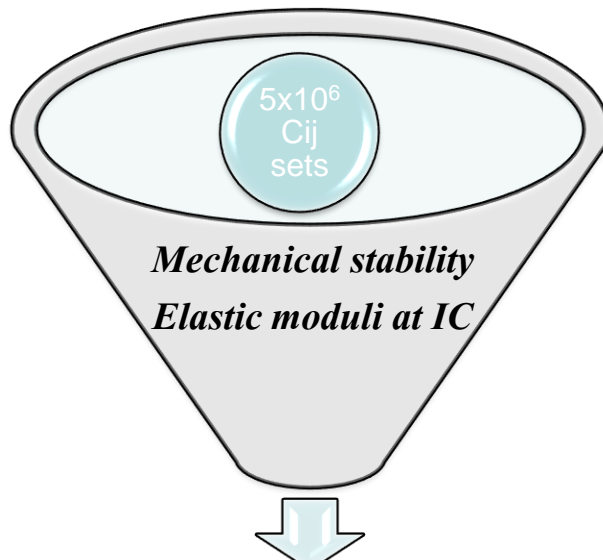
Yos - Strat

Yos - PTex



Random draw of Cij values (Monte Carlo)

- No «a priori» on elasticity



Note : global anisotropy depends on shape of single crystal anisotropy, not on individual Cij values.

Mechanical stability

hcp	$C_{11} - C_{12} > 0$
	$C_{11} + C_{12} + C_{33} > 0$
	$(C_{11} + C_{12})C_{33} - 2C_{13}^2 > 0$
	$C_{44} > 0$

bcc	$C_{11} - C_{12} > 0$
	$C_{11} + 2C_{12} > 0$
	$C_{44} > 0$

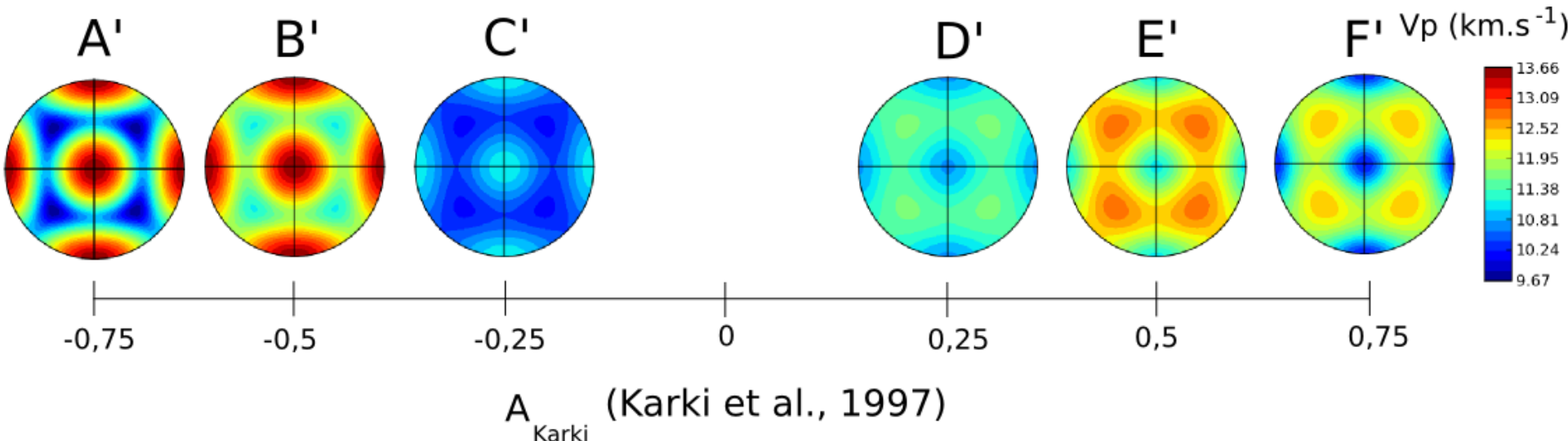
Elastic moduli at IC conditions

$K = 1384.4 \text{ GPa} \pm 15\%$
$G = 166.4 \text{ GPa} \pm 15\%$

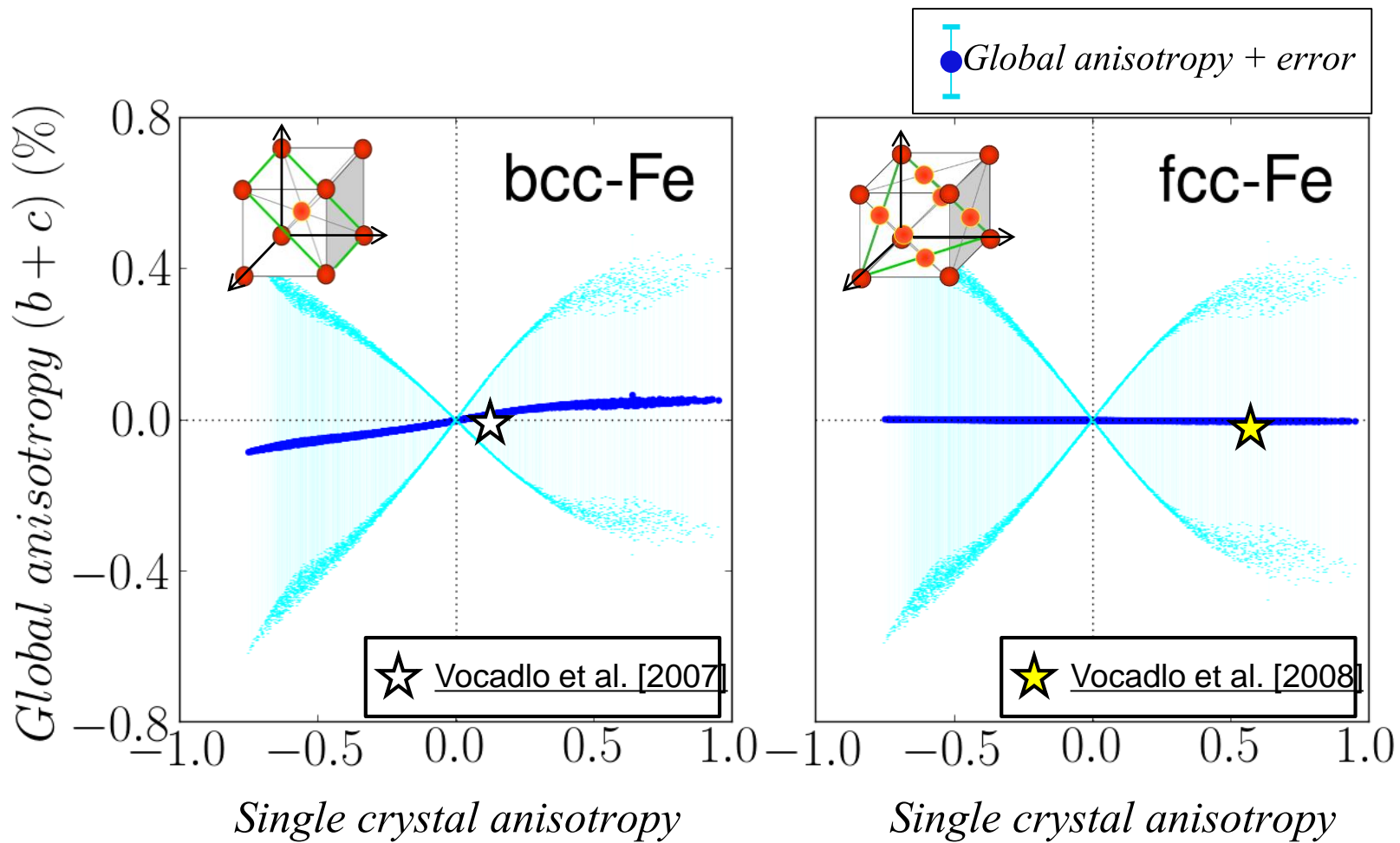
K dimensionless parameter of critallographic anisotropy

The Karki parameter

$$K = \frac{2C_{44} + C_{12}}{C_{11}} - 1$$



Global anisotropy for a cubic-Fe inner core

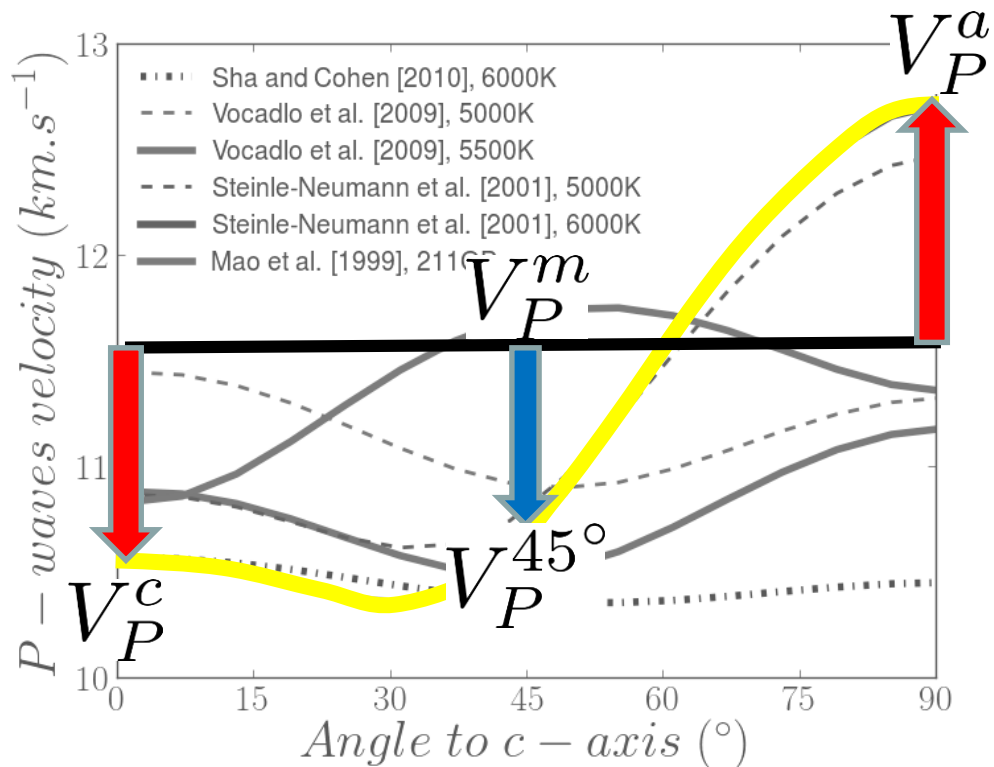


Global anisotropy is below 0.1%

Dimensionless numbers of anisotropy

Contrast V_P c-a

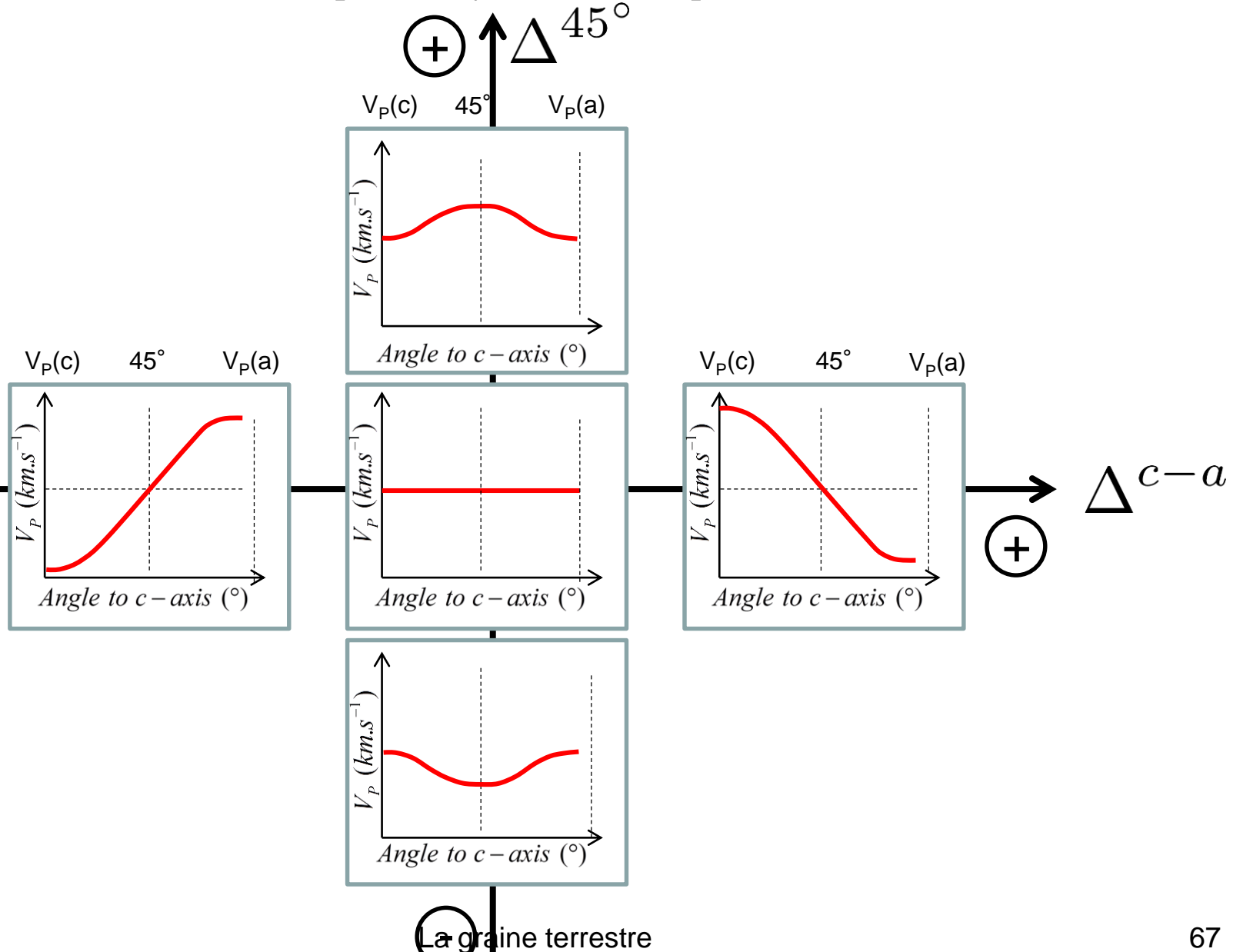
$$\Delta^{c-a} = \frac{V_P^c - V_P^a}{V_P^m}$$



$$\Delta^{45^\circ} = \frac{V_P^{45^\circ} - (V_P^c + V_P^a)/2}{V_P^m}$$

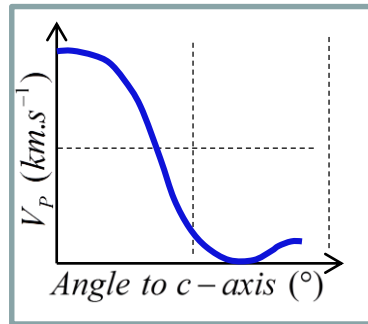
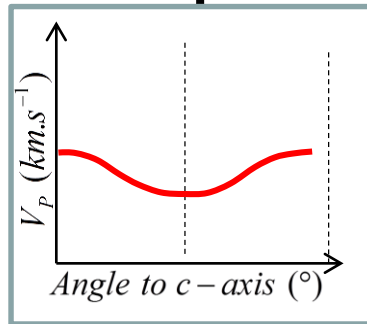
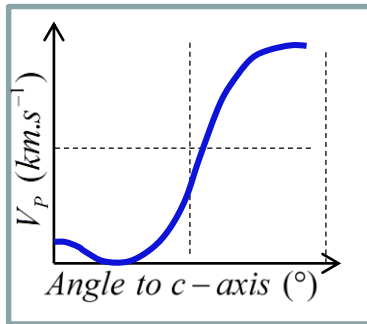
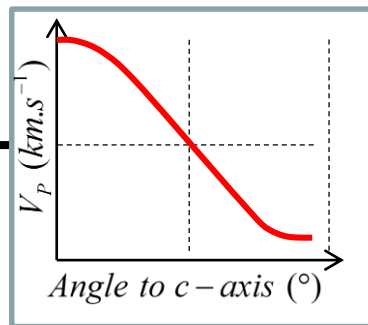
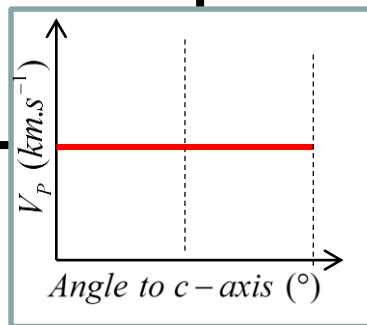
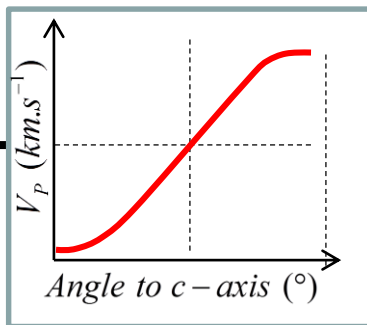
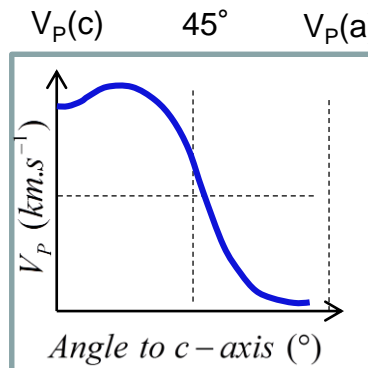
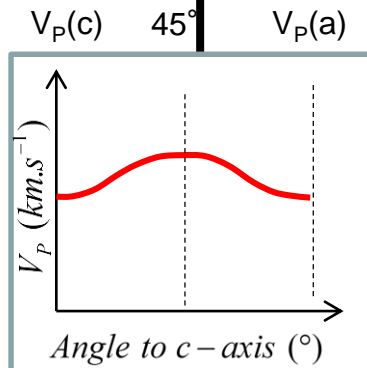
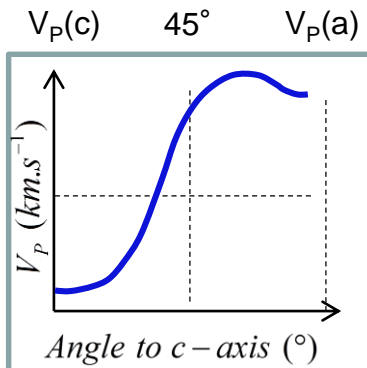
Amplitude of bell-like shape

Amplitude of bell-like shape



Amplitude of bell-like shape

\oplus Δ^{45°

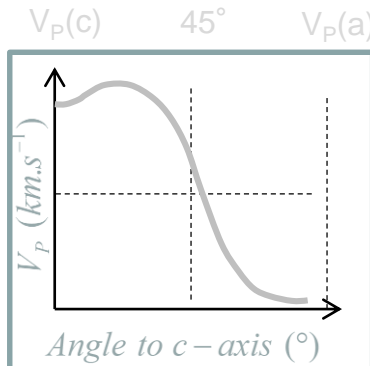
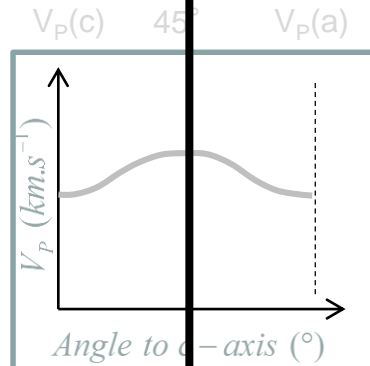
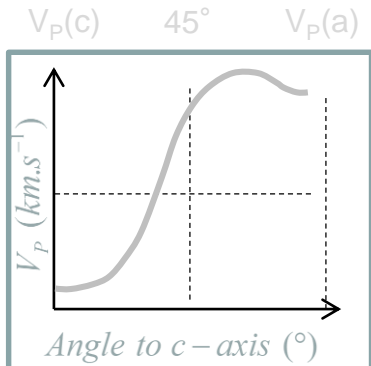


\ominus

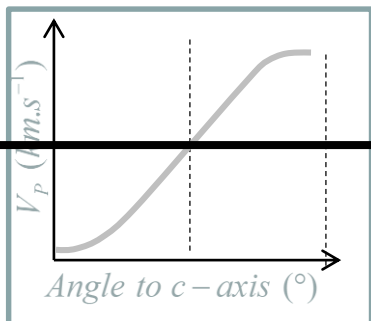
Δ^{c-a}

Amplitude of bell-like shape

Δ^{45°



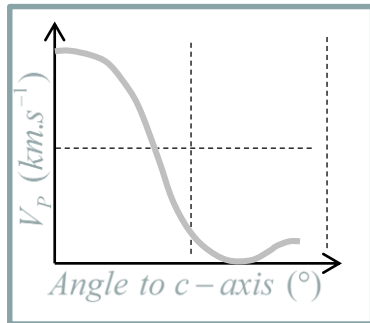
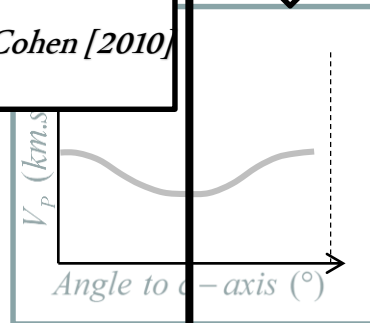
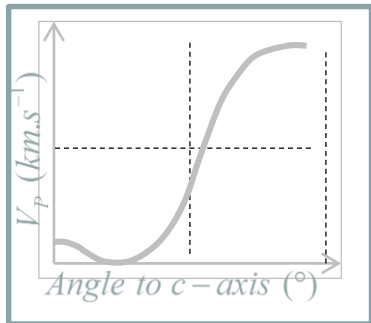
-



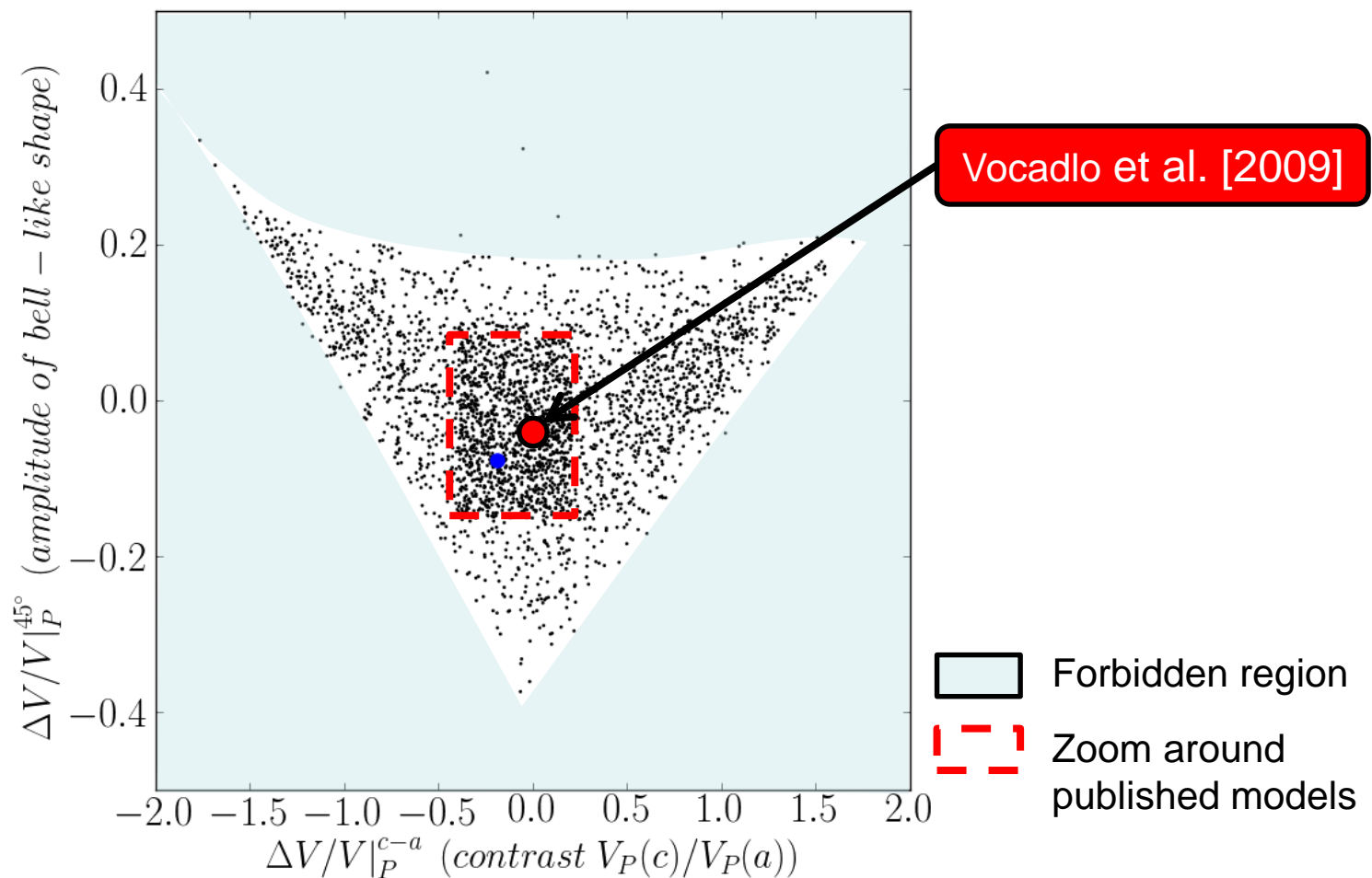
*Vocadlo et al.
[2009]*

*Sha et
Cohen [2010]*

+

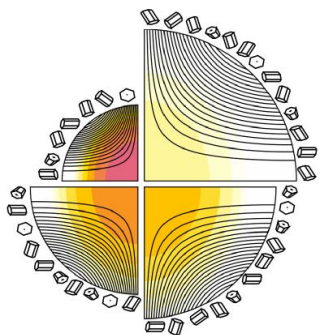


Δ^{c-a}



Monte Carlo Results

Equatorial growth



Pyramidal
 $\langle c+a \rangle$
slip

Vocadlo et al.
[2009]

Sha et
Cohen [2010]

Δ^{45°

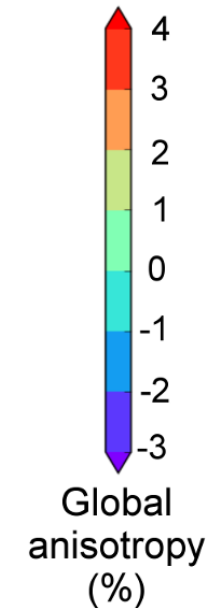
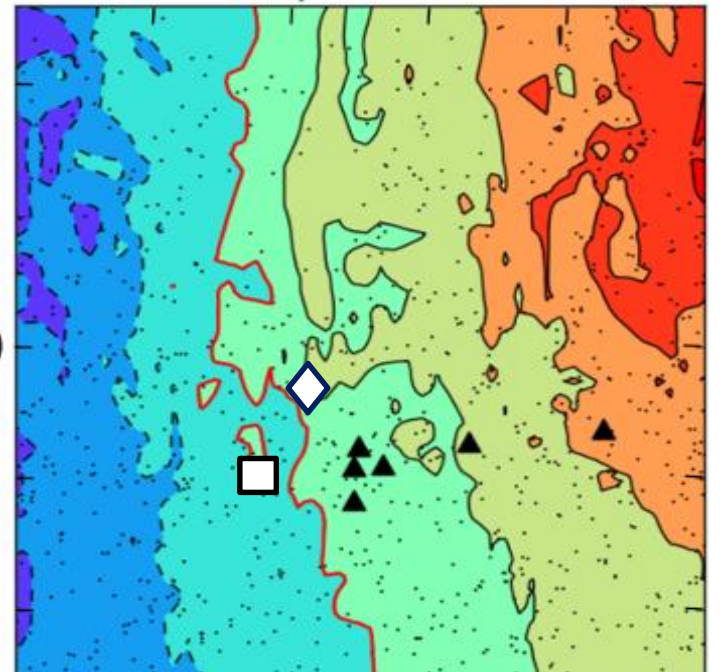
0.1

0.0

-0.1

-0.2 -0.1

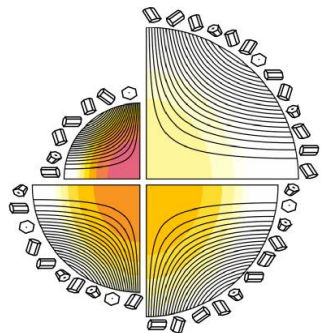
Δ^{c-a}



Martorell et al [2013]

La graine terrestre

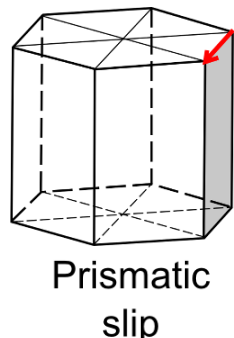
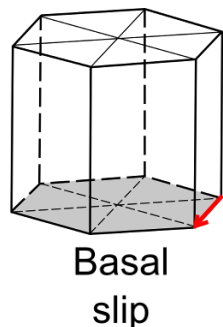
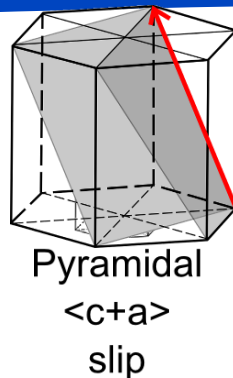
Influence of the slip system



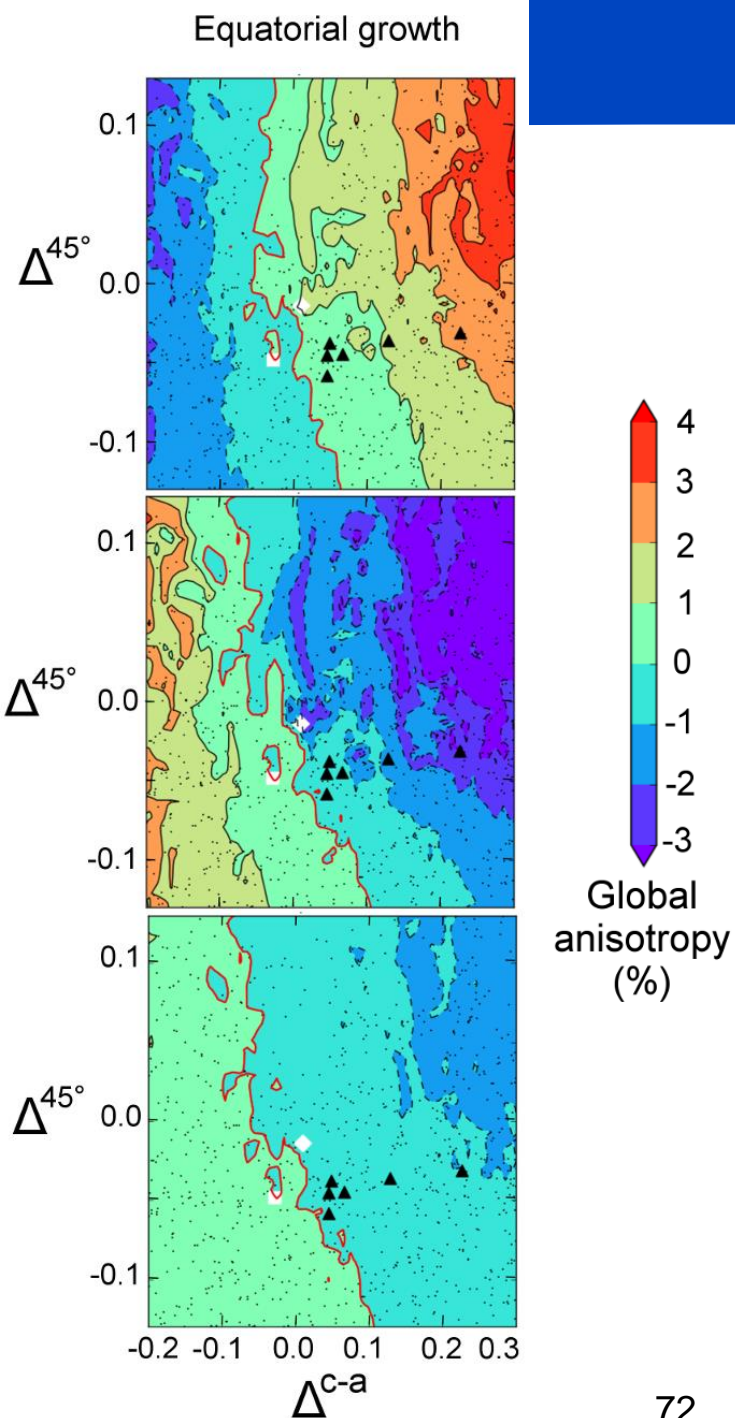
Pyramidal slip system
is prone to align c axis
along the NS axis.

It requires fast
velocities along c-axes

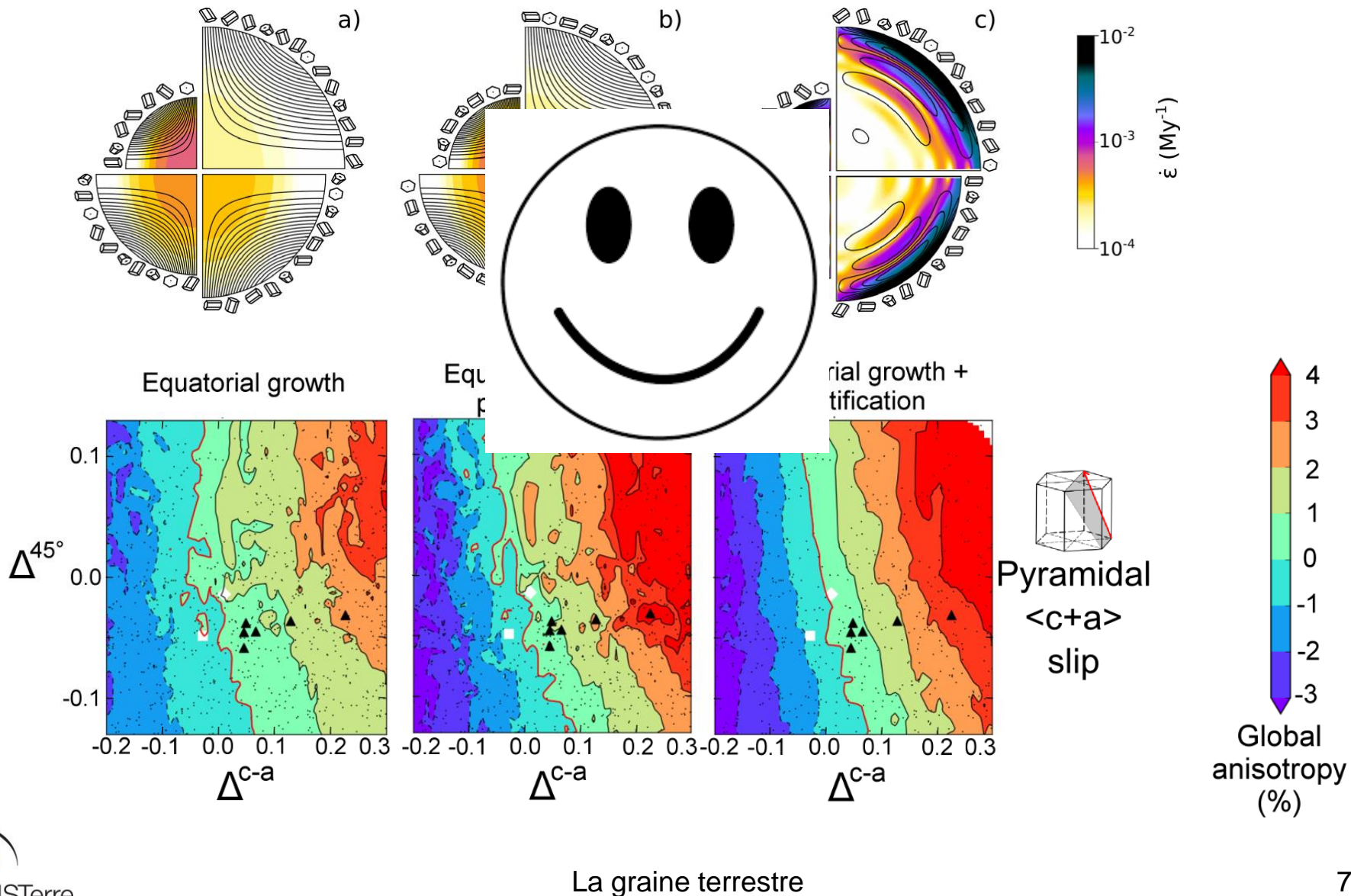
Global anisotropy is 5
to 10 times smaller than
the single crystal
anisotropy.



La graine terrestre

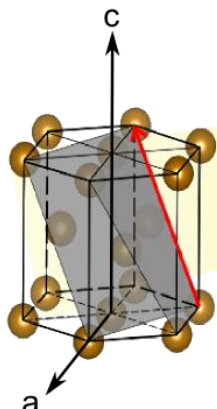


Enhancement of global anisotropy

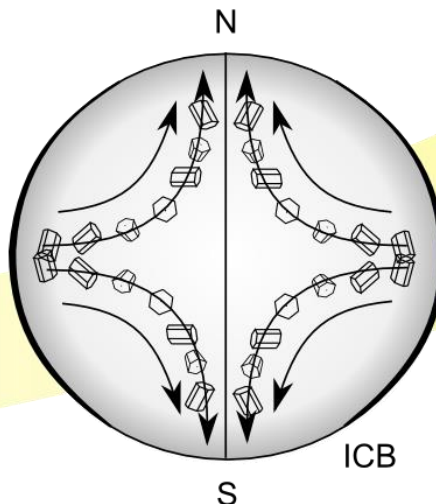


Multi scale self consistent model

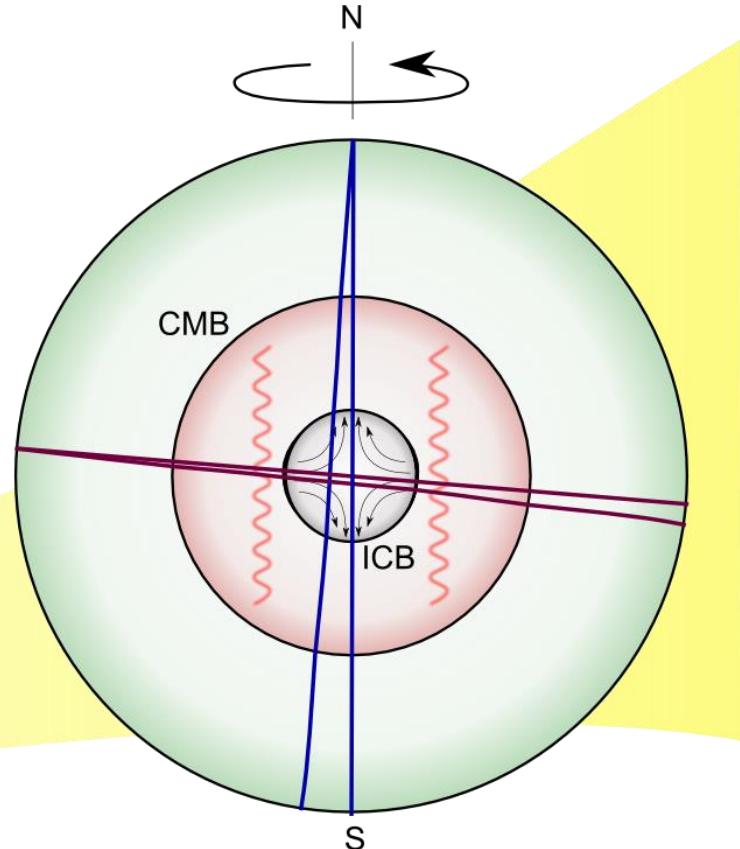
- Hcp Fe
- Pyramidal $\langle c+a \rangle$
- $V_{pc} > V_{pa}$
- No cubic phase



- Large scale
- N S axis



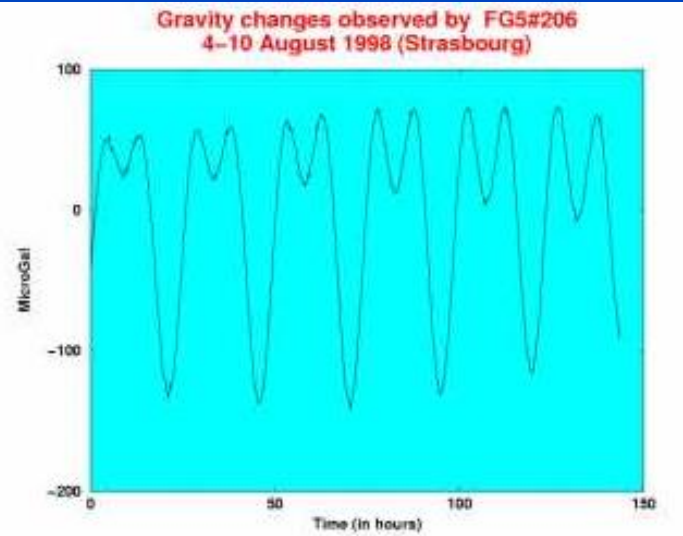
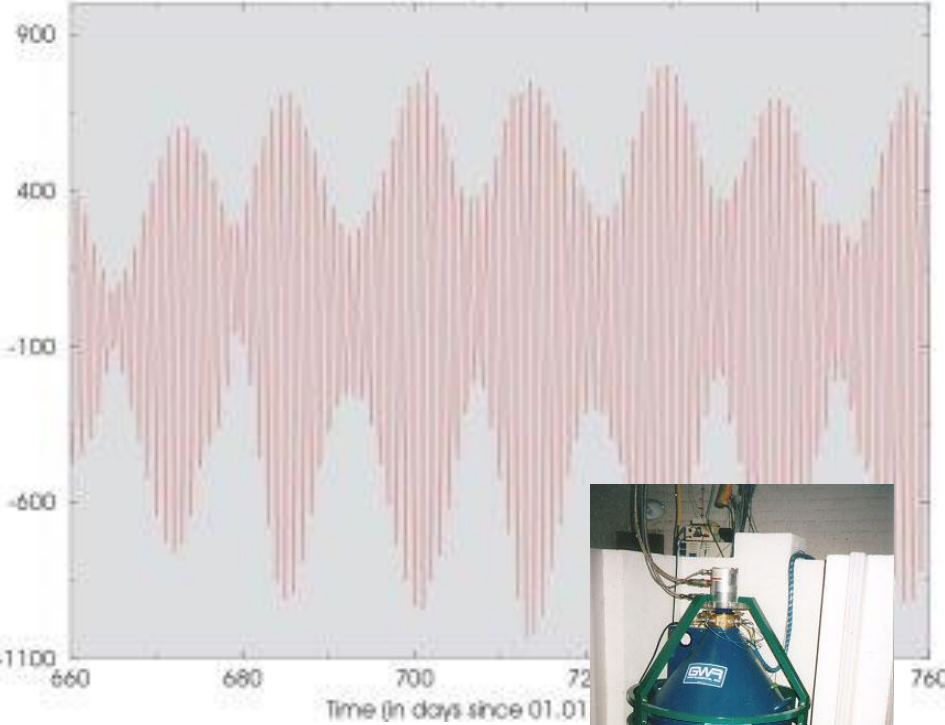
- N-S 3% global anisotropy



Données gravimétriques

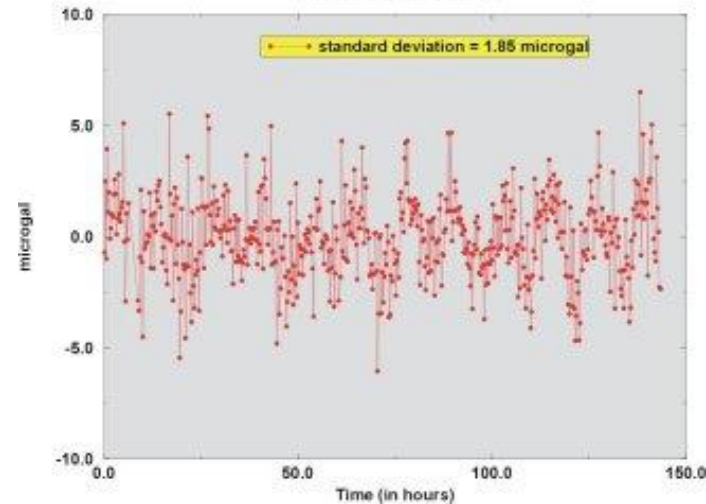
Gravity changes [in nm.s⁻²]

Gravity changes observed by SG C026
Strasbourg station (100 day duration)

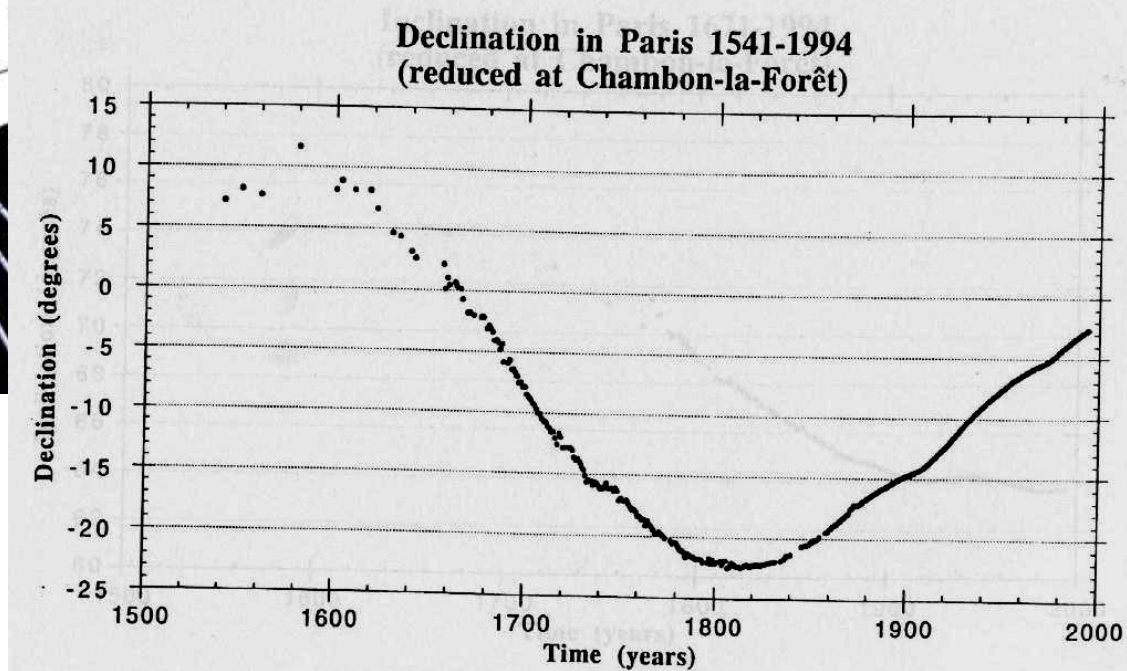
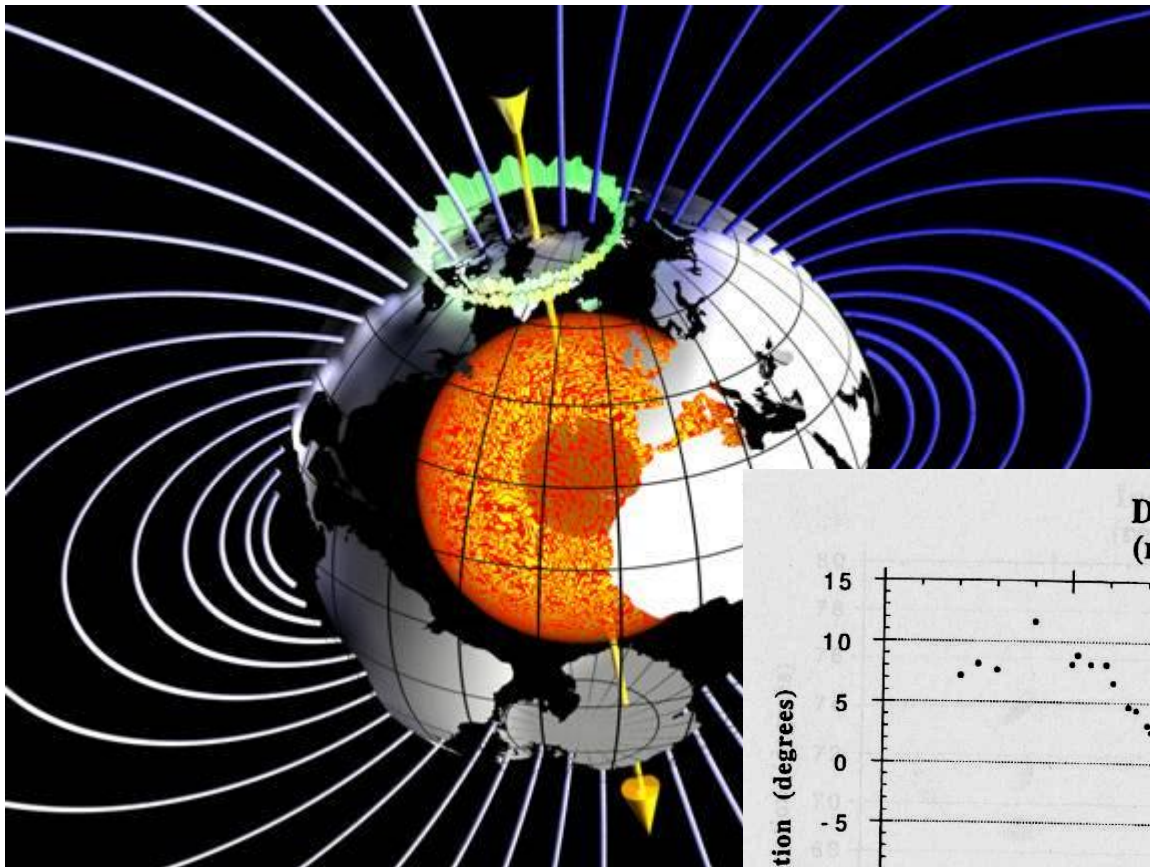


Marées terrestres et océaniques,
pression atmosphérique, rotation de la
Terre

Example of Single Set Mean values (AG FG5-206)
4–10 August 1998



Données magnétiques



La graine terrestre

Paléointensités magnétiques et nucléation de la graine

nature

Explore content ▾ About the journal ▾ Publish with us ▾

nature > letters > article

Published: 07 October 2015

Palaeomagnetic field intensity variations suggest Mesoproterozoic inner-core nucleation

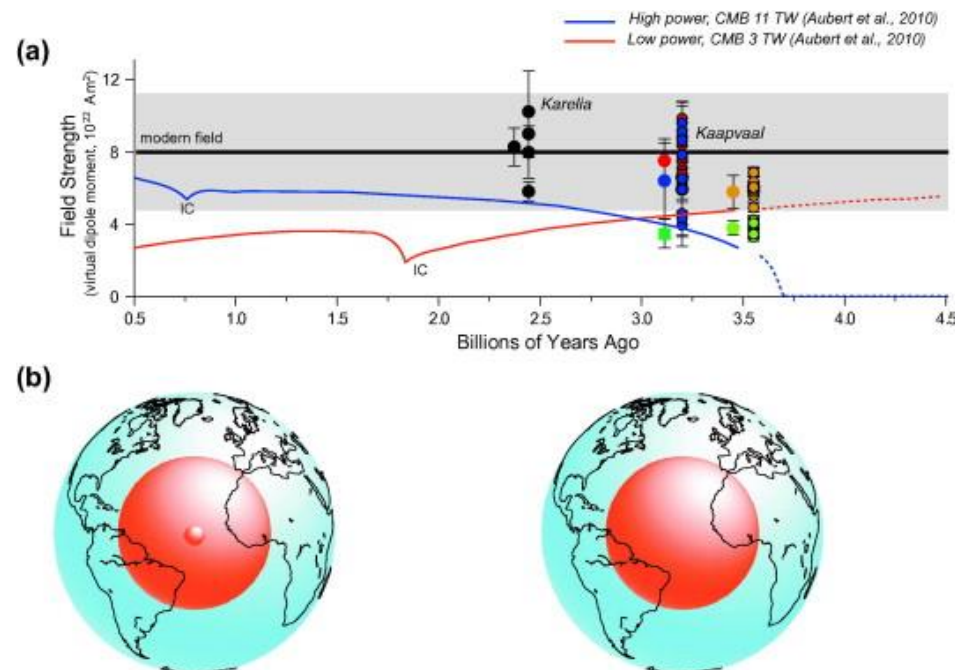
A.J. Biggin E.J. Pätsä, L.J. Pesonen, R. Holme, G.A. Paterson, T. Veikkilainen & L. Tauxe

Nature 526, 245–248 (2015) | [Cite this article](#)

6780 Accesses | 129 Citations | 463 Altmetric | [Metrics](#)

Abstract

The Earth's inner core grows by the freezing of liquid iron at its surface. The point in history at which this process initiated marks a step-change in the thermal evolution of the planet. Recent computational and experimental studies^{1,2,3,4,5} have presented radically differing estimates of the thermal conductivity of the Earth's core, resulting in estimates of the timing of inner-core nucleation ranging from less than half a billion to nearly two billion years ago.



Aubert, Labrosse, Poitou, 09

La graine terrestre

Anisotropie?

- La graine est-elle anisotrope?
- Quelle phase minéralogique?
- Dynamique de la Graine?
- Son histoire?
- Son âge?